

甲第 834 号証



觀測記録とその特性

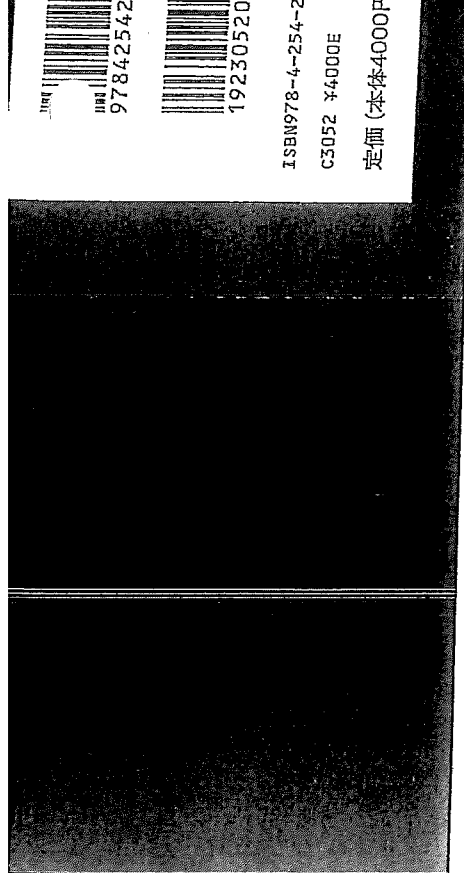
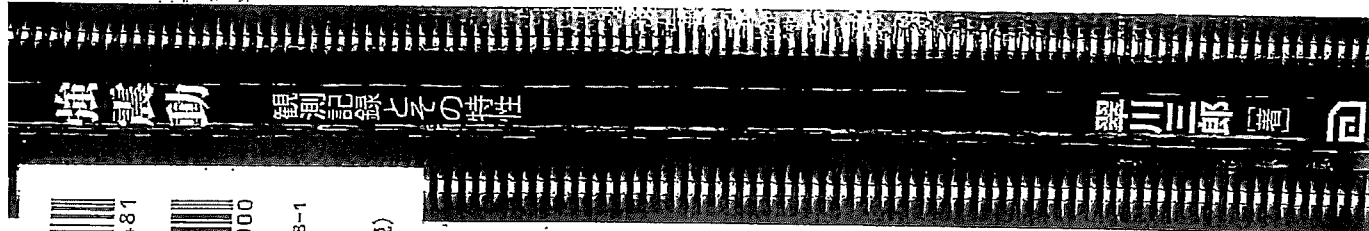
翠川三郎

著

監修
翠川三郎



朝倉書店



觀測記録とその特性

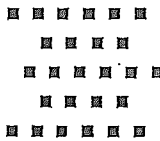
地震観測

古玉と雲動

観測記録とその特性

翠川三郎

[著]



朝倉書店

まえがき

わが国は地震国であり、地震災害に強くしなやかな社会を構築することが求められています。そのためには、「勝略の基本は敵を知ること」と言われることを理解することも必要です。強震動（被感知則に基づくところが多く、観測された強震記録は重要な基礎データです。強震動に囲む研究は強震記録そのものについて解説する手法に基づく予測手法によく見受けられます。著者の指導教育であつた故小林啓美先生が「地震動は複雑で、その特性を理解するために、波形をよくみて味わえ」とよくおっしゃっていました。それを思い出すたびに、強震動の特性や予測手法を理解し、その成果を正しく利用するには、その基礎データである強震記録から理解することが必要ではないかと感じています。そこで、本書では、耐震構造技術者や大学院生の方々を対象として、観測された強震記録に立ち返って、強震動の強さや特性、そして、その予測について、平易に解説することを心がけました。

1章では、強震観測が行われる以前から地震動強さの尺度として用いられてきた震度階について説明した上で、過去の大震で震源域で観察された被害や物体の挙動から推定された強震動の強さについて解説しています。2章では、強震動を正確に観測するためには強震観測の体制や強震計について解説し、観測された強震動のデータベースについても紹介しています。3章では、震源域やその周辺で観測された強震記録の具体例とそれらの特徴や強さについて解説しています。4章では、強震動の特性を支配する要因（震源特性、伝播特性、地盤特性）について実例を示しながら解説しています。最後に、5章では、強震観測結果を踏まえた地震動の予測手法を説明し、その応用例として地震ハザードマップや設計用入力地震動について解説しています。強震動の特性は様々で複雑ですが、自然現象である以上、それには原因があります。本書により、強震動の多様性とその要因を観測記録を通じて理解していただければ幸いです。

本書をまとめるにあたっては、多数の強震記録を利用した成果をさせていただきました。防災科学技術研究所、港湾空港技術研究所、気象庁、各自治体、カリヨンニア工科大学を始めとする多数の強震記録提供機関に感謝します。原稿を読んでいただき、ご意見をいたいた東工大名誉教授の大町達夫先生、図の作成等にご協力いただいた広島大学の三浦弘之氏、サイスマリサーチの司 宏俊氏に感謝します。また、出版の際にご尽力いただいた朝倉書店編集部の方々に感謝します。

2018年1月

著者

| | |
|----------------------------|-----|
| 1. 強震動の観察 | 1 |
| 1.1 揺れの強さを表す尺度 | 1 |
| 1.2 大地震での揺れと被害 | 1 |
| 1.3 震源近傍での激しい地震動の痕跡 | 10 |
| 2. 強震動の観測 | 18 |
| 2.1 強震観測の歴史 | 18 |
| 2.2 強震計の種類 | 22 |
| 2.3 強震動データ | 27 |
| 3. 震源域およびその周辺で観測された強震記録 | 30 |
| 3.1 震源域およびその周辺での観測事例 | 30 |
| 3.2 大振幅の強震記録の最大加速度・速度 | 53 |
| 4. 強震記録にみられる地震動の特性 | 60 |
| 4.1 地震動特性の支配要因 | 60 |
| 4.2 震源特性 | 60 |
| 4.3伝播特性 | 63 |
| 4.4 地盤特性 | 66 |
| 5. 強震動の予測 | 76 |
| 5.1 強震動の予測手法 | 76 |
| 5.2 地盤動の距離減衰式 | 78 |
| 5.3 地盤ヘザードマップ | 87 |
| 5.4 建築物の動的解析で用いられる設計用入力地震動 | 96 |
| 参 照 | 109 |

地震時の揺れの強さの程度を表す尺度として、震度階が古くから用いられてきた。これは、人体感覚や周囲の物体の挙動、被造物の被害などから地震の相手の大きさを順序づけしたもので、19世紀に提案され始めた（池上、1987）。初期に提案され広く利用されたものとして、1883年に提案されたロッシー・オーレル震度階が挙げられる。現在は、これを改良した12階級（I～XII）からなる改正メルカリ震度階が国際的に広く用いられている。わが国では、4階級からなる関谷の震度階がロッシー・オーレル震度階とほぼ同時に提案され用いられた。これが1898年に中央気象台（気象庁の前身）により7階級（0～VI）に細分化され、1948年福井地震を契機に震度VIIが追加され8階級となった。このように、わが国で用いられている気象庁震度階は改正メルカリ震度階とは異なる生き立ちを持つが、両震度階のいずれも、低震度では人体感覚が、中震度では周囲の物品の挙動が、それぞれ主な判定基準となっている。このことは、後述する気象庁の震度階級閾値解説表からも読み取れる。

日本で組織的な震度観測は、1884年に内務省地理局が全国の測候所、府県庁、郡区役所など約600ヵ所に対して地震が観測された際に震度を報告するよう依頼したことから始まる（気象庁、1996）。1904年には気象官署や民間への委託をあわせ1,437の観測所から震度データが収集された（気象庁、2009a）。当時は、地震計による震度がまだ十分でなく、地震現象の把握は、震動の強弱や揺れの方向等により行われていた。昭和30年（1955年）代もほぼ同様の觀測が維持されていたが、地震計による観測を中心としての業務の構築が行われてきたことから地震観測としての震度観測はその役目を終え、1958年から順次観測所の整理が行われた。1988年には、全国158ヵ所の気象官署において震度観測が行われるのみとなった（気象庁、2009a）。

このように、1県当たり30点程度だった震度観測がその1/10の組みものとなつたこともあり、大地震が発生した際に各地の震度が通信アンケート調査によって調査されるようになつた。例えば、1943年から1968年にかけて18の被害地盤で調査がなされた（佐藤、1973）。その後、太田・他（1979）はアンケート調査による震度の補度向上のために調査法を改良し、この方法により、1995年兵庫県南部地震も含め多数の被害地盤でアンケートによる震度が調査されている。近年では、郵送ではなく、インターネットを利用してした国際的な震度調査も行われている（Wald et al., 2012）。

1980年代後半より、気象庁は、観測員の主観による精度不足や震度発表の迅速化などの問

震度と揺れ等の状況(概要)

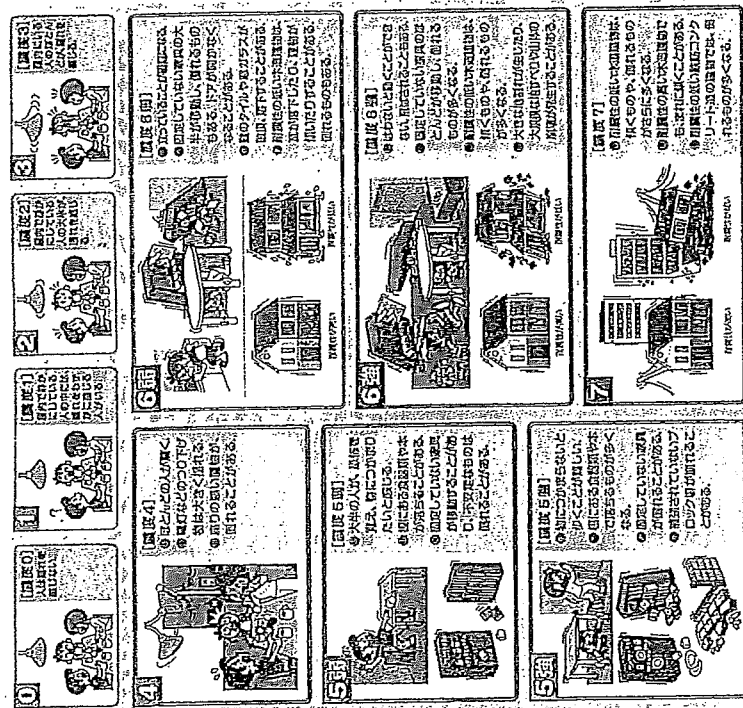


図 1.1 震度階級別階段の説明図(気象庁, 2009b)

震度から、震度の計測化を検討し、1996年より計器測定に基づく計測震度を採用している(気象庁, 1996)。この際に、震度の階級は從来の8階級のものを震度5と6を強弱に細分化して10階級とされた。また、ローマ数字で表されていた震度階級がアラビア数字で表されるようになった。この計測震度は、加速度と速度の中間的なものを計算し、実感的なものをそなえたその最大の値に基づいて算出されている。ただし、各震度でのどのような現象が起こるのかの目安として震度階級別階段表が作成され、その都度を示した図も示されている(気象庁, 2009b)。図 1.1 に示すように、震度3以下では人体感覚と、震度4前後では物品の運動と、震度5強以上では被害との関連が示されている。なお、気象庁震度階の1, 3, 5強はそれぞれ前述の改正メルカリ震度階のII, V, VIII における対応している。

震度階は揺れの強さを表すものであるが、地震動による被害を評価する上では、より定性的な物理的尺度が必要である。揺れの強さを表す物理量としては、最大振幅、継続時間、応答スペクトルなどが用いられる。最大振幅としては、震度5強と6弱の境界($I = 5.5$)は最大速度で40 cm/s 前後に、最大

1. 揺れの強さを表す尺度

た。これは剛体に作用する地盤力が地盤動の加速度に比例するためである。しかし、剛体とみなせる構造物は建物で言えば1,2階建てのような低層建物であり、中高層建物は剛体とはみなせない。このような建物の地震時の応答は、最大加速度よりも最大速度との相関が高いことが知られており、地震動強さの尺度として最大速度が広く用いられるようになった。また、大型石油タンクや長大橋のような固有周期の非常に長い構造物の地震時の応答は最大変位との相関がより高いことも指摘されている。なお、加速度の単位としては、cm/s²(通常gal)や重力加速度 g (=980 cm/s²)が、速度および位の単位としては、cm/s(通常 km/h)およびcmが、それぞれよく用いられる。

最大振幅は地震動波形から最大の値だけを探ってきたもので、その他の情報は失われている。失われている代表的な情報として、継続時間と周波数特性があげられる。継続時間の定義はいくつかあるが、例えば、強い揺れの継続時間としては、地震動の加速度が0.05gを最初に上回ってから最後に下回るまでの時間が定義されている。

周波数特性を示す物理量としてフリエスペクトルがあるが、工学的には応答スペクトルがよく用いられる。応答スペクトルは、質量を有する質点がペネとダッシュボット(減衰装置)により地盤に支持された1自由度系に、地震動を作用させて、その応答の最大値を1自由度系の固有周期ごとに求めグラフ化したものである。設定する減衰の大きさに応じて応答の値が変化するが、減衰定数5%が用いられる場合が多い。縦軸に応答の絶対加速度応答、相対応答スペクトルにはいくつかの種類がある。1自由度系の絶対加速度応答、相対速度応答、相対変位応答の最大値をとったものをそれぞれ絶対加速度応答スペクトル、速度応答スペクトル、変位応答スペクトルと呼ぶ。また、絶対加速度応答スペクトルに $A/2\pi$ を掛けて速度の次元にしたものを振似速度応答スペクトルと呼ぶ。なお、絶対加速度応答スペクトルとフーリエ加速度スペクトルはほぼ等価であることが知られている。

このような物理量と震度がどのように相關があるかについて、河角(1943)は震度と最大加速度に関係性を見出し、その関係は河角の式として用いられた。その後の検討から、地震度では最大加速度と、高震度では最大速度と、より相関が高いことが指摘されている(翠川・福岡, 1988)。これは、震度が低震度では体感により、高震度では建物等の被害によりそれを定義され、震度の大小によって震度を説明できる。そこで、ひとつの地震動の指標で低震度から高震度までを説明しようとするとき、加速度と速度の中間的なものというこことになり、計測震度の定義の背景もこのようなるところにある(鉢嶺, 1989)。図 1.2 に震度 I と最大加速度 PGA (cm/s²)、最大速度 PGV (cm/s) の関係を示す(翠川・他, 1999)。この図からも、高震度では最大速度どの相関の方がよいことがわかる。震度4~7のデータから震度との関係式が以下のように示されている。

$$\begin{aligned} I &= 0.55 + 1.90 \log PGA \pm 0.30 \quad (4 \leq I \leq 7) \\ &= 0.32 + 2.00 \log PGV \pm 0.30 \quad (4 \leq I \leq 7) \\ I &= 2.63 + 1.72 \log PGV \pm 0.21 \quad (4 \leq I \leq 7) \\ &= 2.32 + 2.00 \log PGV \pm 0.24 \quad (4 \leq I \leq 7) \end{aligned} \quad (1.1)' \quad (1.2)'$$

ダッシュのついた式は計測震度の定義に合わせて最大振幅の対数に係わる係数を2に固定した場合の式である。震度と最大振幅は一対一に対応するものではないが、これら式から、大振幅な目安として、震度5強と6弱の境界($I = 5.5$)は最大速度で40 cm/s 前後に、最大

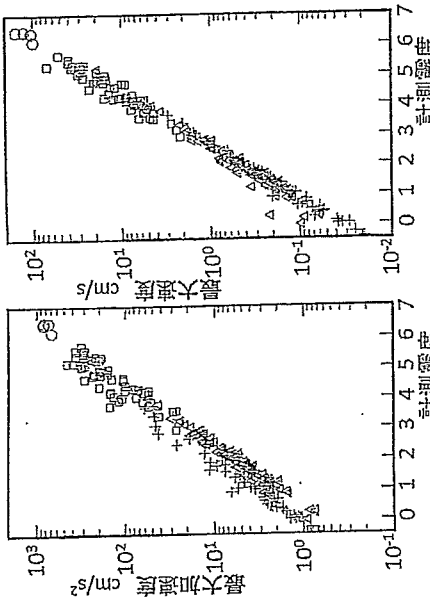


図 1.2 計測震度と最大加速度振幅および最大速度振幅との相関
加速度で 400 cm/s² 前後に、震度 6 強と 7 の境界 ($i = 6.5$) は最大速度で 150 cm/s 前後に、
最大加速度で 1,300 cm/s² 前後に、それぞれ対応していることがわかる。

文献

- 1) 翠川三郎・藤本一雄・村松郁栄・計測震度と旧気象庁震度および地震動強さの指標との関係、地盤学会論文集、No.1, pp.51-56, 1999.
- 2) 鈴木 伸：震度の計測比について、地震時報、第 52 巻, pp.43-58, 1989.
- 3) 池上良平：震度を求めて 近代地震学の歩み、平凡社、268pp., 1987.
- 4) 気象庁：震度を知る 基礎知識とその活用、ぎょうせい、238pp., 1996.
- 5) 気象庁：震度割別の震度、震度の活用と震度階級の変遷等に関する参考資料、pp.1.10-1.11, 2009a.
- 6) 気象庁：震度に関する候補震度、震度会報告書、124pp., 2009b.
- 7) 翠川三郎・福岡知久：気象庁震度階級と地盤動強さの物理量との関係、地盤、第 41 巻、第 2 号、pp.223-233, 1988.
- 8) 太田 谷・後藤謙・大原ひとみ：アンケートによる地震時の震度の推定、北海道大学工学部研究報告、No.92, pp.117-128, 1979.
- 9) 佐藤泰夫：追憶脚証、地震災害、共立出版、pp.226-241, 1973.
- 10) Wahl, D., V. Quitoriano, B. Worden, M. Hopper and J. Dewey: USGS "Did You Feel It?" Internet-based macroseismic intensity maps, Annals of Geophysics, Vol.54, pp.683-707, 2012.

1.2 大地震での揺れと被害

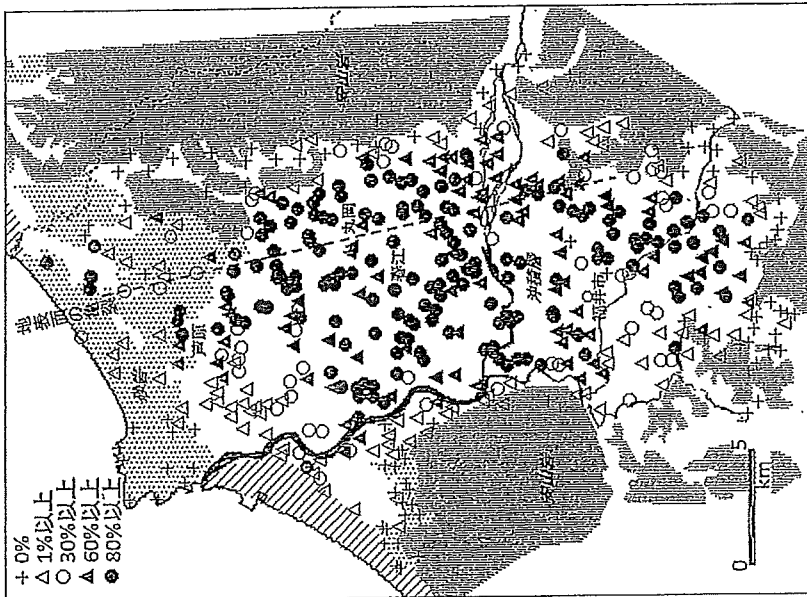


図 1.3 1948 年福井地震での家屋の被害分布

は、図 1.3 に示すように、家屋の全壊率は 60% を越え、全壊率 100% の集落もみられた（野畠・翠川、2008）。

写真 1.1 に福井市内での家屋の倒壊の様子を示す。このような甚大な被害は激しい地震剛のためで、写真 1.2 に示すように、轟地の墓石も原形をとどめずにはがれて散乱した。このような激しい揺れが生じたことから、地震の翌年に当時の中央気象台は震度 VI までだった震度階級に震度 VII を追加した。地震当時、地震観測は行われておらず、墓石の転倒状況等から、水平加速度で 0.5g 程度であったものと推測されている（谷口・他、1951）が、この地震の揺れの大きさは不明の点が多い。

このような直下地震による甚大な被害は、わが国では福井地震以降約 50 年間は起こらなかったが、1995 年兵庫県南部地震で再び発生し、死者約 6,400 名、全壊住家約 10 万棟の被害が生じた。この地震は淡路島北部から神戸市にかけて走る阪神新幹線および六甲断層によるもので、淡路島のみならず神戸という近代都市をも襲い、甚大な被害につながった。この

第11章 1948年新井鶴での本道密堅の技術（小林義氏著）

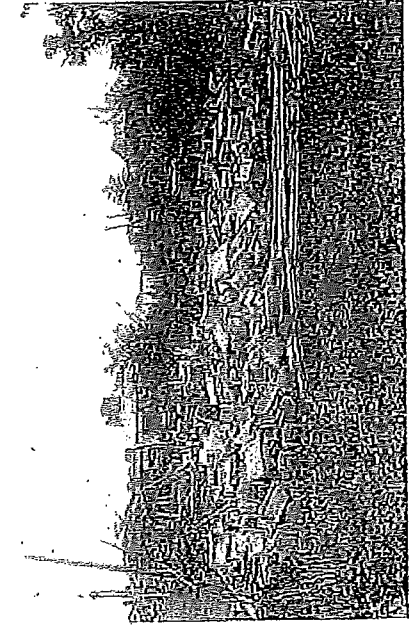


写真 1.2 1948 年福井地震での玄石の倒乱（小林悠氏撮影）

- 地盤では、写真1.3に示す木造家屋だけでなく写真1.4や写真1.5に示す鉄筋コンクリート造物や高架橋も倒壊した。

このような激しい被害を生じた地域での揺れはどのようなものだったのだろうか。この地震の体験談集から、激しい被害を生じた地域での起きていった人の揺れの収録中の行動をとりだしてみると(栗川, 1997),

 - 慢性にしがみつき、揺れがおさまるのを待つ。
 - 机の下にもぐり込んだ。
 - 逃げだそうとしたが、とても立っていられない状態だった。
 - 目前のテーブルにしがみついてもイスからふりおとされるようだった。
 - 揺れで体が吹き飛ばされた。
 - 思わず四つん這いになつた。

1.2 大地図での探しと検索



写真1-3 拠点までの水平距離の測定

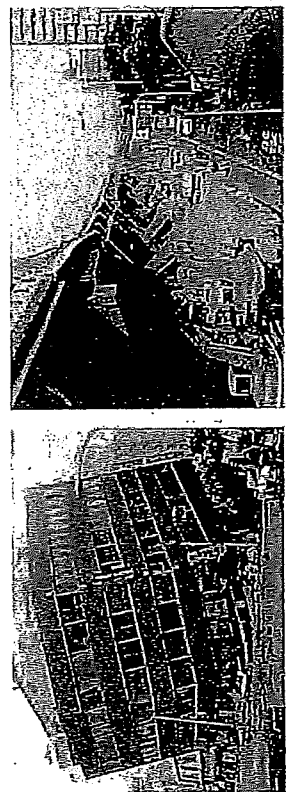


写真 1.4 神戸市での鉄筋コンクリート建物の倒壊

- ・地盤狂にしかみついた。
 - ・足をくわれたように地面にたたきつけられた。
 - ・体が眺ね上がり、地面に倒れ、四つん這いになつて地面に張りついていた。
 - ・体などと記述されており、何もできないような激しい揺れだったことを物語ついている。

この地震の際、神戸市で激しい被感がみられた震度7に相当する地域は長さ 20 km、幅 2-2.2 km 程度の帶状に分布し (気象庁, 1997), 震災の帶と呼ばれいた。この地震では、強震記録が得られているが、震災の帶では、その縦辺で得られたものがわずかにあるだけで、震災の帶の中でも震度7が得られていない。気象庁の震度7の地図や断石の転倒状況、倒壊被感分布、震度分布を図 1.4 に示す (藤本・翠川, 1999)。

アンケート調査、強震記録を総合して描いた震度分布を図 1.4 に示す (藤本・翠川, 2016)。同様に、面積はそれぞれ 40 km², 130 km², および 300 km² 程度となる。

このような激しい揺れは、これら 2 つの地震だけではなく、わが国では多数のが各地震で経験している。わが国で地震の機微観測がはじまった 1880 年以降 2014 年までに震度 6 弱以上が観測された地震をとりだすと、約 70 地震ある (三浦・翠川, 2016)。同様に、震度 7 が観測

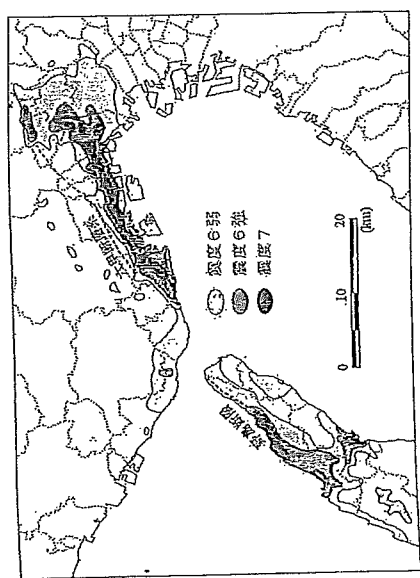


図 1.4 1995 年兵庫県南部地震の震度分布

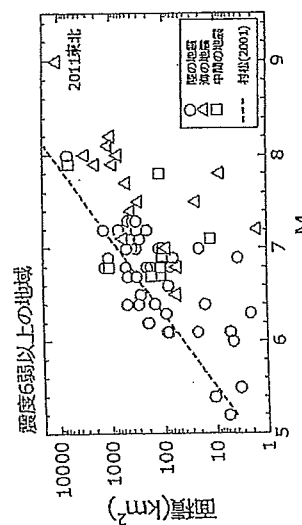


図 1.5 震度 6 弱以上の出現面積と地震規模の関係

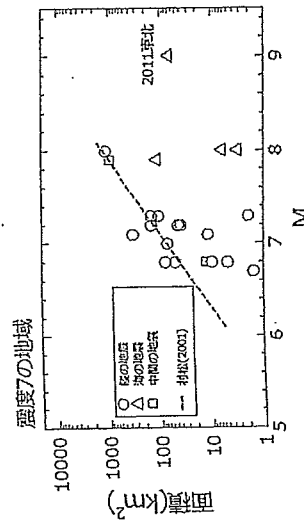
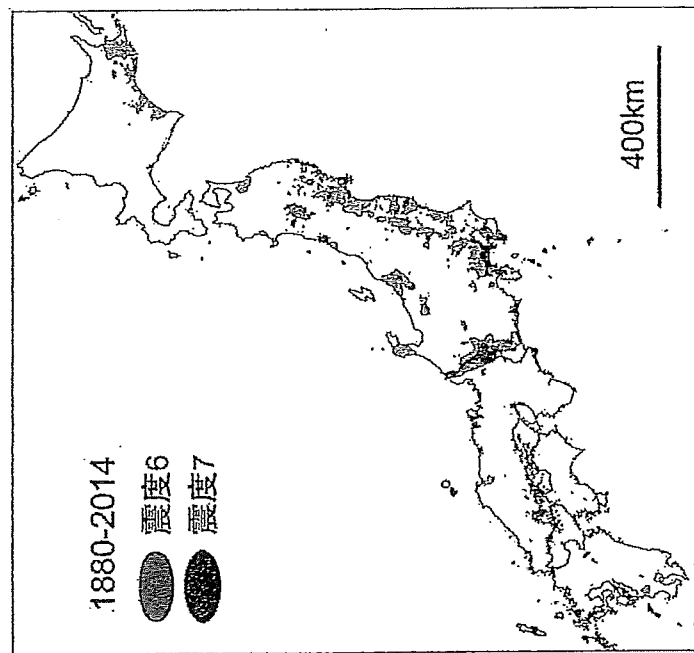


図 1.6 震度 7 以上の出現面積と地震規模の関係

された地震は約 20 地震ある。したがって、わが国では震度 6 弱以上を生ずる地震は 2 年に 1 回程度の頻度で、震度 7 を生ずる地震は 7 年に 1 回程度の頻度で発生していることになる。各地震での震度 6 弱以上および震度 7 の出現面積とマグニチュードの関係をそれぞれ図 1.5 および図 1.6 に示す。震源が陸の地震、海の地震、中間の地震で記号を表えている。また、図には 1923~1995 年の 17 個の陸の地震を用いて得られた村松 (2001) の関係式も示してある。○で示した陸の地震の出現面積は村松の関係式におおむね対応しており、震度 6 弱以上の面積は、M6.5 および M8 でそれぞれ百平方キロおよび 1 万平方キロのオーダーで、震度 7 の面積は、M6.5 および M8 でそれぞれ十平方キロおよび 1 千平方キロのオーダーを示している。海の地震ではその 1/3 程度の値を示している。

1880 年から 2014 年までに震度 6 弱以上の震れが生じた地域の分布を図 1.7 に示す。震度 6 弱以上の出現面積は全体で 4 万 km^2 強である。日本の国土が 38 万 km^2 であることから、135 年間で国土の 10%強の地域で震度 6 弱以上の震れが現れており、50 年間では国土の 5%強度の地域が震度 6 弱以上の震れを被ることとなる。一方、震度 7 の出現面積は震度 6 弱以上 の面積の 10%以下の 3,000 km^2 強である。これは国土の面積の 1%弱であり、震度 7 の発生する範囲は震度 6 弱以上のそれに比べると限定的である。表

しかしながら、震度 7 は震れやすい地域では比較的発生しやすいことが知られている。表



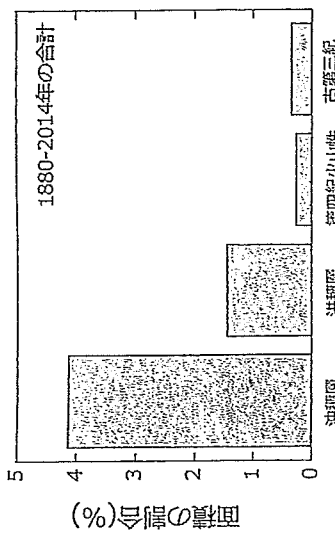


図 1.8 表層地質ごとの震度 7 の面積の割合を示す。

図地質ごとに全国の全面積に対する震度 7 の面積の割合を計算すると、図 1.8 に示すように、岩盤では 0.3% 程度、洪洞地盤では 1% 程度の範囲でしか出現していないが、沖積地盤では全国の約 4% の範囲で出現している。したがって、沖積地盤上では、50 年間で平均的に震度 7 の地震動を受けた割合は 2% 弱と概算でき、震度 7 の地震動が非常に稀とは断定しにくいためであると考えられる。

文献

- 1) 藤本一雄・翠川三郎：被害分布から推定した 1985 年兵庫県南部地震の震度分布、日本建築学会構造系論文報告集、No.523, pp.71-78, 1999.
- 2) 気象庁：現地調査、平成 7 年（1995 年）兵庫県南部地震調査報告—災害時自然現象報告書一、気象庁技術報告、No.119, pp.47-90, 1997.
- 3) 翠川三郎：兵庫県南部地震での体験談にみられる激震時の人の行動、地震安全学会論文報告集、No.7, pp.22-27, 1997.
- 4) 三浦弘之・翠川三郎：兵庫県南部地震後の被害地盤での推定震度分布図に基づく放震壁の出現面積、日本建築学会論文集、Vol.16, No.2, pp.64-73, 2016.
- 5) 村松都洋：震度分布と震源との関係、地盤 第 2 別、第 53 号、pp.269-272, 2001.
- 6) 野川有秀・翠川三郎：被害地盤から見た 1948 年福井地震の地震動強さ、月刊地盤、Vol.30, No.9, pp.497-505, 2008.
- 7) 谷口 恵・小林啓英・坂井辰郎：物体の伝播距離の増加により推定した福井地震の地震動、昭和 23 年福井地震調査年報 II 連続測用、pp.23-39, 1951.

1.3 基盤延焼での激しい地震動の検討

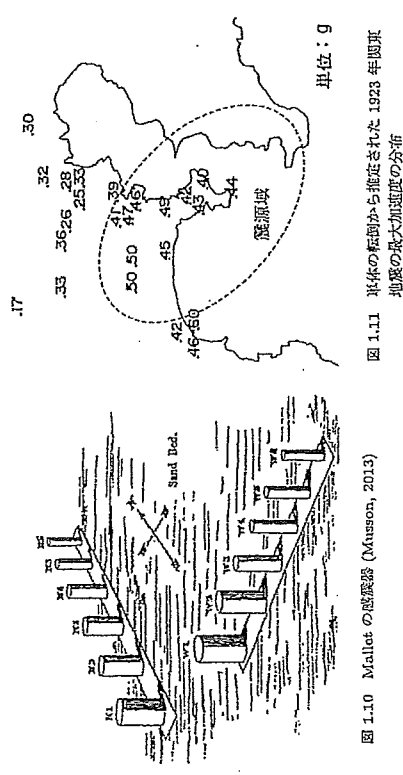
このように過去の被害地震の震源域では震度 7 に相当する激しい震れが報告されているが、どのような強さの地震動であったのかは不明の点が多い。しかしながら、それを知るために手がかりとなる激しい地震動の痕跡はいくつも継続され、揺れの大きさを推定しようとした試みがなされた。石碑などの単純な形状の物体が揺れによって転倒した状況から地震動の強さを推定する試みは、Mallet (1862) による 1857 年ナポリ地震での調査が初めてのものである。彼は单体の転倒に必要なショック速度が (1.3) 式で表せるこことを示した。

$$(1.3) \quad v = \sqrt{\frac{8\alpha}{3} \cdot \frac{1 - \cos \alpha}{\cos^2 \alpha}}$$

式中の g は重力加速度で、 α より α の定義は図 1.9 に示す通りである。

この式から、この地震の震源域では 300 cm/s を越える地震の速度振幅があったことを推定している。しかし、この推定式は後述する近年の研究から 3 倍程度過大な値を与えると評価されている。ナボリ地震調査の後、Mallet は高さが一定 (12 インチ) で直径が 1~9 インチと異なる 6 種類の円柱からなる感震器を提案しており、これは世界初の強震計とも位置づけられる。図 1.10 に示すように、砂地の上に厚板を置き、ここに円柱を並べて置くことで、地震で倒れた円柱がころがらず転倒方向も正確に知ることができるようにになっている (Musson, 2013)。この感震器は、1897 年インド・アッサム地震の震源域に位置する Shillong にも設置され、地震の際にすべての円柱が倒れた (Oldham, 1898)。後述する近年の研究での推定式を適用すると、地震加速度は 0.75g 以上、地動速度は 38 cm/s 以上と推定される。

単純な形状の物体の転倒条件について、Milne (1885) は論文の中で、転倒に必要な加速度 α が高さ H と幅 B の比のみで決まるという West の式 ($\alpha = B/H/g$) を紹介した。大森 (1899a) はこれを振動合実験で検証し、この式に基いて基石の転倒状況から 1891 年滋賀地震での岐阜県笠松および大臣での最大加速度をそれぞれ 0.4g および 0.3g と推定している (大森, 1899b)。その後の複数地震でも基石等の单体の転倒状況から地盤の最大加速度が推定される、例えば、1923 年関東地震では、図 1.11 に示すように神奈川県南部で 0.5g および 0.3g 程度の最大加速度が推定されている (物部, 1926)。その後、数値シミュレーション技術の進歩に伴い、单体の転倒シミュレーションが行われば、West の式による加速度と Mallet による单体の転倒に必要なショック速度の 0.4 倍の速度の



両方が転倒に必要な条件であることが Iishiya (1982) により示された。その後の追加検討で、転倒に必要な速度は Mallet によるショック速度の 0.35 倍と修正され、結局、 α が小さく細長い物体の場合は、転倒に必要な速度 v_0 は (1.4) 式で近似できるとされている (星野・他, 1996)。ここで、 B より B は、それぞれ単体の幅および高さである。

$$(1.4) \quad v_0 \approx 9 \cdot \frac{B}{\sqrt{\mu}} \quad [\text{単位: cm/sec.}]$$

過去の大規模時には、物体の転倒だけでなく、物体が投げ出されて大きく移動した痕跡も報告されており、例えば、1897 年インド・アッサム地震 (M8.3) のものがあげられる。震源域の直上に位置する町では、道路上の石がドラムの上の豆のように飛び、風景がめがんでみえたとの証言があり、前後の石が多數空中に投げ飛ばされて移動した痕跡があつたこと等が報告されている (Oldham, 1899)。これらは修正メルカリ震度階級の最上位の震度 XII の説明文に採用されている (Richter, 1958)。

この石のように地盤時に物体が跳躍した痕跡は他の被害地盤でも観察されている。日本では 1891 年鹿尾地震や 1927 年北丹後地震などで類似の事例が報告されている。例えば、北丹後地震では、「寺の本堂が倒れて柱の根とともに隣石から約 2 m 離れていた」とか「戸口の上り樋 (くまち) に接して据えてあつた風呂桶が立ったまま湯水も漏れずに座敷の真ん中にあつたので、家が 2 m ばかり横に飛んだことがわかつた!」「家の大黒柱が飛び上がり、座って歎を打っていた人の真上に落ちて、人の頭部から胴体を小田原提灯そのままで墨んでしまつた」などの家庭の大移動に関する報告が地元の震災誌に記されている (今村, 1935)。その後、1984 年長野県西部地震で石や樹木が跳躍して大きく移動した痕跡について細密な学術的調査がなされ (黒磯・他, 1985), 注目されるようになつた。写真 1.6 に、左側にみえる元のくぼみから端木をなぎ倒しながら 2.3 m 右方向に移動した石を示す。

近年の地震でも、1995 年兵庫県南部地震や 2004 年新潟県中越地震などで多数の事例が報告されている (翠川, 1995; Midorikawa and Miura, 2010)。例えば、1995 年兵庫県南部地震では、写真 1.7 に示すように道路脇駅舎で姫塚が約 1 m 移動した痕跡がみついている。

柱が着地した際にコンクリートの三和土 (たたき) を壓しておらず、姫塚が能躍して大きく移動したことを見抜いている。神戸市内では、多数の消防署で駐車していた消防車が大きく移動した (翠川, 1996)。例えば、兵庫消防署では、地震直後に消防車にかけたところ、前輪に壓かれた車止めをはじき飛ばして、写真 1.8 に示すように、雪窓の人が立っているところで前方に約 3 m 移動していたという消防隊員の証言がある。イヤヤがすべった姫塚が地面にないところから、跳躍しながら移動したものと考えられるが、一飛びに 3 m 移動したという証拠はない。須磨消防署では、地震時に消防車のステップに乗って点検していた消防隊員が地盤の揺れで振り落とされ、車が左右に揺振しそうになりながらバーンドするのを目撃している。東灘消防署では、7 台の消防車や救急車すべてが前後方向に移動し、そのいくつかはシャッターにぶつかり、シャッターが変形しあけにくくなつたことが報告されている。

消防署以外でも、神戸市や芦屋市、西宮市で自動車の移動が確認されており、例えば、神戸市中央区と兵庫区の境付近の信号で停車中の 4 トントラックが飛び跳ね、着地するたびに、

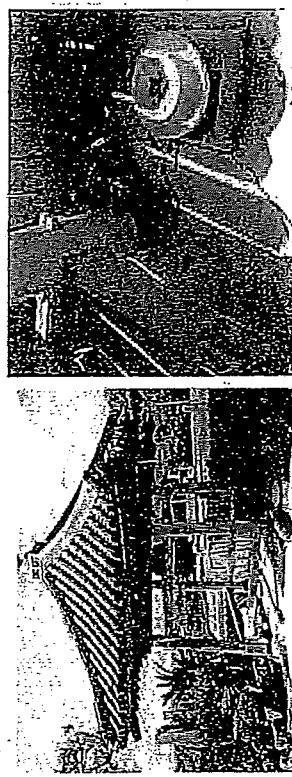


写真 1.7 地盤動によって移動した姫塚の全景 (左) とその右奥の角の形跡状況 (右)

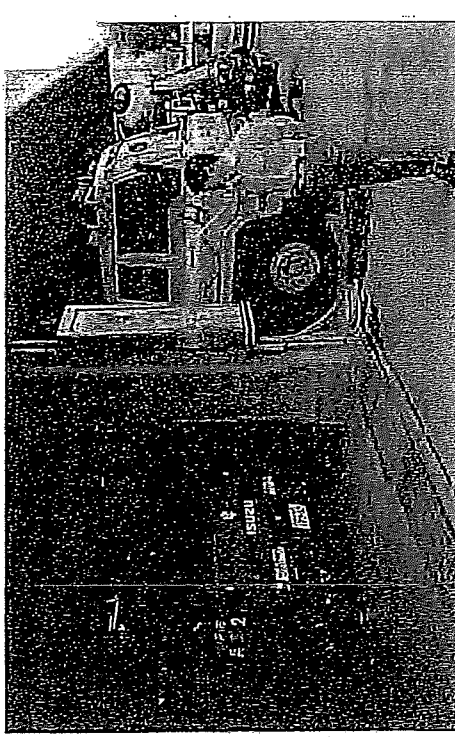


写真 1.8 兵庫県西部地震で抜けられた石 (作田財弘提供)

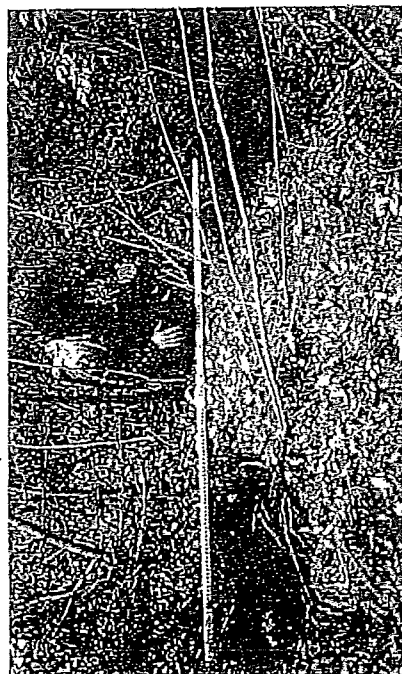


写真 1.9 1984 年兵庫県南部地震で跳躍した姫塚 (作田財弘提供)

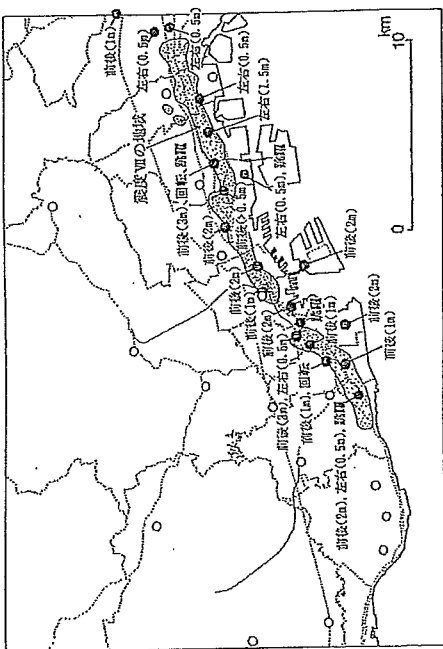


図 1.12 1995 年兵庫県南部地震の際の神戸市および芦屋市、西宮市での自動車の移動状況

すさまじい音をたてているのが目撃されている(神戸新聞社, 1995)。これらの自動車の移動状況を図 1.12 に示す。図中の黒丸は自動車の移動が報告された地点を示す。前後(2 m)は車が前後方向に 2 m、左右(1 m)は左右方向に 1 m、それぞれ移動したことを示す。白丸は車が水平面内で回転したことを、跳躍は車が上下に飛び跳ねたことを示す。白丸は自動車の移動が確認されなかつた消防器を示す。自動車の移動が確認された地点は、網掛けで示した。

震度 7 の地震ないし周辺の低地部では自転車の移動は確認されていない。最大の移動量は、前後方向で 3 m、左右方向で 1.5 m である。1872 年兵庫地震から 2011 年東北地方太平洋沖地震までの 33 地震で報告されている物体の跳躍現象の事例を表 1.1 に示す。表中の物体の移動量はその地震で最大の移動を示したものとの値である。個々の事例の内容については、翠川 (1994, 1995), Midorikawa and Miura (2010) を参照されたい。物体の跳躍現象が報告されている地震は 30 を越え、この現象がそれほど稀なものではないことを示している。跳躍した物体については、石の報告例が多く、その大きさとしては直径で 0.5 m 前後のものが多い。また、移動した石は多少地面上に埋め込まれたものが多く、やや深く埋め込まれたものは移動していないという報告も複数ある。石以外では、鍵盤、山門、鳥居など小規模な構造物の事例が多い。今村 (1941) は 1909 年姫川地震から 1930 年北伊豆地震までの 5 地震での鍵盤から、跳躍して大きな移動を示した構造物はよく発見された簡単な低い構造物であることを指摘している。また、消防車など車の事例も複数の地震でみられる。

移動距離については、1897 年アッサム地震では、石の最大の移動量は 2.5 m であるが、多くの場合は 0.6~1.2 m であったと報告されている。他の地震では石の移動量は 0.5 m 前後の事例が多い。鍵盤については一飛びに 0.5~1 m 程度移動したという報告が多い。木造家屋や車については、3 m 程度の報告もあるが、一飛びに移動したのかどうかは不明の点もある。これらの現象が観察された地点の震度は、古い地震では不明の場合が多い。そこで、詳細

表 1.1 遠去の地震での物体の跳躍現象の事例

| 地震名 | 地震 | 物体 | 移動量 |
|-----------------------------|-----|-------|------|
| 1872年姫川地震 | 7.2 | 窓枠 | 0.6m |
| 1891年福島地震 | 8 | 山門 | 1m |
| | | 施設 | 1.2m |
| | | 柱 | 0.3m |
| 1896年藤羽地震 | 7.2 | 木造校舎 | 2.7m |
| | | 瓦造校舎 | 0.9m |
| 1897年シカガミ山地震 | 8.3 | 石 | 2.5m |
| 1906年米国 San Francisco 地震 | 0.3 | 瓦時 | 反転 |
| 1909年岐阜地震 | 6.0 | 池井やぐら | 不明 |
| 1914年長田仙北地震 | 7.1 | 壁 | 1m |
| 1923年阪神地震 | 7.9 | 石碑 | 0.6m |
| | | 柱 | 不明 |
| 1925年四国地震 | 6.6 | 木造校舎 | 0.9m |
| 1927年北丹後地震 | 7.3 | 木造客室 | 0.5m |
| | | 土蔵 | 3m |
| | | 鍵盤 | 1.5m |
| | | 石 | 0.6m |
| 1930年北伊豆地震 | 7.3 | 木造客室 | 0.7m |
| 1932年米国 Cedar Creek 地震 | 7.3 | 石 | 反転 |
| 1943年高知地震 | 7.4 | 柱 | 2.3m |
| 1948年滋賀地震 | 7.1 | 木造家屋 | 3~4m |
| | | 鍵盤 | 不明 |
| | | 石 | 0.6m |
| 1948年今治地震 | 0.4 | 柱 | 1m |
| 1967年トルコ Adiyaman Vales 地震 | 7.1 | 石 | 0.3m |
| 1968年米国 Borenrooth 地震 | 0.5 | 石 | 0.5m |
| 1971年米国 Formendo 地震 | 7.1 | 柱 | 2m |
| | | 石 | 不明 |
| 1975年大分県中津川地震 | 6.4 | ベランチ | 反転 |
| | | 柱 | 不明 |
| 1984年長野県西部地震 | 6.8 | 石 | 不明 |
| 1989年北国 Lomme-Pontarlier 地震 | 7.1 | 木 | 1.5m |
| 1990年北陸地震 | 7.8 | 石 | 0.3m |
| 1991年米国 Honeydew 地震 | 0.2 | 石 | 0.3m |
| 1992年米国 Sunderland 地震 | 7.4 | 石 | 0.4m |
| 1994年米国 Northridge 地震 | 6.7 | 石 | 0.5m |
| 1995年兵庫県南部地震 | 7.3 | 柱 | 0.5m |
| | | 木造客室 | 0.6m |
| 2000年鹿児島近海地震 | 7.3 | 柱 | 0.8m |
| 2003年兵庫県南部地震 | 6.4 | 石 | 0.2m |
| 2004年新潟県中越地震 | 6.8 | 五 | 1m |
| | | 柱 | 0.3m |
| 2007年熊本県玉名沖地震 | 6.9 | 柱 | 0.6m |
| 2007年加賀町庄内沖地震 | 6.6 | 山門 | 0.6m |
| | | 鍵盤 | 0.6m |
| | | 柱 | 0.3m |
| 2008年岩手県北太平洋沖地震 | 7.2 | 鳥居 | 0.7m |
| 2011年東北地方太平洋沖地震 | 9 | 柱 | 0.5m |

図 1.13 錠盤と移動量の相関

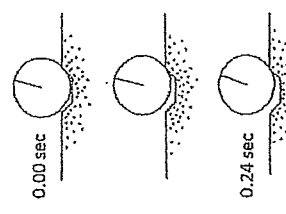


図 1.13 錠盤と移動量の相関



図 1.14 石の跳躍現象のシミュレーション

な震度分布が示されている最近の4地震(1995年兵庫県南部地震、同年新潟県中越沖地震、2004年新潟県中越沖地震)について、震度と移動量の関係を整理する。2007年能登半島沖地震、同年新潟県中越沖地震)について、震度と移動量の関係を整理する。この考え方に基づき、石と地盤からなる振動系があるれば、長野県西部地震でみられた石の跳躍現象が説明できる。例えば、地面上に埋め込まれた石は石と地盤からなる振動系を、小規模な構成物は、多少地面に埋め込まれた石や小規模な構造物、車などで、これらは振動系を構成するものである。例えば、地面上に埋め込まれた石は石と地盤からなる振動系を、小規模な構成物は屋根や柱からなる振動系を、車は本体とサスペンションからなる振動系をそれぞれ構成する。このような振動系の応答の結果から物体の跳躍現象が生じたという解釈が以前からなされている(Newmark, 1973)。

この考え方によつて、地盤動によってどのように生じたのであろうか。跳躍して移動した物体は、多少地面に埋め込まれた石や小規模な構造物、車などで、これらは振動系を構成するものである。例えば、地面上に埋め込まれた石は石と地盤からなる振動系を、小規模な構成物は屋根や柱からなる振動系を、車は本体とサスペンションからなる振動系をそれぞれ構成する。こののような振動系の応答の結果から物体の跳躍現象が生じたといふ解釈が以前からなされている(Newmark, 1973)。

地盤の跳躍についても、瓦屋根と4本柱からなる跳躍の振動モデルから、最大速度で 100 cm/s の地盤動により跳躍が 1 m 程度移動しうることが示されている(大町・他, 1995)。このように、最大速度で 100 cm/s を越える振れがあれば物体が跳躍し移動しうることが簡単な振動系の数値シミュレーションから説明されている。

1.1節で述べたように震度6強と7の境界は地震動の最大速度で 150 cm/s 前後に相当することから、これらのシミュレーション結果は前述の物体の跳躍による移動がみられた地點の震度が6強ないし7であることと整合している。結局、おおまかではあるが、物体の跳躍現象は震度6強ないし7の地震動の現象を、それにによる大きな移動は震度7の地震動の発生をそれぞれ示唆するものと考えられる。

- 8) 裕川三郎：地震時に物体の跳躍現象が生じた事例の調査、地盤、第47号、pp.333-340、1994.
- 9) 裕川三郎：地震時の物体の跳躍現象と地盤動強さ、第23回地震動シンポジウム論文集、pp.77-82、1995.
- 10) 裕川三郎：飛び出る自動車、兵庫県南部地震での被災動、地盤ジャーナル、第22号、pp.38-43、1996.
- 11) Midorikawa, S. and H. Miura: Uptower of Objects during Recent Earthquakes in Japan, Proc. of the Seventh International Conference on Urban Earthquake Engineering, pp.217-222, 2010.
- 12) Milne, J.: Seismic Experience, Transactions of Seism. Soc. of Japan, Vol.8, pp.1-32, 1885.
- 13) 物部良忠：土木工芸学会論文報告、震災予防調査会報告、第100号(7), pp.1-65, 1926.
- 14) Musson, R.: A history of British seismology, Bull. Earthquake Eng., Vol.11, pp.715-861, 2013.
- 15) Newmark, N.: Interpretation of apparent upthow of objects in earthquakes, Proc. Fifth World Conference on Earthquake Engineering, Paper No. 294, pp.2338-2343, 1973.
- 16) Ohmachi, T. and S. Midorikawa: Ground-Motion Intensity Inferred from Uptower of Boulders during the 1984 Western Nagano Prefecture, Japan, Earthquake, Bull. Seism. Soc. Am., Vol. 82, No. 1, pp.44-60, 1992.
- 17) 大町道夫・草川三郎・本多英之：1909年姫川地震での巣篭の移動から推定した地盤動強さ、術造工学論文集、Vol.41A, pp.701-708, 1996.
- 18) Oldham, R.: Report on the Great Earthquake of 12 June 1897, Memoirs of the Geological Survey of India, Vol.29, 379pp., 1899.
- 19) 大庭原吉：震柱被災及状体体被災に関する研究、震災予防調査会報告第28号、pp.4-69, 1899a.
- 20) 大庭原吉：明治二十四年十月二十八日諏訪大震震に附する附註、震災予防調査会報告第28号、pp.79-95, 1899b.
- 21) Richter, C.: Elementary Seismology, W. H. Freeman and Company, 768pp., 1958.

文 献

- 1) 早野正雄・矢崎雅志・石山祐二：隣接する壁の影響を考慮した剛体のロッキング振動と伝播条件、日本建築学会北海道支部研究報告集、No.99, pp.177-180, 1996.
- 2) 今村明直：地震波譜(其の2)丹後地震に於ける定震度移動の現象、地盤、第7巻, pp.582-587, 1935.
- 3) 今村明直：御名寺の震害、此のせれこれと、pp.67-72, 1941.
- 4) Ishiyama, Y.: Criteria for Overturming of Bodies by Earthquake Excitations, 日本国際学会論文報告集、第317号, pp.1-14, 1982.
- 5) 神戸新聞社・神戸新聞の「100日 医療大震災」、地盤ジャーナルズムの懇い、プレジデント社, 283pp., 1995.
- 6) 黒崎幸夫・伊藤 深・飯尾健久・梅田順弘・村松源一郎：1984年兵庫県西部地震の地盤強さおよび大震災時の震害、筑波大学防災研究所年報、第28号-B-1, pp.171-184, 1985.
- 7) Mallet, R.: Great Neapolitan earthquake of 1857: the first principles of observational seismology, Chapman and Hall, London, 1862.

2

強震動の観測

2.1 強震観測の歴史

地震による揺れを観測するための地震計は19世紀末に開発されていたが、これらは遠地で発生した地震も観測できるよう大きめな倍率で地震の変位を複数するもので、近地で大きな地震が発生すると記録が振り切ってしまった。また、強震計の強度を知るための簡易な感震器も開発されていたが、地震計の時刻歴を記録できるものではなく、大被害を引き起こした強震計の正体は不明であった。

地震時に剛体構造物に作用する力は地震の加速度に比例することから、1923年關東大震災を契機に加速度型地震計が開発され、1930年より地震の加速度が観測されはじめた(Ishimoto, 1931)。ただし、この地震計は0.1g程度までの加速度しか測定できず、地震まで測れるようない強震計ではなかった。1931年に当時の研究所の所長であった米原二郎は米国から招請され講演し、1931年9月21日に東京で観測された最大加速度約70 cm/s²の加速度船録を紹介しながら、強震観測の重要性を指摘した(Suehiro, 1932)。この講演により、米国は強震計の開拓を加速し、全米沿岸測地局(USC&GS)による初めての強震計が1932年7月にロングビーチやエルセントロなどに設置され、その8ヵ月後の1933年ロングビーチ地震(MJ.6.3)で最大加速度0.2gを越える世界初の強震記録が得られた。1934年までに観測点は44ヵ所に増えた(Ulrich, 1936)。1940年には構造物の防護構造の際に多用される通称エルセントロの記録も得られた。1960年代に強震計が複数の企業により商品化されて普及が進み、1971年サンエルナンド地震で多数の記録を伴ることに成功した。その後も強震観測が強化され、1980年には強震計の設置台数はカリオルニアで約1,350台、全米で約1,700台となった(Tritunac, 2009)。

近年の米国での地震上の強震観測としては、全米地震観測所(USGS)による全国強震観測網(NSN)があり、全米の約800地点で強震観測がなされている(U.S. Geological Survey, 2016)。また、USGSとカリフォルニア地質調査所が中心となつてカリフォルニア統合地震観測網(CSN)がカリフォルニア州とオレゴン州にまたがり(Pacific Northwest Seismic Network, 2016)。CSNやPNSNはNSMNと重複する観測点もあること、また他の地域での観測網もあることを考慮すると、米国では2,000地点以上で強震観測がなされているものと推測される。米国以外でも強震観測(地震上)の整備が進んでおり、中國では2,000地点程度、イランや台湾では1,000地点程度、イタリアやメキシコ、インド、

ニュージーランド、トルコ、ギリシャなどでは数百地点からなる強震観測網がそれぞれ整備されている。

わが国では、米国に比べて強震計の開発は遅れ、1948年福井地震を契機として進められた(田中, 2005)。福井地震の震源域で推定された地震動でも振り切れないよう、1gまでの加速度を記録できる強震計が1951年から開発され、1953年に完成し、東大地震研究所、大阪第一生命ビル、明石製作所(東京)に設置された。観測点は1954年で6地点だったが、1960年で36地点、1963年には約90地点と増加していった。この間の1956年2月に江戸川下流域の地震(MJ.6.0)により東京で震度4の揺れが生じ、東大地震研究所の地下2階で最大加速度約0.07gの記録が電刷された。この記録は数値化され、東京101の強震記録として、1960年代半ばに始まった超高層ビルの耐震設計での動的解析の際に使用された。その後、1962年広尾神地震(MJ.7.0)では、創路気象台で最大加速度0.38gの記録が得られた。強震点周辺で被害がみられたことから、構造物の被害と地震動の関係が検討されたが、その関係は簡単なものではないことが指摘された(金井・他, 1969)。

1964年に新潟地震(MJ.7.5)が発生し、新潟市内の被災化発生地点で記録が得られ、わが国の被害地震で初めての強震記録が得られた。これを契機に強震観測の機運が高まり、1965~1966年の2年間で約150台の強震計が新設された(田中, 2005)。1966年には松井群発地震が発生し、MJ.5.1の地震の震央から約4km南方に位置する臨時観測点で最大加速度0.43gが観測された(Kanai et al., 1967)。1967年には各機関での強震観測の情報を持続するため、強震観測事業推進連絡会議が設置された。1968年十勝沖地震(MJ.7.9)ではM8クラスの巨大地震の強震記録が強震計を取り巻く形で得られた。同年の越後平野地震(MJ.6.1)では東京に設置された強震計のほとんどが作用し、多数の記録が得られた(田中, 2005)。強震観測事業推進連絡会議は、1970年で約500台、1980年で約1,200台、1990年で約1,900台と増加していった(Watanabe, 1998)。しかし、その3割強が東京都に設置され、地域的に偏在しているという問題もあった。例えば、1984年長野県西伊豆地震(MJ.6.8)では震央から50km以内でわずか1地点の強震記録しか得られなかつた。そこで、強震観測事業推進連絡会議(1988)により強震計の全国配備基本計画が策定された。この計画では、MJ.5程度以上の地震で震度IV程度の揺れが、M6.0程度以上の地震で震度IV程度の揺れがそれだけ強くなることが想定され、強震計の全国均等配備のために観測点間隔50kmの基準マッシュが設定された。さらに、地震活動度の高い地域では、強震観測をより強化してM6.0程度以上の地震で震度V程度の揺れが記録できることを基準として、観測点間隔25kmの強化マッシュが設定された。その結果、全国をカバーするために、基本マッシュ数は92、強化マッシュ数は294となり、合計386マッシュに対して、それぞれ少なくとも3観測点が設置されることが提言された。また、構造物の振動の影響が少ない地盤上の観測、岩盤を含む異なる地盤条件での観測、強震記録のデータバンクの設立なども実施された。これらは提言は後述のK-NETの計画の下駄となりた(赤刀・他, 2009)。

1995年兵庫南部地震では震源直上で強震記録が得られたが、甚大な被害が生じた震度7の地盤では、ごくわずかの記録しか得られなかつた。そこで、強震観測の強化が強く認識され、この地震の直後に、わが国の強震観測網は急速に整備された。防災科学技術研究所は、地震動の研究のためにK-NETおよびKiK-netの2つの強震観測網を設置した。K-NET(強

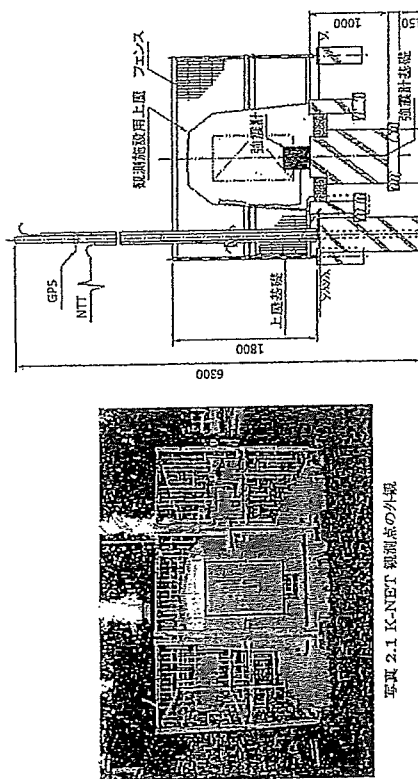


図 2.1 K-NET 観測点の外観図 (防災科学技術研究所より)

震ネット)は全国の都市域を 25 km 程度の間隔で網羅した 1,000 点強の強震計からなるものである。地盤上の地震動を観測するために、写真 2.1 に示す FRP 製の観測小屋の中には深さ 1 m、80 cm 角の基礎が設置され、その上に強震計が固定されている(図 2.1 参照)。観測点の地盤条件を明確にするためには深さ最大 20 m までの地盤調査もなされている。一方、Kik-net(基盤強震ネット)は強度地震観測網 Hi-net に併設される形でノイズの少ない山間部の約 700 地点に設置されたものである。ただし、山間部といっても岩盤が盛り立っているわけではなく、地表には新しい堆積層や風化層が存在する硬質地盤の場合が多い。岩盤にまで達するボーリングが掘られ、地中と地表に強震計が設置され、地表から地中強度計までの距離の PS 検出器も行われている。

さらに、国レベルおよび地域レベルの初期対応に資するための震度情報を得ることを目的として、気象庁は 600 地点強で、各都道府県は約 3,300 地点で、それぞれ震度計による震度を観測している。震度計は計測震度を自動的に計算できる加速度型強度計の一種である。このうち、各都道府県の震度計は 1 市区町村 1 観測点を原則として 1996 年に設置された。全国約 3,300 地点のうち、約 500 地点では K-NET ないし気象庁のデータを分岐して利用しており、独自の観測点は約 2,800 地点である。当初は一部の都道府県で計測震度だけを観測して加速度波形が保存されないものもあったが、その後の震度計の更新で波形も保存されるようになつた。また、国土交通省も、地方整備局や地方事務所の初動体制に資するために全国約 700 カ所に強震計を設置したが、2014 年に廃止となつた。これらの強震観測網の観測点の分布を図 2.2 に示す。山地部以外は、かなりの密度で強震観測点が存在していることがわかる。これらに加えて、横浜市などの政令指定都市、鉄道会社や高速道路会社、ガス会社、電力会社などの民間企業、旧国立研究所や大学などの研究機関などでも強震観測が行われている。例えば、横浜市は市内 150 地点(2012 年以降は 42 地点)に、JR 東海では在来線や新幹線の沿線の 100 地点以上に、東日本高速道路は料金所等の

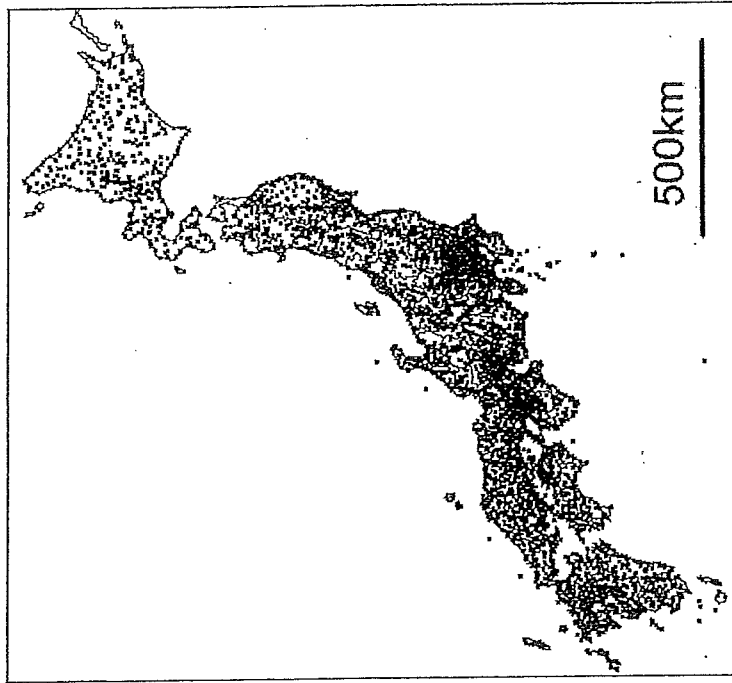


図 2.2 主な強震観測網による強震観測点の分布 (資料を改変)

200 地点以上に、東京ガスは地区ガバナーの約 4,000 地点に、港湾空港技術研究所は 61 の港湾に、それぞれ強震計を設置している。これらの観測点を含めると、全国の 1 万地点以上で強震観測が行われているものと推定される。

文 款

- 1) California Integrated Seismic Network : California Integrated Seismic Network Homepage. <http://www.cisn.org/>, (2016/10/14 アクセス).
- 2) Ishimoto, M.: Etude préliminaire sur l'accélération des séismes, Bull. Earthq. Res. Inst., Univ. of Tokyo, Vol. 9, pp.159-167, 1931.
- 3) Kanai, K., K. Hirano, S. Yoshizawa and T. Asada: Observation of Strong Earthquake Motions in Matsushiro Area. Part 1: Empirical Formulae of Strong Earthquake Motions, Bull. Earthq. Res. Inst., Univ. of Tokyo, Vol.44, pp.1269-1296, 1967.
- 4) 金井 靖・他: 広尾沖地震における強震記録と構造物の被害について, 130pp., 1969.
- 5) 勇刀 良・曾井 荘・西原 康行: 強震観測一派生と展望一, 地震, Vol.61, S19-S34, 2009.
- 6) 地震観測実業推進会議会議: 強震計全国的配置基本計画に関する報告書, 45pp., 1988.
- 7) Pacific Northwest Seismic Network: Pacific Northwest Seismic Network Homepage. <https://www.pnsn.org/> (2016/10/14 アクセス).

- 8) Suyehiro, K.: Engineering Seismology, Proceedings of the American Society of Civil Engineers, Vol.58, No.4, 110pp, 1932.
- 9) 田中貢二：我が國の地震観測始めを振り返って、記念シンポジウム「日本の強震観測 50 年」一歴史と展望—講演集、pp.7-16, 2005.
- 10) Trifunac, M.: 75th anniversary of strong motion observation - A historical review, Soil Dynamics and Earthquake Engineering, Vol.29, pp.591-606, 2009.
- 11) Ulrich, F.: Progress Report for 1835 of the California Seismological Program of the United States Coast and Geodetic Survey, Bull. Seism. Soc. Am., Vol. 26, pp.215-227, 1936.
- 12) U.S. Geological Survey: National Strong Motion Project. <https://earthquake.usgs.gov/monitoring/nsmmp/> (2016/10/14 アクセス).
- 13) Watanabe, T.: Accumulation of strong ground motion records in Japan, Earthquake Motion and Ground Conditions, pp.527-533, 1993.

2.2 強震計の種類

初期に開発された強震計は振り子の動きを記録紙に描くもので、アナログ式強震計と呼ばれる。1932年に米国で最初に開発された強震計(C&GS 標準型)は幅 6 インチ(約 15 cm)の印画紙に加速度計の動きが光学的に記録されるもので、最大加速度 0.2g 前後で記録紙から振り切れてしまうような難点がなされていた(Cloud, 1964)。その後、記録紙の幅は 12 インチに拡大された。1960 年代には最大加速度 1g まで記録できるもの(AE-240)や 70 mm 幅のフィルムに記録するコンバクトなもの(RFT-250)が開発された。1969 年に開発された SMA-1 強震計は約 9 kg とさりげなく、7,000 台以上が販売され、このうち 5,000 台以上が米国外の世界各地で用いられ、多くの強震記録を生み出した(工藤, 1994)。なお、これら米国の強震計は、固有振動数 20~25 Hz、減衰定数 60% の振り子を用いている。

強震計は専門で多額導入することが困難なことから、サイスモスコープと呼ばれる簡易な感覚器も米国で 1950 年代末に開発された(Cloud, 1964)。これは周期 0.75 秒、減衰定数 10% の振り子の動跡を記録するものである。減衰定数 10% とすれば周期的なピーケークがほぼ一定スペクトルが比較的スムーズとなり、周期 0.75 秒程度以上で速度応答スペクトルはほぼ一定となることから、この周期と減衰定数が設定された。1962 年の時点で 100 台以上がカリオナルニアに設置された。

一方、1963年にわが国で開発された強震計(SMAC-A 型)は加速度計の動きを幅 30 cm のスタイルス紙に引っ張いて記録するもので、外形寸法は高さ 56 cm、幅 74 cm、奥行 84 cm で、重量は約 300 kg であった(田中, 2005)。加速度計の振り子の固有振動数は 10 Hz、減衰定数は 100% である。1,000 gal/(cm/s²) まで記録可能な、記録紙上の感度は 25 gal/mm である。SMAC-A 型強震計は大型なため、小型軽量化された SMA-C-B 型強震計が 1959 年に開発されたが、それでも重量は 100 kg であった。振り子の固有振動数を 0.7 倍にして感度を 2 倍にした SMA-C-B2 型強震計も製作され、港湾などの土木施設に多設置された。写真 2.2 に SMA-C-B2 型強震計の内部を示す。振り子が始まる中央のスライス紙が写真的の右方向に 1 cm/秒の速度で進み、左から出ている 3 つのペンにより 3 成分の振り子の動きが加速変形としてスタイルス紙に刻まれる。また、35 mm 幅のスクレーフィルムに記録する、より小型で軽量(約 30 kg)な SMAC-Q 型も開発された。1981 年の時点で、SMAC-A 型は 33 台、SMA-C-B 型は約 700 台、SMAC-Q 型は約 200 台、販売された(明石製作所, 1981)。これらの強震計の固有振動数特性を図 2.3 に示す。米国の SMA-1 強震計は 20 Hz 感度まで平

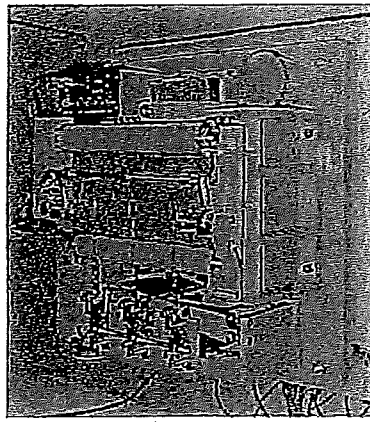


写真 2.2 SMAC-B2 型強震計の内部

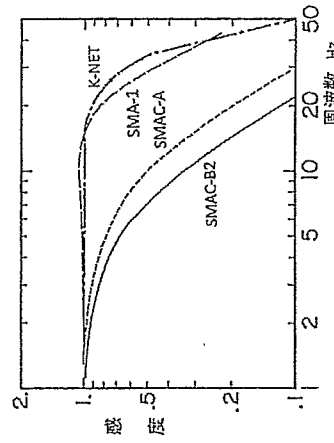


図 2.3 各種強震計の周波数特性

坦な特性を示すのに対して、わが国の SMAC-A 型強震計の感度は 10 Hz で 0.5 倍、20 Hz で 0.2 倍に低下する。振り子の固有振動数がより低い SMAC-B2 型強震計では、感度はさらに低く、10 Hz で 0.3 倍となっている。後述のデジタル式強震計では、加速度計は機械式から電磁式の加速度センサーに置き換えられ、高周波数での感度は向上しており、例えば、K-NET で用いられている強震計は 30 Hz 程度まで平坦な特性を持つ。強震計での特性は観測された最大加速度に影響を与える。例えば、日本で数多くの強震記録を生み出した SMA-C-B2 型強震計は 5 Hz 程度以上になると感度が大きく低下し、近年のデジタル式強震計とは大きく感度が異なる。2011 年東北地方太平洋沖地震の際に、東北地方と関東地方での K-NET の強震記録(水平成分)を用いて、SMA-C-B2 型強震計の周波数特性を考慮した最大加速度振幅と比較すると、図 2.4 のようになる。観測された 1000 cm/s² を越える最大加速度が、仮に SMAC-B2 型強震計で観測されれば、半分程度にまで低下する場合がみられる。近年の大地震では以前に比べて最大加速度の配徳が多く観測されるようになつたのは、観測点数が増大して観測

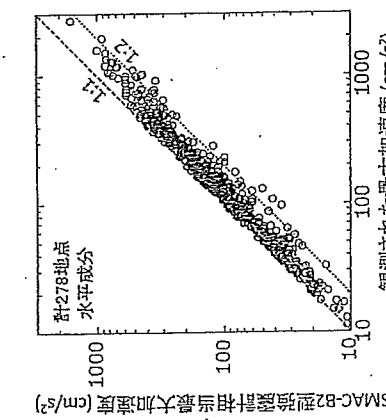


図 2.4 デジタル式強震計と SMAC-B2 型強震計による最大加速度の比較

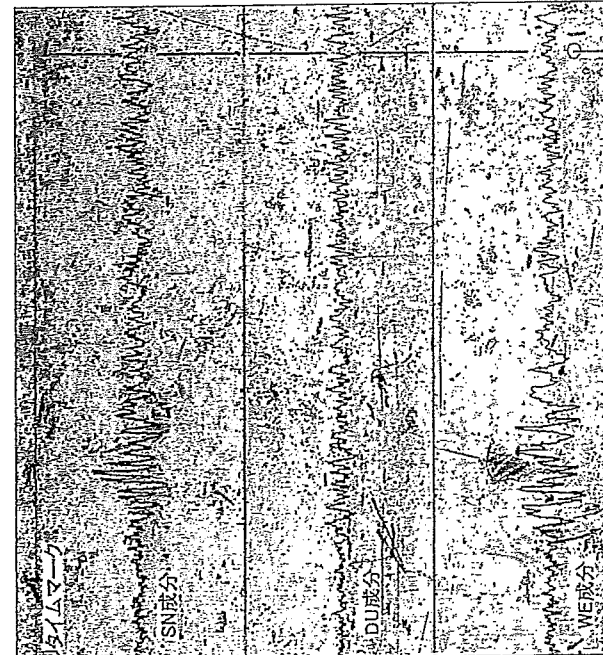


図 2.5 SMAC-B2 型強震計による加速度波形の例

事例が増えたために加えて、強震計の高周波数での感度が向上したことにもよることが指摘できる。

図 2.5 に SMAC-B2 型強震計で得られた加速度波形の例を示す。記録紙には 1 秒ごとの IMマークと水平上下 3 成分の加速度が印されているが、記録紙の箇も刻まれている。記録

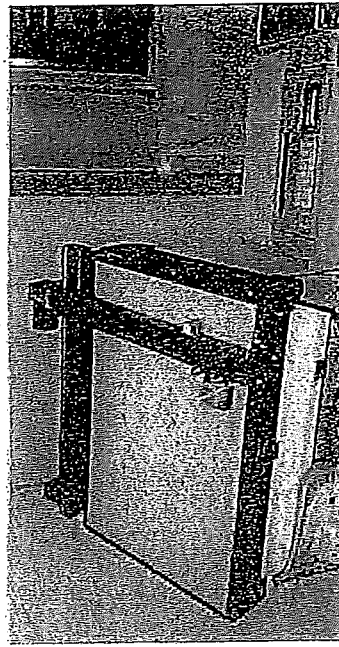


写真 2.3 強震記録読み取り用装置 (SMAC リーダー)

紙に描かれた波形を解析するには、波形から時刻ごとの値を読みとて、数値化データにする作業が必要である。初期には、米国での先例 (Neuman, 1937) を参考にして、得られた波形をスライドプロジェクターにより 5~10 倍に拡大したものをおもにセロロイドフィルム上に描き、これを光電式カーブリーダーにかけて電圧変化に直した後、AD 変換器によって数値化された (地震応答解析委員会, 1964)。このやり方では、非常に手間がかかり、また、記錄の拡大の際にひずみが生ずるため、精度の高い読み取りが困難であった。

そこで、SMAC 型強震計で得られた記録紙を直接数値化するための装置 (SMAC リーダー) が 1965 年に製作され (武藤・小林, 1965), 1967 年に商品化された。写真 2.3 に示すように、実行 50 cm、幅 1m 弱の台の上に、移動装置がついた読み取り用のルーペが装着されている。ルーペは縦方向 (振幅方向) に最大 100 mm 移動でき、目標でルーペへの中心を被写形におわせることで、振幅を読み取ることができる。ルーペは横方向 (時間軸方向) に 1.ステップ (0.1 mm) ずつ移動でき、波形を追跡しながら各ステップでの振幅を読み取り、時刻歴波形が数値化される。米国でも、ほぼ同時期に同様の読み取り装置が用いられている (Trifinac, 2007)。記録紙の走り速度は 1 cm/s のため、0.01 秒ごとの振幅を数値化できる。横方向の移動量は最大で 50 cm で、50 秒間の波形が一度に数値化できるが、この場合、読み取り者は目標でルーペの中心を被写形におわせる作業を 5,000 回繰り返すことになる。水平上下 3 成分となると、この 3 倍の作業が必要となる。例えば、SMAC 型強震計の 30 秒間の記録を数値化する作業に 8 時間程度を要するといわれている (年瀬・他, 1991)。

純方向の振幅の総度は機械的には 0.01 mm である。SMAC-B 型および SMAC-B2 型強震計の感度は、それぞれ 25 gal/mm および 12.5 gal/mm であるので、分解能はそれぞれ 0.25 gal および 0.125 gal となる。しかし、目視で読み取る際の誤差や記録紙に蛇行やひずみが生じることなどから、数値化されたデータにはそれ以上の誤差が含まれ、SMAC-B 型強震計の場合には 2~3 gal が最小分解能ともいわれている (工藤, 1994)。そのため、震度 5 震度以上の大好きな揺れないと数値化がされない場合が多い。また、数値化されても、読み取り誤差や記録紙の蛇行等により短周期地ノイズを生じ、SMAC 型強震計による記録の数値化記録の信頼できる周期間は 0.1 秒から 5 秒程度である。現在でも記録紙に記録された古い地震記録を解析する際には読み取り作業が必要であるが、高精度のスキャナ

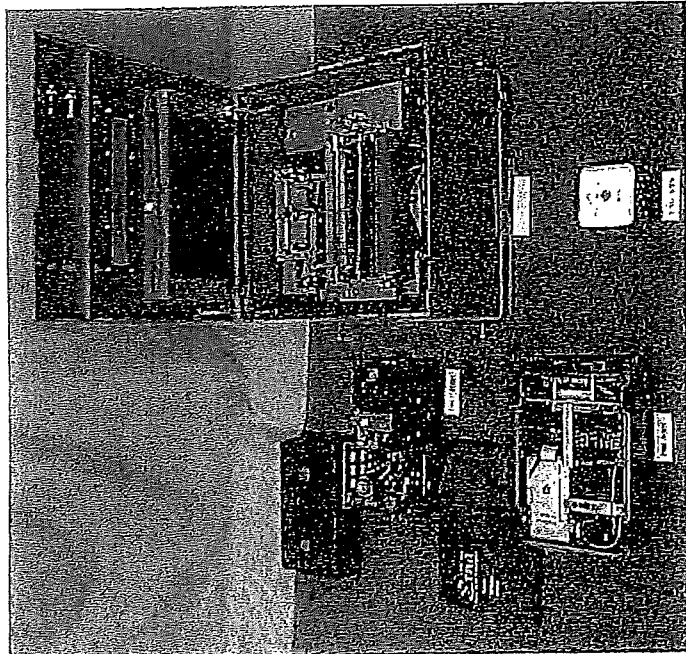


写真 2.4 各種の強震計
(左上:SMA-1 強震計、右上: SMAC-B2 強震計、左下: ETNA 強震計、右下: ETNA2 強震計)

写真 2.4 は、各種の強震計を示す。左上に SMA-1 強震計、右上に SMAC-B2 強震計、左下に ETNA 強震計、右下に ETNA2 強震計がある。SMA-1 強震計は、箱型の機器で、ETNA 強震計は、箱型で複数のセンサーが取り付けられた構造である。SMAC-B2 強震計は、箱型で、ETNA2 強震計は、箱型でセンサーが内蔵された構造である。

写真 2.4 は、各種の強震計を示す。左上に SMA-1 強震計、右上に SMAC-B2 強震計、左下に ETNA 強震計、右下に ETNA2 強震計がある。SMA-1 強震計は、箱型の機器で、ETNA 強震計は、箱型で複数のセンサーが取り付けられた構造である。SMAC-B2 強震計は、箱型で、ETNA2 強震計は、箱型でセンサーが内蔵された構造である。

このようにして、現在では、震度 1 の小さな揺れから震度 7 の激しい揺れまで精度よく記録されるようになった。写真 2.4 は、1950 年代末および 1960 年代末に開発されたアナログ式強震計 (SMAC-B2 強震計および SMA-1 強震計) と 1990 年代および 2010 年代に開発されたデジタル式強震計 (ETNA 強震計および ETNA2 強震計) を並べて写したものである。

SMAC-B2 型強震計が重さ 100 kg、幅・奥行き 53 cm、高さ 40 cm であるのに対して、最新鋭の強震計では重さ 1.5 kg (電源除く)、幅・奥行き 15 cm、高さ 7.5 cm となり、電子技術の進歩により強震計は小型で高精度なものへと進化している。

文 献

- 1) 明石製作所：強震計 SMAC シリーズ パンフレット、1981.
- 2) Cloud, W.: Instrument for Earthquake Investigation, Earthquake Investigations in the Western United States 1931-1954, pp.5-20, 1964.
- 3) 防衛庁防衛研究所・防衛省・車・空輸機材・芦井・井川信之：新型 K-NET：強震計データリアルタイムシステムの部類、日本地震工学会論文誌、Vol.17, No.2, pp.2-16, 2007.
- 4) 工藤一秀：強震観測—現状と展望—、地盤、Vol.47, pp.225-237, 1994.
- 5) 地震応答解析委員会：SERAC に適用した地震記録のディジタル版、SERAC Report No.6 Part 1, 69pp, 1964.
- 6) 鈴井 淳・小林裕美：強震記録のアナログ・ディジタル変換装置の研究、建築学会研究年報 '65, No.962, pp.61-8-619, 1965.
- 7) Neumann, P.: An Appraisal of Numerical Integration Methods as Applied to Strong-Motion Data, Bull. Seism. Soc. Am., Vol.27, pp.21-60, 1937.
- 8) 田中貢二：わが國の強震観測が始めを振り返って、記念シンポジウム「日本の強震観測 50 年」—歴史と展望—講演集、pp.7-16, 2005.
- 9) 年越 亨・鶴川三郎・大町道夫・中村 亞：パソコンとイメージスキャナーによるアラゴン強震記録の解析システム、都筑工業論文誌、Vol.37A, pp.903-910, 1991.
- 10) Trifunac, M.: Recording Strong Earthquake Motion - Instruments, Recording Strategies and Data Processing, USG Report OB 07-03, 78pp, 2007.

2.3 強震動データ

SMAC 型強震計の強震記録の公表については、1960 年から波形集が刊行された (Strong-Motion Earthquake Observation Committee, 1960)。これは、利用者が周期や振幅を読み取れるような配慮から、原寸大の記録波形がオフセット印刷されたものである。強震記録の数値化データの刊行については、強震応答解析委員会 (1964) によるものが初めてであろう。その後、前述の波形記録を取り扱う (SMAC リーダー) の開発とともにになって、記録の数値化が大学や国立研究所などで行われ、各機関から数値化データや添付スケルトが公表されるようになり (例えば、土田・他, 1968; 小林, 1968; 烏林・他, 1973; 建設省建築研究所, 1976; 大沢・他, 1976; 國立防災科学技術センター, 1979; 青木・他, 1979), 復数の機関で数値化されたデータ集 (Committee for Digitized Strong-Motion Earthquake Accelerograms, 1972) も刊行されるようになつた。特に、港湾技術研究所 (現港湾空港技術研究所) は 1968 年以降長期間にわたつて定期的に数値化データ集を刊行し、それらのデータはインターネット上から利用可能になつている (港湾空港技術研究所, 2016)。しかしながら、これら以外では、SMAC 型強震計等によるアナログ強震記録の数値化データの公開は限られていた (例えば、吉澤, 1991)。

1980 年頃からはデジタル型強震計が普及し始め、強震観測に関係する機関は増加していくが、データの公表については各機関個別に行われ (例えば、澤田・他, 1986; 北海道開拓局開拓土木研究所, 1994; 建設省建築研究所, 1999), ユーザーにとって利用しにくいう状況であった。そこで、関連学会等により特定の地震や地点について強震記録を収集しデータ集

3 強戦動力学

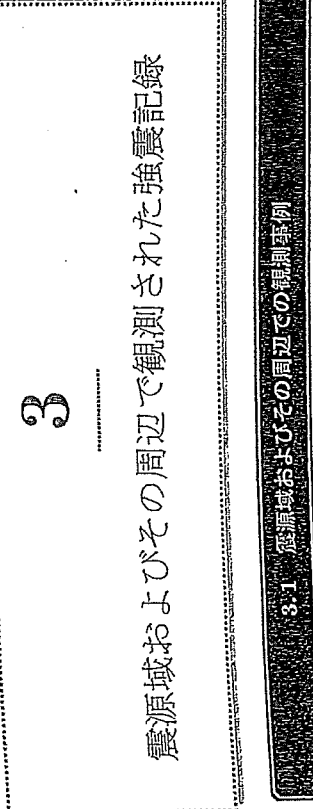
刊行することも行われてきた(例えば, Architectural Institute of Japan, 1992; 日本建築センター, 1992; 震災予防協会, 1993; 日本建築学会, 1996; Japan Commission on Large Earthquakes, 2002; 日本地震工学会, 2016)。しかし、これらの強震規則の多くは各自が機関が特許権を有するもので、連やかな記録公開を考慮したものではないために、強震記録の利用には制限があった。

K-NET強震観測網は、このような状況を打破し、選や兵庫県南部地震を契機に構築されたK-NET強震観測網は、その結果、約1,000箇所の強震記録を収集と公開を図れるよう設計された(大谷, 1996)。その後、全国的な施設記録の収集と公開を図れるよう設計された(防災科学技術研究所, 2016)。インターネット上のデータを用いた観測点で得られた記録は即座に電話回線等で帰還センターに回収され、迅速にインター-ネット上で公開されるようになった。前述のK-NETによるデータもK-NETのデータとともに、インターネット上からダウンロードできる(防災科学技術研究所, 2016)。また、等による強震記録の提供は前述の遙感空港技術研究所が始め気象庁や建設研究所、東大地球惑星科学研究所など他機関でも行われており、それぞれの事例については日本建築学会耐震規則小委員会(2013)によりまとめられている。

米国の論文記録については、全米地質調査所とカリフォルニア州地質調査所による工学強震データセンター CESMD (The Center for Engineering Strong Motion Data) からダウンロードでき (Haddadi et al., 2012), 世界各国の論文記録は強震観測機関共同体 COSMOS (The Consortium of Organizations for Strong-Motion Observation Systems) からダウンロードできる (COSMOS, 2016)。ヨーロッパの強震記録についてもデータベースが整備されている (Luzi et al., 2016)。その他の国、例えば、ニージerland, メキシコ, トルコ, ロシア等の強震データベースについては、Building Research Institute(2016)にリンクがある。

三

- 1) 桥本武志・太田 翔・酒井良男：北延壁におけるSMAC 記録—その整理と解析—，自然災害科学資料，船橋研究，Vol.6, pp.34-47, 1979.
 - 2) Architectural Institute of Japan: Digitized Strong-Motion Earthquake Records in Japan, Vol.1 East Off Chiba Prefecture Earthquake, Dec. 17, 1987. 291pp., 1992.
 - 3) 防災科学技術研究所：強震観測網. <http://www.kenken.bosai.go.jp/kyoshin/> (2016/10/21 アクセス).
 - 4) Building Research Institute: Strong Motion Network and Database. <http://smac.kenken.go.jp/jp/weblinks> (2016/10/21 アクセス).
 - 5) Committee for Digitized Strong-Motion Earthquake Accelerograms: Digitized Strong-Motion Earthquake Accelerograms in Japan, Association of Science Documents Information, 1972.
 - 6) COSMOS : Consortium of Organizations for Strong-Motion Observation Systems. <http://www.cosmos-edc.vrdc/index.html> (2016/10/21 アクセス).
 - 7) Haddadi, H. et al.: Report on Progress at the Center for Engineering Strong Motion Data (CESEMDS). Proceedings of the 15th World Conference on Earthquake Engineering, Paper#3317, 2012.
 - 8) 北海道開拓局開拓大臣研究室：平成 6 年北海道東方冲地震（遠報）資料集, 135pp., 1994.
 - 9) Japan Commission on Large Dams: Acceleration Records on Dams and Foundations, No.2, 2002.
 - 10) 建設省建設研究所：船越台地震動記録配分法，地球研究所資料，No.12, 1976.
 - 11) 建設省建設研究所：仙台盆地近傍震度観測網設置会報書, 23pp., 1999.
 - 12) 建設省建設研究所：八戸港の地震波伝播化集（第 1 集），防災科学技術研究資料，No.40, 1979. PP.21-29.
 - 13) 国立防災科学技術センター：動床振動強度化集（第 1 集），防災科学技術研究資料，No.40, 1979.



a) 1933年ロングビーチ地震 ($M_w 6.4$) の強震記録
この記録は世界初の強震記録と呼ばれるもので、ロサンゼルス南方に位置するロングビーチの4階建てビルの地下1階で得られた。この記録をもたらしたロングビーチ地震は北西-南東方向の左横ずれ断層によるもので、図3.1に示すように、断層での破壊は観測点から約25 km 南東のところであり、観測点から約10 km 南東のこととなるまで一方向に伝播したものとされている (Hauksson and Gross, 1991)。

したがって、この記録は震源断層の近くで観測されたもののひとつといえる。
この記録は図3.2に示すように、水平動および上下動の最大加速度はそれぞれ0.2g程度である。S波初頭部から完全には得られていないが、記録の主要動部の経続時間は7秒程度と短い。加速度を积分して得られる最大速度は水平動および上下動とも約30 cm/sである。観測点の表面地盤は沖積の砂質土で、地盤のS波速度は、地表から深さ5 mまでは約260 m/s、深さ5~17.5 mで約350 m/s、深さ17.5~27.5 mで約410 m/sの値が得られている (Gibbs et al., 1980)。

この記録は図3.2に示すように、水平動および上下動の最大加速度はそれぞれ0.2g程度である。S波初頭部から完全には得られていないが、記録の主要動部の経続時間は7秒程度と短い。加速度を积分して得られる最大速度は水平動および上下動とも約30 cm/sである。観測点の表面地盤は沖積の砂質土で、地盤のS波速度は、地表から深さ5 mまでは約260 m/s、深さ5~17.5 mで約350 m/s、深さ17.5~27.5 mで約410 m/sの値が得られている (Gibbs et al., 1980)。

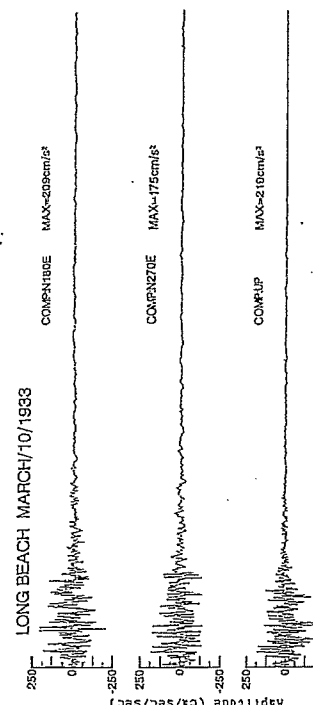


図3.2 1933年ロングビーチ地震の加速度波形

この地震での被害としては、ロングビーチ市内の古い煉瓦造建物1264棟のうち、倒壊したものが14棟、取り壊されたものが58棟、被害を受けた壁などが部分的に取り除かれたものが305棟であり、小破程度の被害が多かった (Martel, 1965)。強震観測点周辺の被害率は20~30%程度で、大きな最大加速度が観測された割には被害のない建物も多く、この結果は当時、耐震工学上の課題を示した (金井, 1966)。

文 献

- 1) Gibbs J., T. Fumal and E. Roth: In-situ Measurements of Seismic Velocity at 27 Locations in the Los Angeles, California Region, USGS Open-File Report 80-378, 1980.
- 2) Hauksson, E. and S. Gross: Source Parameters of the 1933 Long Beach Earthquake, Bull. Seism. Soc. Am., Vol.81, pp.81-98, 1991.
- 3) 金井 潤: エンジニアリングサイスモロジー, 地震, Vol.19, pp.23-30, 1966.
- 4) Martel, R.: Earthquake damage to type III buildings in Long Beach, 1933, Earthquake investigations in the Western United States 1931-1964, U. S. Coast and Geodetic Survey, Publ. 41-2, pp.218-222, 1965.

b) 1940年インペリアルバレー地震 ($M_w 7.0$) の強震記録

この地震のエハーセントロでの記録は観測当時、最大級の強震記録であり、その後、構造物の地盤応答解析の際に入力地震動として広く用いられた。エルセントロはサンディエゴの約100 km 東方のインペリアルバレーに位置する。この地域は地質構造的に複雑な所で地盤の発生頻度が高いため、2.1節で述べたように、1932年にエルセントロ変動所の半地下に強震計が設置され (写真3.1参照)、この地震の際に強震計を稼働するのに成功した。

1940年インペリアルバレー地震は、図3.3に示すように、長さ約30 km、幅10 km弱の鉛直な断层面によるもので、断层面上の破壊はエルセントロの南東約15 kmに位置する地盤から始まって、主に南東方向に約30 km伝播したものとされている。主な破壊は観測点に近い地点①から観測点④へ地点④の順に生じ、地点①、②、③では $M_6 \sim 6.5$ に相当する規模の破壊が生じ、地点④では M_7 程度に相当する破壊が生じたものとされている (Trifunac, 1972)。このように断层面での複数の破壊が観測点から遠ざかるようになりたために、この記

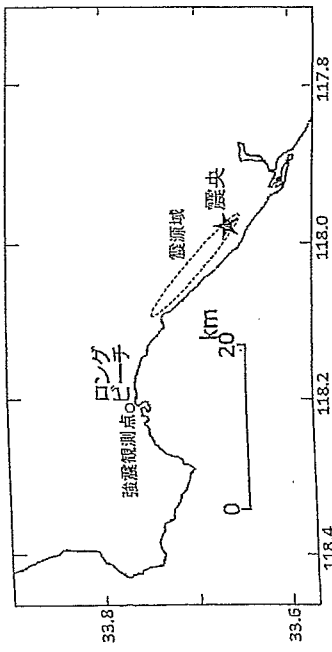


図3.1 1933年ロングビーチ地震の震央、震源域、強震観測点の位置

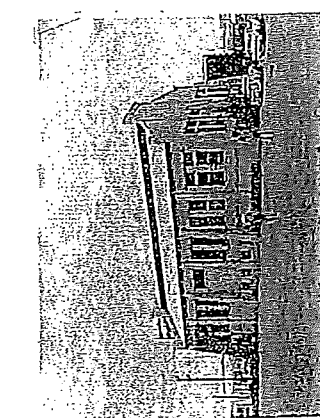


写真 3.1 地震計が設置されていた変電所
図 3.3 1940 年インペリアルベーレー地震の震源地図

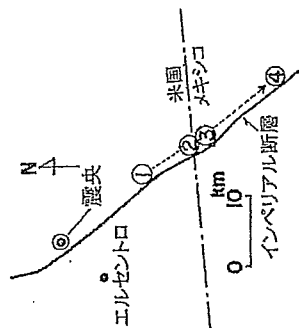


写真 3.2 1940 年インペリアルベーレー地震の震源地図
図 3.3 1940 年インペリアルベーレー地震の震源地図

録は 30 秒程度大きな振幅が継続している。

この記録の原波形を図 3.4 に示す (Ulrich, 1941)。3 本の波形は、上から、上下動成分、南北動成分、東西動成分である。これら 3 つの波形は重なり合っており読み取りにくいか、3 成分とも記録紙上で離和している部分がある。全米沿岸測地局では、地震直後にこの記録を数値化し、その際に施加している部分を外挿して、上下動、南北動、東西動の最大加速度をそれぞれ $0.23g$, $0.35g$, $0.27g$ と推定している (Neumann, 1940)。

この記録は 1950 年代に Berg and Thomaides (1959) によって再数値化され、南北動および東西動の最大加速度はそれぞれ $0.33g$ および $0.28g$ と読み取られた。このデータのベンチマークは Berg の IBM カードとして耐震工学の分野で使われた。しかし、数値化されたデータには数値化した人間の判断による不適切な部分が含まれていることから、1960 年代末に Trifunac (1969) により再度注意深く数値化され、これがカリフォルニア工科大学による数値化記録として現在広く使われている。図 3.5 および図 3.6 にそれぞれ振り子の特性補正後の加速度波形および概似速度応答スペクトルを示す。

観測点の地盤はシルト層からなる冲積地盤である。地盤の V_s は深さと共に徐々に増大し、深さ 85 m では 450 m/s 程度となる (Porcella, 1984)。深い地盤構造については屈折法により P 波速度 (V_p) の構造が明らかにされており、最上層の V_p は 1.8 km/s で、深さと共に速度は増大し、深さ 5 km で 5.5 km/s 程度となる (Inoue et al., 1982)。

このように S 波速度が深さ方向に徐々に変化し、はっきりとした境界を持たない構造のために、地盤の增幅特性に強い周期性が現れないものと考えられる (翠川, 1988)。図 3.7 に示すように、強震観測点付近での常時微動の H/V スペクトル比にも強い周期性はみられない (Midorikawa et al., 1985)。このことが、図 3.6 に示すように、この記録の速度応答スペクトルに強い周期性がみられない理由のひとつである。

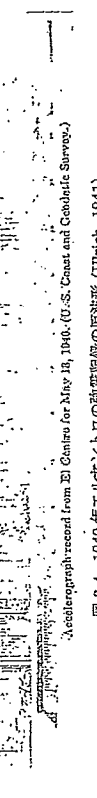


写真 3.4 1940 年エルセントロの強震記録の波形 (Ulrich, 1941)

文 献

- 1) Berg, G. and S. Thomaides: Punched Card Accelerograms of Strong Motion Earthquakes, Report 2881-1-P, Department of Civil Engineering, The University of Michigan, 1959.

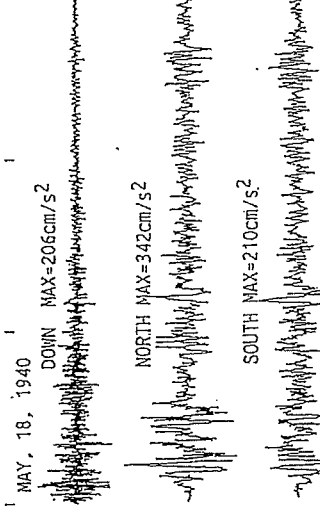


図 3.5 Trifunac により数値化された 1940 年エルセントロの動揺記録

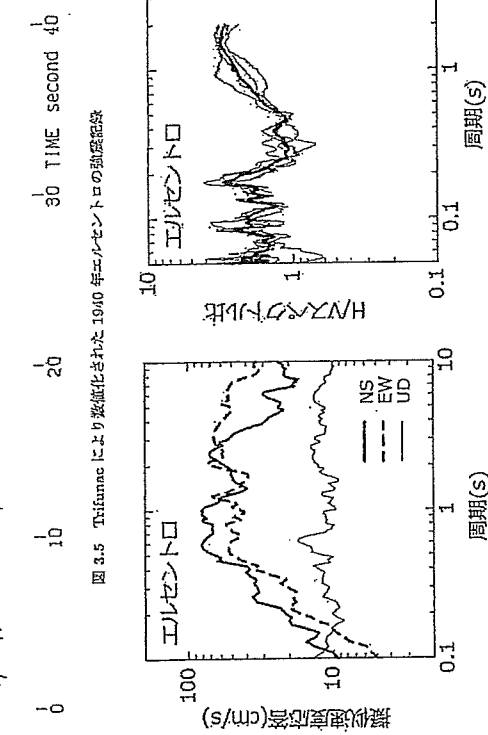


図 3.6 1940 年エルセントロの速度応答スペクトル

図 3.7: 常時微動の H/V スペクトル比では 450 m/s 程度となる (Porcella, 1984)。深い地盤構造について屈折法により P 波速度 (V_p) の構造が明らかにされており、最上層の V_p は 1.8 km/s で、深さと共に速度は増大し、深さ 5 km で 5.5 km/s 程度となる (Inoue et al., 1982)。このように S 波速度が深さ方向に徐々に変化し、はっきりとした境界を持たない構造のために、地盤の増幅特性に強い周期性が現れないものと考えられる (翠川, 1988)。図 3.7 に示すように、強震観測点付近での常時微動の H/V スペクトル比にも強い周期性はみられない (Midorikawa et al., 1985)。このことが、図 3.6 に示すように、この記録の速度応答スペクトルに強い周期性がみられない理由のひとつである。

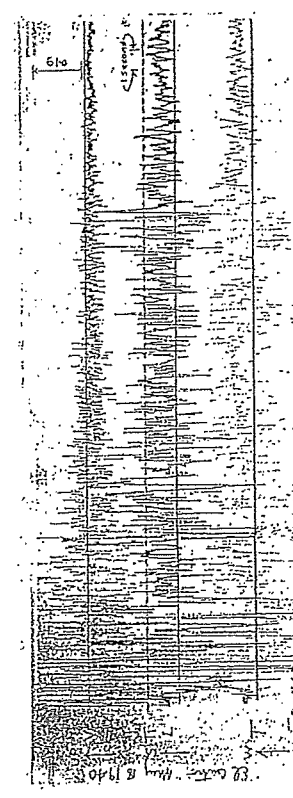


図 3.7 常時微動の H/V スペクトル

- 2) Flis, G.S. et al.: Crustal structure of the Imperial Valley region, U.S. Geological Survey Prof. Paper 1254, pp.25-49, 1982.
- 3) Midorikawa, S., K. Seo and T. Samano: Observation of Microseisms at Strong-motion Stations in the Imperial Valley, California, The 23st General Assembly of LASPEI Abstracts, Vol.2, p.485, 1985.
- 4) 瑞川三郎: 1940年のエルセントロの強震記録の特徴, 地震工学論文集, Vol.34B, pp.15-22, 1988.
- 5) Neumann, P.: Analysis of the El Centro Accelerograph Record of the Imperial Valley Earthquake of May 18, 1940, United States Earthquake, 1940, pp.55-65, 1940.
- 6) Porcella, R.: Geotechnical investigations at strong-motion stations in the Imperial Valley, California, U.S. Geological Survey Open-File Report 84-562, 1984.
- 7) Trifunac, M.: Appendix 2 The Imperial Valley Earthquake of May 18, 1940, Strong Motion Earthquake Accelerograms Digitized and Plotted Data, EERL Report 70-20, California Institute of Technology, pp.A1-A4, 1969.
- 8) Trifunac, M.: Tectonic Stress and the Source Mechanism of the Imperial Valley, California, Earthquake of 1940, Bull. Seism. Soc. Am., Vol.62, pp.1283-1302, 1972.
- 9) Ulrich, F.: The Imperial Valley Earthquake of 1940, Bull. Seism. Soc. Am., Vol.31, pp.13-30, 1941.

c) 1966年バーカフィールド地震 ($M_{W} 6.1$) の強震記録
 この地震では地表断層直近で初めて強震記録が得られた。バーカフィールドはサンフランシスコとロサンゼルスのほぼ中間で、サンアンドレアス断層帯の近傍に位置する。この地域は地震活動が活発なため、5台の強震計と多数のサイモスマスコープによる地動輪跡と強震計設置点(Δ)、地表断層の位置を示す。チョラメ2強震点は地表断層から80 mしか離れていない断層直近にある。

図3.9に示すように、この地点での最大加速度度は $N65^{\circ}E$ 成分で $0.5g$ 、上下成分で $0.27g$ であり、 $N25^{\circ}W$ 成分は強震計の不調のため欠測だった。同地点でのサイモスマスコープの強震跡は振り切れているが、隣接する強震点でのものと同様に断層直交方向に卓越しており (Hudson and Cloud, 1967), 断層近傍で断層直交成分が卓越することが示された最初の観測事例でもある。Aki (1968) はこの加速度記録を積分して求めた変位波形を用いて、震源近傍での地震動を断層モデルから計算で再現できることを初めて示した。

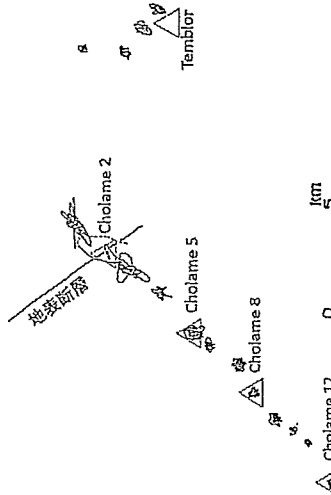


図 3.8 1966 年バーカフィールド地震の際のサイモスマスコープで得られた地震の跡跡

3.1 地震波およびその周辺での地震記録

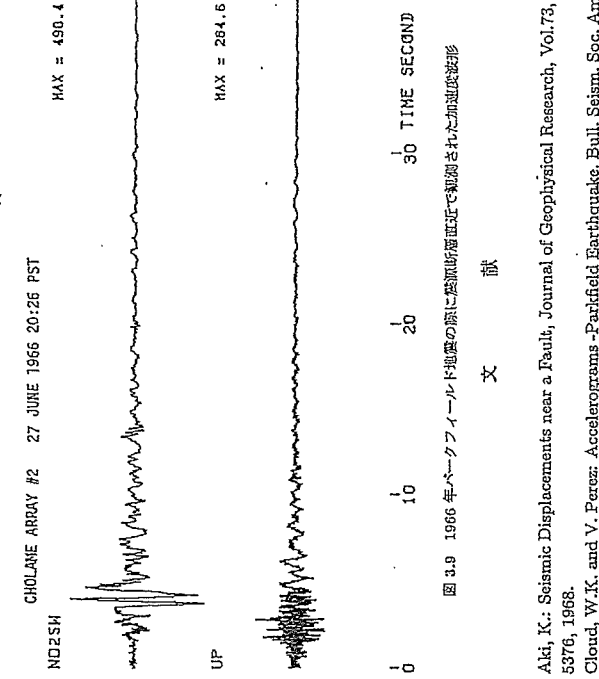


図 3.9 1966 年バーカフィールド地震の際に測定断層直近で観測された加速度記録

文 献

- 1) Aki, K.: Seismic Displacements near a Fault, Journal of Geophysical Research, Vol.73, pp.5359-5376, 1968.
- 2) Cloud, W.K. and V. Perez: Accelerograms - Parkfield Earthquake, Bull. Seism. Soc. Am., Vol.57, pp.1179-1192, 1967.
- 3) Hudson, D. and W. Cloud: An Analysis of Seismoscope Data from the Parkfield Earthquake of June 27, 1966, Bull. Seism. Soc. Am., Vol.57, pp.1143-1159, 1967.

- d) 1968年十勝沖地震 ($M_{W} 8.2$) の強震記録
 この地震では、震源域を取り囲む複数の地点で M8 クラスの巨大地震の強震動の観測に初めて成功した。図 3.10 に観測点の位置と観測された加速度記録の包絡波形を示す。この地震の断層面は 100 km 強の長さを持ち、断層の南北では継続時間が 1 分程度となる茎部や広尾では継続時間が 30 秒程度と比較的短く、その逆は位置する島古では継続時間が 1 分を大きく越えている。これらの中间に位置する青森や八戸では継続時間は 1 分程度となっている。図の破線は、断層を小要素に分割し、それらの要素から始出された地震波の包絡波形を被振伝播による時間遅れを考慮して重ね合わせて合成された包絡波形で、観測記録の特徴をおおむね説明しており (翠川・小林, 1979), 径路伝播方向との関係で継続時間が変化することを説明している。
- e) 1968年八戸港沖地震 (M_W 8.2) の強震記録
 これらの記録は、この地震以前に観測された中小地震の記録と異なり、長周期成分の振幅が大きい。特に八戸(八戸港沖)の記録は周期 2.5 秒の成分が卓越し、長周期地震動研究の先駆けとなる(大沢, 1972)とともに高層建築物の耐震解析用地震動としてよく用いられている。
- f) 東京工業大学小林研究所によるもの(小林, 1968), (c) 東京工業大学翠川研究所によるもの(翠川・三浦, 2010)がある。(a) は記録開始から 119 秒間が、(b) は記録開始の 15 秒後から 120 秒間が数直化されている。しかし、記録は約 4 分間得られており、(a) および (b) では後続部分が数直化されていないことから、全区間を再数直化したものが (c) である。なお、

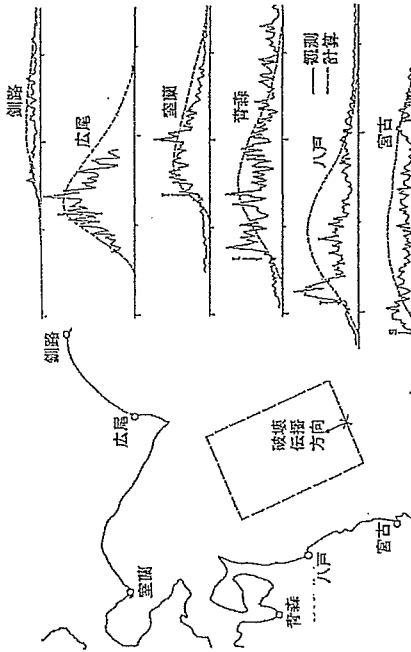


図 3.10 1968 年十勝沖地震のローブファイル波の除去後の加速度波形

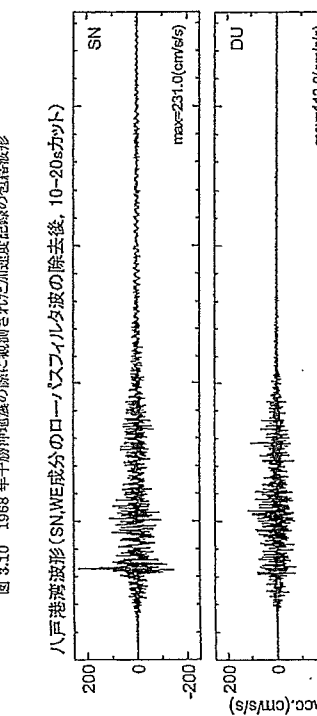


図 3.11 1968 年十勝沖地震の際の八戸港での加速度波形

日本建築センター(1994)から高層建築物の動的解析用に提供されている波形は(b)から主要動部分の 36 秒間ないし 51 秒間を切り取ったものである。図 3.11 に再現化された 234 秒の記録を示す。加速度の主要周期は記録開始の約 20 秒後から約 2 分間継続しており、その後の部分にも周期 2~3 秒の成分がみられる。

図 3.12 に、この記録の相似速度波形スペクトル($h = 0.05$)を示す。NS および EW 成分とも周期 2.6 秒に鋭いピークを持ち、周期 1 秒前後にもピークがみられる。周期 0.6 秒以下では振幅は小さく、やや長周期成分が卓越している。観測点の地震は砂層からなる沖積地盤

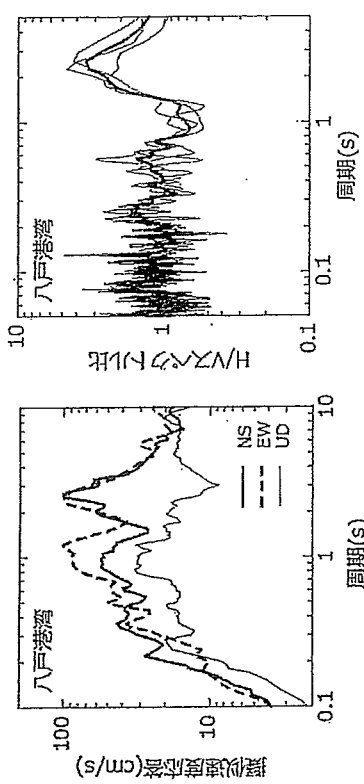


図 3.12 八戸港湾の強震記録の相似速度波形スペクトル

である。地盤の S 波速度は地表近くで 100 m/s、深さ 5 m で約 200 m/s、約 10 m 以深で 400 m/s 程度の値をとる(藤原, 1971)。さらに深さ 200 m 弱で 700 m/s 程度の値となり、深さ 400 m 弱で S 波速度 3,000 m/s 程度の地盤基盤に達する(大沢, 1972)。この深さでの速度コントラストが大きいため、この深さまでの地盤構造による卓越周期約 2.5 秒で地盤波は大きく增幅される。このような地盤特性は図 3.13 に示す常時微動の H/V スペクトル比にもみられ、八戸港湾は周期約 2.5 秒が頭著に卓越する地盤に位置する観測点である。

文 献

- 1) 藤原俊郎：地盤波推定のための地下探査法、鉄道技術研究資料、28-7, pp.319-324, 1971.
- 2) 小林啓英：八戸港の強震記録の Response Spectra、1968 年十勝沖地震災害調査報告、日本建築学会、pp.21-29, 1968.
- 3) 萩原三郎・小林啓英：地盤断層を考慮した地盤動スペクトルの推定、日本建築学会論文報告、No.232, pp.71-81, 1978.
- 4) 萩原三郎・三浦弘之：1968 年十勝沖地震の八戸港湾での強震記録の再現化、日本地盤工学会論文集、Vol.10, No.2, pp.12-21, 2010.
- 5) 日本建築センター：高層建築物の剛性分析用地盤動に関する研究、日本建築センターハンドブック「地盤動」、平成 6 年度研究助成報告書、No.9404, 1994.
- 6) 大沢 勝(研究代表者): 1968 年十勝沖地震における八戸港湾の地盤動特性の研究、100pp, 1972.
- 7) 土田 雅・他: 1968 年十勝沖地震とその余震の港湾地域における強震記録、港湾技術資料、No.30, 47pp., 1969.

e) 1971 年サンフェルナンド地震(Mw 6.6)の強震記録

この地震では、南カリ福ルニアで展開されたものであるが、地盤上のものとみなせるものも 70 記録程度得られた(Hudson, 1971)。多くは建物内で観測されたものと記録が得られた。この地震はロサンゼルス中心部の北側約 50 km に位置する北下ぶりの逆断層によるものである(図 3.14 参照)。断层面直上に位置するバコイマダムでは最大加速度 1g を越える強震記録が初めて観測され(図 3.15 参照)、注目された。この

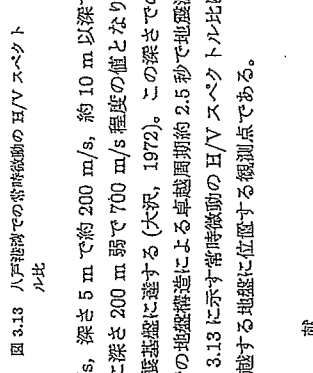


図 3.13 八戸港湾での常時微動の H/V スペクトル

記録の数値化の標準化が進んだ。カリフォルニア工科大学では強震記録の数値化を 1960 年代後半から積極的に進めてきたが、この地震以前に数値化された記録は、1940 年のエルセントロや 1952 年のタフトの記録などの 40 記録に過ぎず(例えば、EERL, 1970), この地震により、利用できる強震記録の量は飛躍的に増加した。その結果、震源モデルの推定(例えば、Trifunac, 1974), 地震伴生の評価(例えば、Hudson, 1972), 地震動の距離減衰特性(例えば、Schnabel and Seed, 1972; Donovan, 1974)などについて多数の研究がなされ、この地震により米国での強震動研究が加速された。

文 献

- 1) Donovan, N.C.: A Statistical Evaluation of Strong Motion Data Including the February 9, 1971 San Fernando Earthquake, Proceedings of Fifth World Conference on Earthquake Engineering, Vol.2, pp.1252-1261, 1974.
- 2) EERL (Earthquake Engineering Research Laboratory): Strong-Motion Earthquake Accelerograms, Digitized and Plotted Data, Volume 1 - Uncorrected accelerograms; Part A - Accelerograms IA1 through IA20, Report EERL 70-20, California Institute of Technology, 1970.
- 3) EERL (Earthquake Engineering Research Laboratory): Strong-Motion Earthquake Accelerograms, Digitized and Plotted Data, Volume 1 - Uncorrected accelerograms; Part C - Accelerograms IC1 through IC41, Report IC55, Report EERL 71-20, California Institute of Technology, 1971.
- 4) Hudson, D.: Strong Motion Records from the San Fernando Earthquake A. Accelerogram Processing, Engineering Features of the San Fernando Earthquake of February 9, 1971, Report EERL 71-02, pp.58-109, 1971.
- 5) Hudson, D.E.: Local Distribution of Strong Earthquake Ground Motions, Bull. Seism. Soc. Am., Vol.62, No.6, pp.1765-1786, 1972.
- 6) Schnabel, P.B. and H.B. Seed: Accelerations in Rock for Earthquake in the Western United States, Bull. Seism. Soc. Am., Vol.63, No.2, pp.501-516, 1972.
- 7) Trifunac, M.: A three-dimensional dislocation model for the San Fernando, California, earthquake of February 9, 1971, Bull. Seism. Soc. Am., Vol.64, No.1, pp.149-172, 1974.
- 8) Trifunac, M. and D. Hudson: Analysis of the Pacoima Dam Accelerogram - San Fernando, California, Earthquake of 1971, Bull. Seism. Soc. Am., Vol.63, pp.1395-1411, 1973.
- 9) Trifunac, M.D. and V.W. Lee: Routine Computer Processing of Strong-Motion Accelerograms, Report EERL 73-03, California Institute of Technology, 1973.

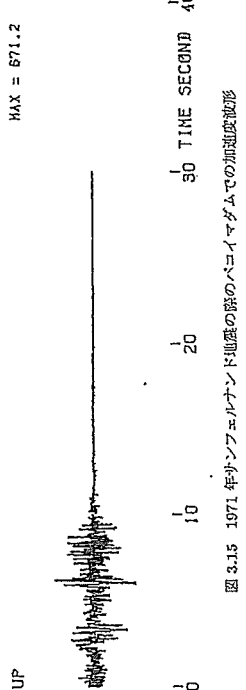


図 3.14 1971 年サンフェルナンド地震および 1994 年ノースリッジ地震の余震域

ダムはアーチ式コンクリートダムで、観測点はダム左岸の急峻な尾根上にあり、大きな最大加速度は地形効果によるとの指摘がある(Trifunac and Hudson, 1973)。この地震で得られた強震記録の数値化はカリフォルニア工科大学によりなされ、1971 年から 1974 年にかけて 231 記録の数値化データが順次、公開された(例えば、EERL, 1971)。数値化の際に使用されたデータ処理プログラムも公開され(Trifunac and Lee, 1973)、強震

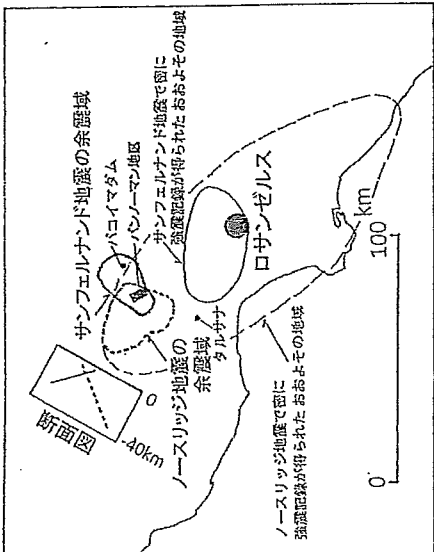


図 3.15 1971 年サンフェルナンド地震の際のペコマダムでの加速度波形

f) 1979 年インペリアルバレー地震 (Mw6.5) の強震記録
1940 年インペリアルバレー地震の際に強震記録が観測されたエルセントロ周辺では、その後、1970 年代の初めにインペリアルバレーの数点に強震計が加えられて強震アレイが設置された。それから、1979 年インペリアルバレー地震の約 2 週間前に強震アレイが完成された。その結果、震源断層を取り巻く多くの地点で強震記録が得られた。インペリアルバレーでの強震観測点の配置を図 3.16 に示す。北西-南東の走行を持つインペリアルバレー断層を中心として長さ 100 km 程度、幅 50 km 程度の地域に 30 地点以上の強震観測点が設置され、これらのうち、13 地点 (E01-E13) が断層を横切るように配置された。なお、このうち、E09 は 1940 年の記録が得られた地点である。

この地震では、これらの観測点すべてで記録が得られ、水平動 0.5g を越える最大加速度が 7 地点で観測された。これほど多數の記録が断層周辺で得られたのは初めてのこととされています。なお、断層から約 1 km 東の E06 の上下動成分に 1.74g という大きな最大加速度が得られた。一方、断層をはさんでほぼ対称の位置にある E07 での上下動成分の最大加速度

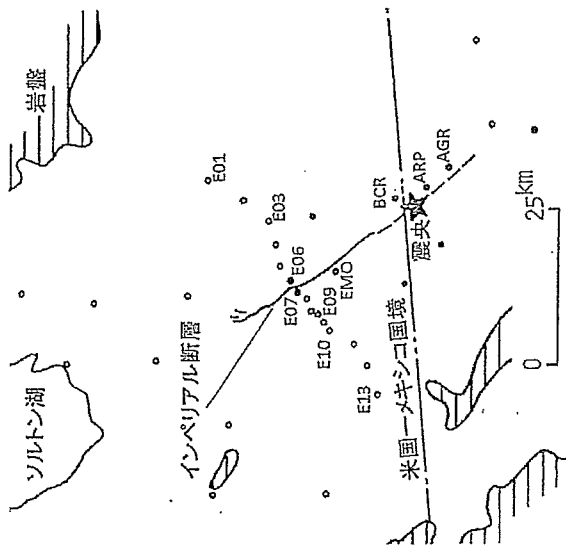


図 3.16 1970 年インペリアルバレー地震の震央、断層および強震観測点
は 0.3g 程度で、E06 での大きな上下動はサイト特性によるものと推定されている (Mueller et al., 1982)。

断層近傍での地震動は、前述のペーカークリード地震の場合と同様に、断層の走行と直交方向の成分 (N230°E 成分) が卓越している (翠川, 1985)。その速度波形を図 3.17 に示す。この地震は横ずれ断層によるもので、断層面上の破壊は震源点 BCR と ARP の中間点付近で始まり、主に北西方向に伝播した。破壊が近づいてくる観測点 E07 や EMO では振幅の大きなパルスが観測され最大速度は 100 cm/s を超えている。一方、破壊が遙ざかる観測点 BCR や ARP, AGR ではハラス的なる波形はみられず最大速度は 50 cm/s 程度である。絶縁時間が長くなっている。これは、後述するように、断層近傍での地震動に対する破壊伝播の影響によるものである。

これら多様の記録により、すべり量や破壊伝播速度を不均一とした複雑な断層モデルが確定可能となった。地震動の短周期成分を説明するために、複雑な断層面が導入され、例えば、EMO 地点付近では破壊伝播速度が S 波速度を越えたとの推定もなされている (Olson and Apsel, 1982)。また、これらの記録を用いて、震源近傍まで適用可能な地震動の距離減衰式も提案された (Joyner and Boore, 1981; Campbell, 1981)。

文 献

- Campbell, K.W.: Near-source attenuation of peak horizontal accelerations, Bull. Seism. Soc. Am., Vol.71, pp.2039-2070, 1981.
- Joyner, W.B. and D.M. Boore: Peak horizontal acceleration and velocity from strong motion records including records from the 1979 Imperial Valley, California earthquake, Bull. Seism. Soc.

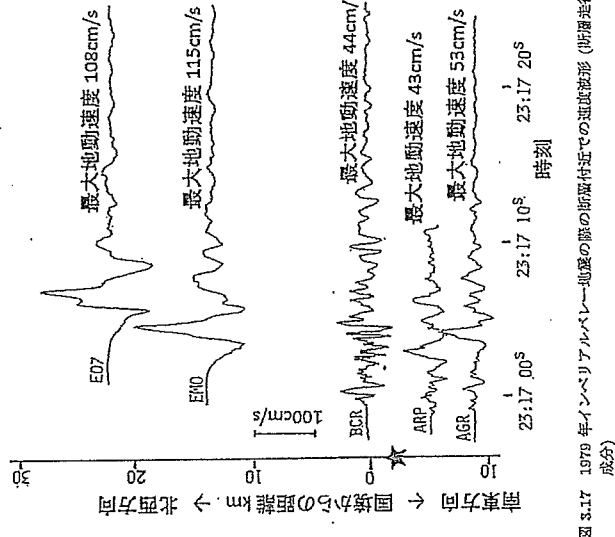


図 3.17 1979 年インペリアルバレー地震の震央の断層付近での速度波形 (断層走行曲交)

Am., Vol.71, pp.2011-2038, 1981.

3) 翠川三郎: 1979 年インペリアルバレー地震から学んだもの、第 13 回地震動シンポジウム資料集、pp.77-86, 1985.

4) Mueller, C.S., D.M. Boore and R.L. Porcella: Detailed Study of Site Amplification at El Centro Strong-Motion Array Station #6, Proc. of the Third Int. Conf. on Earthquake Microzonation, pp.413-424, 1982.

5) Olson, A.H. and R.J. Apsel: Finite faults and inverse theory with applications to the 1979 Imperial Valley earthquake, Bull. Seism. Soc. Am., Vol.72, pp.1965-2001, 1982.

E) 1994 年ノースリッジ地震 (Magnitude 6.7) の強震記録

ロサンゼルス周辺では、1971 年サンゼルス大地震当時からさらに強震観測網が強化され、その結果、この地震では、前出の図 3.14 の網点線で示すように、ロサンゼルス都市圏のより広い範囲で多数の強震記録が得られた。地震時には 700 台以上の強震計が作動し (Shakal and Huang, 1996), 地盤上の約 260 個測点で記録が観測された。この地震は 1971 年サンゼルス大地震と同様にロサンゼルスの北方で発生したものであるが、サンゼルス大地震とは異なり南下がりの逆断層によるもので、2 つの断層は共進的な関係にある (図 3.14 参照)。

図 3.14 に太点線で示した余震域の直上では水平動の最大速度は 100 cm/s を越えたものと推定されている (Tifunac et al., 1996)。例えば、図 3.14 の灰色の四角で示したバンノーマン地区には電力や水道のための重要な施設があるため、4 km × 2 km の範囲に 20 台の強震計が設置されていた (Bardet and Davis, 1996)。このうち、地盤上の観測点とみなせる 7 地点での速度波形 (断層走行直交方向) を図 3.18 に示す。岩盤上のロサンゼルスダムでの最大速度は約 60 cm/s であったが、他の地盤上の観測点では最大速度は 100 cm/s を越えた。リナ

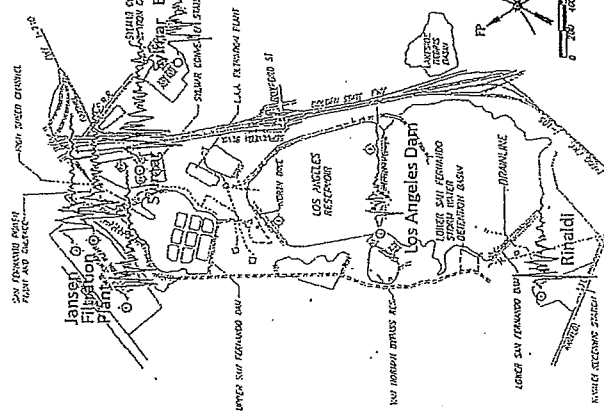


図 3.18 1994 年ノースリッジ地震のベンノーマン地区での遮断波形

ルディでは最大速度約 170 cm/s が観測され、この地震が発生した時点では過去最大の値を示した。サンベルナルド地震の際に $1g$ を越える最大加速度が観測されたペコイマダムでは、この地震でも $1.6g$ の最大加速度が観測された。また、タルサでは、水平方向および上下方向で、それぞれ最大加速度 $1.9g$ および $1.2g$ が観測された。ただし、強震観測点周辺では報告はみられなかった。この観測点では 1987 年ワイティアーナローズ地震 ($M_{JL} 5.9$) でも水平動 $0.61g$ と近隣の観測点に比べて突出した大きな加速度を記録している。この観測点は高さ 20 m 程度の丘の頂上上にあり、地形等による影響が予想されることから、120 m 峠れた丘から外れた地点で余震の比較観測が行われた。その結果、丘の頂上では周期 0.2~0.3 秒で数倍程度揺れが大きいことが確認されており、タルサでの大加速度の原因が地形等による影響であることが示唆されている (Shakal and Huang, 1995)。

文 献

- 1) Bardet, J. and C. Davis: Engineering Observations on Ground Motion at the Van Norman Complex after the 1994 Northridge Earthquake, Bull. Seism. Soc. Am., Vol.86, pp.S33-S39, 1996.
- 2) Shakal, A. and M. Huang: Recorded Ground and Structure Motions, Earthquake Spectra, Vol.11, No. C, pp.18-96, 1995.
- 3) Trifunac, M., M. M. Ridorovska, and S. Ivanovic: Peak Velocities and Peak Surface Strains during

Northridge, California, earthquake of 17 January 1994, Soil Dynamics and Earthquake Engineering, Vol.15, pp.301-310, 1996.

h) 1995 年兵庫県南部地震 ($M_w 6.9$) の強震記録

この地震では、わが国で初めて都市直下地震の強震記録が観測された。淡路島から神戸にかけて走る左限界ずれの六甲断層系によって発生した地震により神戸市等では震災の帶と呼ばれる長さ 20 km, 幅 1~2 km の細長い地域で震度 7 に相当する甚大な被害が生じた。この地震の強震記録は比較的多数得られており、日本建築学会兵庫県南部地震特別研究委員会 (1996) による強震記録資料には約 130 地点で観測された波形が掲載されている。図 3.19 に震度 7 の地域とその周辺での強震記録の最大速度の分布を示す。震災の帶の線に位置する TKT (JR 鹿取駅) や FKA (寺谷) では最大速度は 100 cm/s を越え、灘源断層付近のその他の観測点でも 100 cm/s 超の最大地動速度が観測された。震災の帶の中央での観測記録はないが、周辺の記録を用いた地震応答解析から 200 cm/s 程度の最大速度が推定されている (林・川瀬, 1996)。

図 3.20 に断層付近で観測された遮断波形を示す。前述のカリフォルニアの地震と同様に、断層走行直交方向 ($N140^\circ E$ 成分) の方が大きく、断層直交成分が卓越している。波形はハーモニカルス的で、周期 1~2 秒成分が卓越している。このような大きなハーモニカルス的地震動が、木造家屋などに大きな被害をもたらしたものと考えられることから、キラーパルスとも呼ばれた。

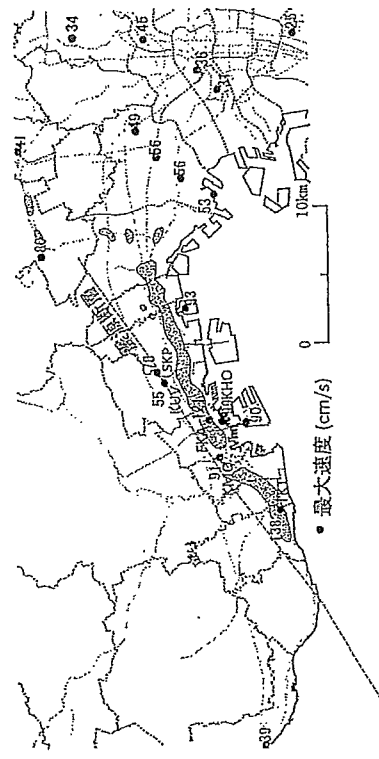
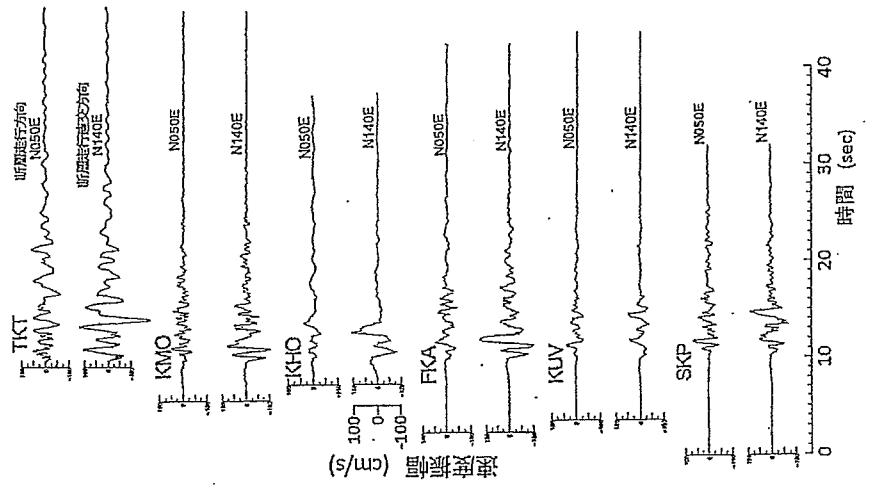


図 3.19 1995 年兵庫県南部地震の震度の非 (細い線) と観測された強震記録の大地震度

- 1) 林 伸裕・川瀬 博: 1995 年兵庫県南部地震における神戸市中央区の地震動評価, 日本建築学会構造系論文集, No.481, pp.37-46, 1996.
- 2) 日本建築学会兵庫県南部地震特別研究委員会: 1995 年兵庫県南部地震観測記録資料, 265pp., 1996.

図 3.20 1995 年台湾集集地震 ($M_w 7.6$) の強震記録i) 1999 年台湾集集地震 ($M_w 7.6$) の強震記録

台湾では 1990 年代前半から強震観測の整備が行われ、約 620 地点の地盤上の観測点からなる強震観測網が完成されていった。この観測網により、この地震では地表断層付近で多数の記録が得られたが、観測点により記録の特性に大きな違いがみられた（翠川・藤本、2000）。この地震は図 3.21 の実線および点線で示す地表断層から東側に向かって約 30° の角度で傾斜した低角逆断層によるものである。

図 3.21 には観測点の位置と EW 成分の速度波形が示されている。断層の南側から北側に向かって長周期のパルス波が成長していく様子がみられる。断層の北端部に位置する TCU068 では、最大速度は 250 cm/s を上回る。その卓越周期は 10 秒程度で、継続時間は 15 秒程度と短い。一方、TCU129 や TCU089、TCU071 など断層の南部の隆起付近では短周期成分が卓越し、最大速度は地点ごとに $0.1g$ から $2g$ と大きく異なり、地震規模が比較的小さ

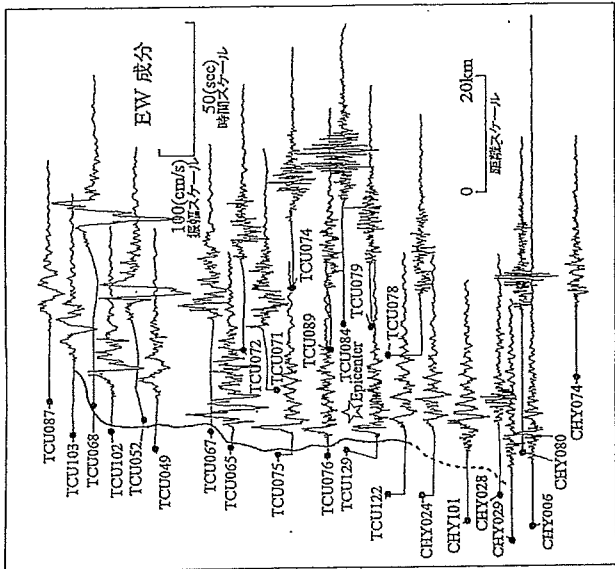


図 3.21 1999 年台湾地震の強震記録

このような特性の違いは観測点が位置する領域での断層運動の違いによるものと考えられる。すなわち、TCU089 が位置する断層の北端部では大きなスペリティが存在し、ここでの破壊が南から北に伝播して長周期の地震動が卓越したものとの考えられる。一方、TCU071 が位置する断層付近では、小さなスペリティがいくつか存在し、比較的ランダムな破壊が生じたために、短周期成分がより卓越したものとの考えられる。このように、断層運動の不均一性により、盆地内でも断層によって地震動の特性が大きく変化することが、これらのみから読み取れる。

文 献

- 1) 翠川三郎・藤本一雄：震源域の地震動とその応答スペクトル特性、ハッシブ制振構造シンポジウム講演集、pp.25-36、2000。
- 2) 2004 年バーカーフィールド地震 ($M_w 6.0$) の強震記録
この地域では、前述した 1986 年の地震では断層直近で初めて強震記録が得られたように、活動度の高い断層が存在している。そこで、高密度な強震観測網が展開され、2004 年の地震では断層から 10 km 以内での記録が約 50 地点で得られた (Shakal, et al., 2005)。図 3.22 には断層の配置を示す。黒丸は 1966 年の記録が得られた観測点で、観測点が格段に増殖されたことがわかる。図には観測記録から描かれた水平動の最大加速度のコンターも示されている。水平動の最大加速度は地点ごとに $0.1g$ から $2g$ と大きく異なり、地震規模が比較的小さ

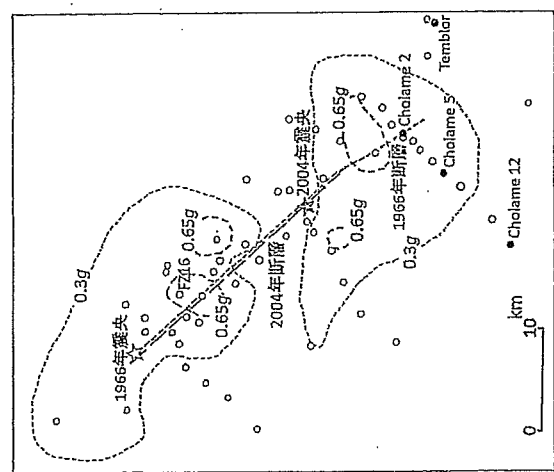


図 3.22 2004 年ペクフィールド地震の震央、断層、強震動点および最大加速度のコントラ (Shakal et al., 2006)

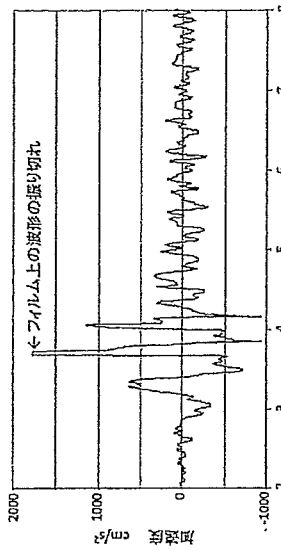


図 3.23 FZ16 録測点での加速度波形 (Shimizu et al., 2006)

くても、前述の集集地震の場合と同様に、震源域での地盤動の空間的な変動が大きいことを示している。

FZ16 録測点では水平動成分の波形が $1.8g$ で SMA-1 強震計の記録ファイルムから振り切れていた(図 3.23 参照)。このような SMA-1 強震計の振り切れは、1994 年ノースリッジ地震のハコイダムでの記録や 1985 年ナヘニ地震(カナダ)、1992 年ペトロリア地震(米国)での記録にもみられ、これらを記録した SMA-1 強震計の記録範囲(公称 $1g$)を超えたために生じたものである。しかし、振動台テストから、この強震計の振り子自体は $2g$ まで測定

可能とされており、FZ6 では $2g$ を越える最大加速度が生じたものと推定されている(Shakal et al., 2006)。

文 献 記 記

- 1) Shakal, A., V. Graizer, M. Huang, R. Borcherdt, H. Haddadi, K. Lin, C. Stephens, and P. Rothers: Preliminary Analysis of Strong-motion Recordings from the 28 September 2004 Parkfield, California Earthquake, Seism. Res. Letters, Vol.76, pp.27-39, 2005.
- 2) Shakal, A., H. Haddadi, and M. Huang: Note on the Very-High-Acceleration Fault Zone 16 Record from the 2004 Parkfield Earthquake, Bull. Seism. Soc. Am., Vol.96, pp.S119-S128, 2006.

k) 2004 年新潟県中越地震 (Mw6.6) の強震記録

この地震では、1996年に設置された計測震度で初めての震度 7 が観測される等、強い揺れが各地で観測された。図 3.24 に震度分布を示す。震源域の直上に位置する川口町では、水平動の最大加速度は $1.7g$ 、最大速度は約 150 cm/s と大きく、震度 7 を観測した。この地点の表層地盤は砂礫で、S 波速度は地表近くで $130\sim210 \text{ m/s}$ 、深さ $5\sim17 \text{ m}$ で 310 m/s 、それ以深で 500 m/s 程度と比較的硬質な地盤である(先名・他, 2005)。この地震は西側斜面の逆断層によるもので、図の点線で示す断層上盤側に位置する山古志村や小千谷市、長岡市などで震度 6 強が観測され、断層の下盤側(南東側)に比へ震度が大きかった。なお、K-NET 小千谷でも、計測震度 7、最大速度 $1.3g$ 、最大速達 130 cm/s という大きな記録が得られたが、表層に S 波速度で $50\sim70 \text{ m/s}$ の軟弱な地層が存在し(時松・他, 2006)、地震動が局所的に增幅されたものと考えられる。

図 3.25 に震源域周辺で観測された記録の速度波形を示す(翠川・三浦, 2005)。震源域のほぼ直上に位置する川口町や山古志村では波形がペルス的である。最大速度は 100 cm/s を越えており、前述の逆断層のノースリッジ地帯の場合は顕著がみられる。しかし、地盤動

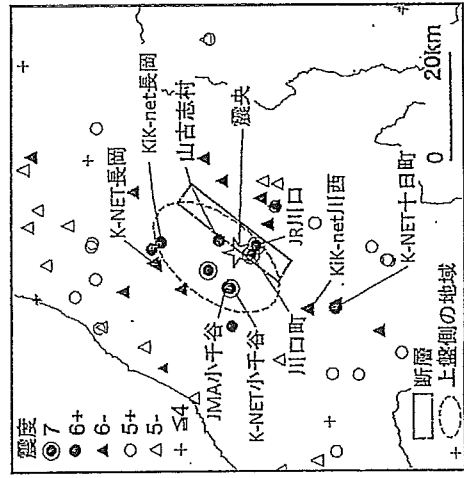


図 3.24 2004 年新潟県中越地震の震度分布

49

く、また向き成分の最大値は $3.9g$ 、下向き成分の最大値は $1.7g$ と上下非対称な波形形状を示している。

このような上下非対称な地盤動の理由として、Aoi et al. (2008) は、美眉付近の地盤が大加速度の入力により船状体的な振る舞いをしてトランボリンに乗った物体のように上向きに大きな加速度が生じたとしている。一方、大町・他 (2011) は、大加速度の入力により地盤鏡面と再接触した際の衝撃力の影響で上向きに大きくなる初期速度が生じ、この鏡像がなければ上下方向の大加速度は 1.6g 程度であったと推定している。このような上下非対称な大振幅記録は、この地震以前に発生した地震 (Yamada et al., 2009) や 2011 年ニュージーランド・クライストチャーチ地震 (Benites and Kaiser, 2011) でも観測されている。

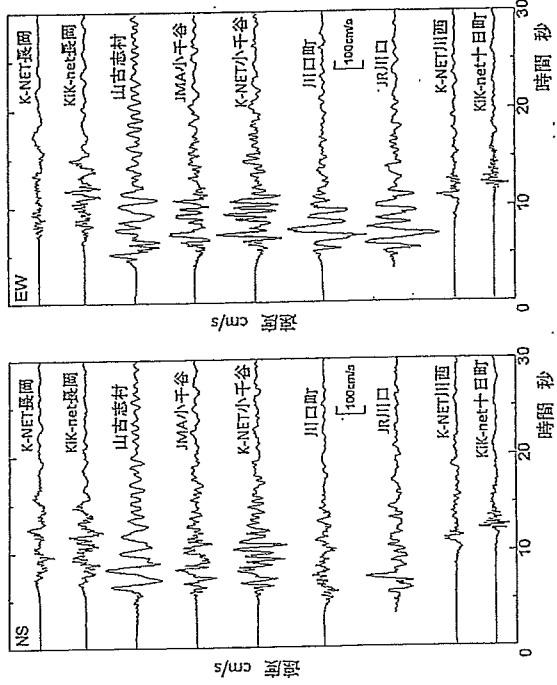


図 3.25 2004 年新潟県中越地震の震源地およびその周辺での地震波形

この方向性については、断層走行直交方向が必ずしも卓越しているわけではなく、川口町ではEW成分の方がNS成分の方が大きく、卓越方向は一定ではない。川口町でEW成分が卓越した理由として、断層面上のすべりが一様ではなく、断層浅部の狭い領域からなる複数の断層によるためという解説もなされている(石井・他, 2007)。

文獻

- 1) 石井やよい・後藤浩之・澤田英男：新潟県中越地震による川口町の地震動特性の考察、土木学会地盤工学論文誌、Vol.29, pp.153-160, 2007.
 - 2) 萩原三郎・三浦弘之・藤本一進：2004年新潟県中越地震の地震動と建物被害、第35回安全工学シンポジウム講演論文集、pp.247-248, 2005.
 - 3) 先名直樹・旗川信之・大井国弘・藤谷広行：新潟県中越地震における地震波伝播の検討、川口地区の常時微動測定結果および地盤構造について、2005年度日本建築学会大会学術講演会、pp.147-148, 2005.
 - 4) 時松博次・西口 徹・三浦弘之・翠川三郎：強震記録から推定したK-NET・J-MET・MMA 小千谷における表面地盤の非弾性形態、日本建築学会構造系論文集、No.600, pp.43-49, 2006.

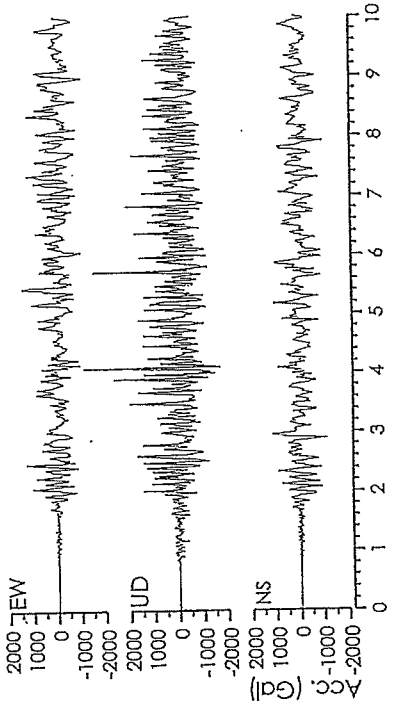
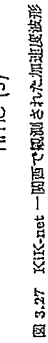


図 3.26 2008 年岩手・宮城内陸地震の震央、断層、強震観測点の位置



文献

- 1) Aoi, S., T. Kurnagi, and H. Fujiiwara : Trampoline Effect in Extreme Ground Motion, Science, Vol. 322, pp. 727-730, 2008.
- 2) Benites, F. and A. Kaiser: Character of Accelerations in the Mw6.2 Christchurch Earthquake, Seism. Research Letters, Vol.32, pp.846-852, 2011.
- 3) 防災科学技術研究所：地震時の震度別最大加速度のキネス認定. <http://www.bosai.go.jp/press/pdf/>
- 4) 大町透夫・井上修作・水野剛一・山田雅人：2008年岩手・宮城内陸地震のKIK-net一観測における大加速度記録の成因の推定, 日本国際工学会論文集, Vol.11, No.1, pp.39-47, 2011.
- 5) Yamada, M., J. Mori and T. Fleaton : Slapdown Phase in High-acceleration Records of Large Earthquakes, Seism. Research Letters, Vol.80, pp.559-564, 2009.

m) 2011年東北地方太平洋沖地震(Mw9.1)の強震記録

2011年東北地方太平洋沖地震は、Mw9.1という国内史上最大規模の地震であり、ほぼ日本全国を揺らした。K-NET, KIK-net, 気象庁, 自治体, 國土交通省等の機関で観測された地盤上の記録の数は約3,000にも昇り、ひとつつの地震で得られた強震記録の数としては最大のものである。図3.28に最大加速度および最大速度について、振幅別の数を示す(種美・他, 2013)。最大速度については、最大が2,700 cm/s²で、1,000 cm/s²を超える記録が32地点で得られている。最大速度については、最大が113 cm/sで、70 cm/sを超える記録が34地点で得られている。

1,000 cm/s²を超える最大加速度の記録について加速度波形を確認してみると、32記録中18記録で、鋭いスペイク状の波形がみられる(Midorikawa et al., 2013)。一例として、図3.29に宮城県川崎町での加速度波形を示す。NS成分にスペイク状の波形により約2,700 cm/s²の最大加速度が生じている。スペイク状の部分を除くと最大加速度は1,500 cm/s²程度となる。これらの記録のうちボーリングデータが収集できた9地点の地盤主状図をみると、全地点で地質の地図がみられる。そこで、大加速度の記録にみられる鋭いスペイク状の波形は、砂質地盤のサイクリックモビリティによる脈衝で生じた可能性が考えられる。最も大きな加速度2,700 cm/s²を記録したK-NET 篠館での加速度波形を図3.30に示す。水平動の最大加速度と上下動の最大加速度がほぼ同時刻に発生し、水平動の卓越周期が上下動の卓越周期の倍となっている。このことは地震計基礎がロッキング振動を起こしたことを見出している。

3.1 宮城県およびその周辺での強震記録

51

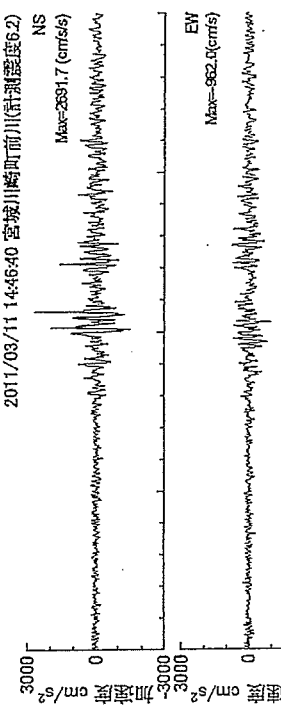


図 3.29 川崎町(宮城県)での強震記録

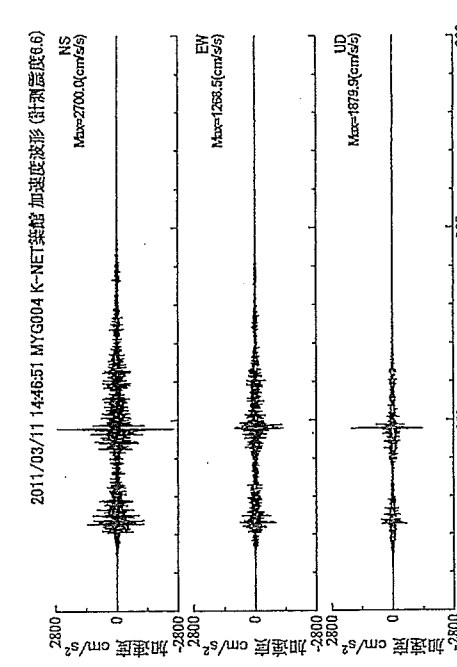


図 3.30 K-NET 篠館(宮城県)での加速度波形

示験しており、これが大きな加速度の一因となつた可能性が指摘されている(Motosaka and Tsamba, 2011)。K-NET 篠館の他にも、このような特徴を持つ波形が、1,000 cm/s²を超える大加速度の記録の中で9記録にみられた。これらやスペイク状の波形がみられた記録を除くと、最大加速度は最大で約1,300 cm/s²となる。

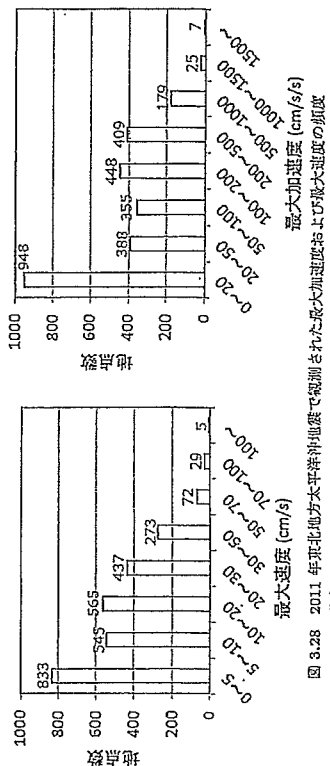


図 3.28 2011年東北地方太平洋沖地震で観測された最大加速度および最大速度の頻度分布

文 献

- 1) 渡辺知宏・堀川三郎・三浦弘之・生名直樹・前原広行：2011年東北地方太平洋沖地震で観測された動揺記録とその強さについて、2013年度日本建築学会大会学術講演会要集、Vol.E2, pp.173-174, 2013.
- 2) Midorikawa, S., T. Atsumi and H. Miura: High Intensity Records Observed in the 2011 Tohoku Earthquake, Proceedings of the 10th International Conference on Urban Earthquake Engineering, PG.119-124, 2013.
- 3) Motosaka, M. and T. Tsunaba: Investigation of High Acceleration Records at K-NET Tsukidate Station during the 2011 off the Pacific Coast Tohoku Earthquake, 日本国震工学会大会 2011 概要集, pp.24-25, 2011.

n) 2016年熊本地震(Mw7.0)の強震記録

この地震では、熊本県益城町および西原村で震度7が、熊本市を始めとする10地点以上で震度6強が観測された。この地震は、図3.31の矩形で示すように、東北東—西南西の走行で北傾斜の断面によるものである(引間・三宅, 2016)。震央は断層のほぼ西端にあり、断層破壊は東へと伝播した。

図3.32に断層付近の4地点で測定された速度波形を示す。断層直近の西原村役場ではわが国で初めて200 cm/sを超える最大速度が観測された。被振伝播側にある南阿蘇村長陽支所や西原村役場では、波形はハーベス的で、能動時間は5秒程度と短い。一方、破壊が遠ざかる方向に位置する嘉島町役場では、他の地点に比べて、能動時間は10~15秒と長く、最大速度は90 cm/s程度とやや小さい。嘉島町役場と西原村役場の中間に位置する益城町役場では、能動時間は10秒弱と2地点での値の中間で、西原村役場と同様に断層直近にあるため、最大速度は200 cm/s弱と大きい。

3.2 大振幅の強震記録の最大加速度・速度

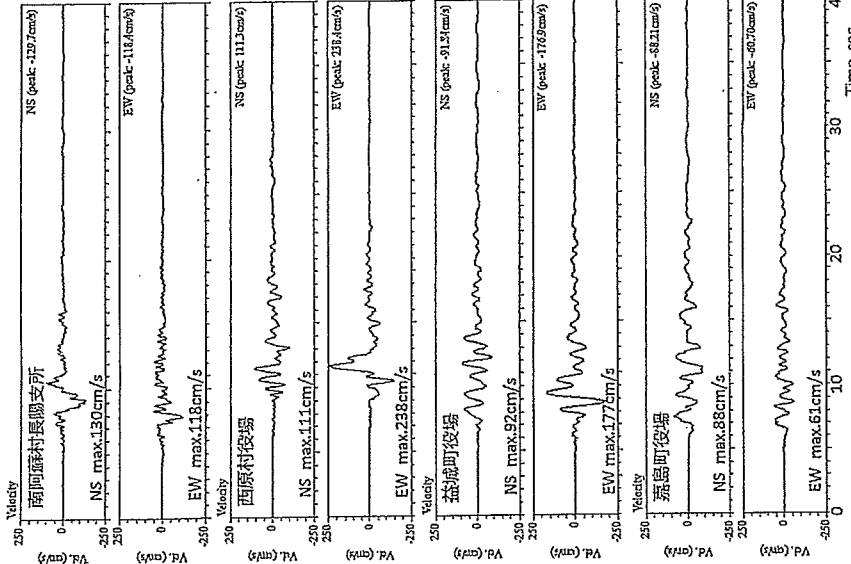


図 3.32 断層周辺での速度波形

文 献

- 1) 引間和人・三宅弘志：観測記録により推定された震源断層モデルに見られる特徴、第44回地盤調査シンポジウム資料集、pp.26-33, 2016.

3.2 大振幅の強震記録の最大加速度・速度

強震観測が充実するにつれて、大地震時に大振幅の記録が得られてくると、観測記録を並理して大震震での地震動がどの程度の強さにまで達するのかが検討されるようになつた。その初期の研究として、Housner (1965) は1957年までにカリオルニアで観測された強震記録をまとめ、地震動の最大加速度の上限値は堅固で深い地盤上では0.5gと推定してい

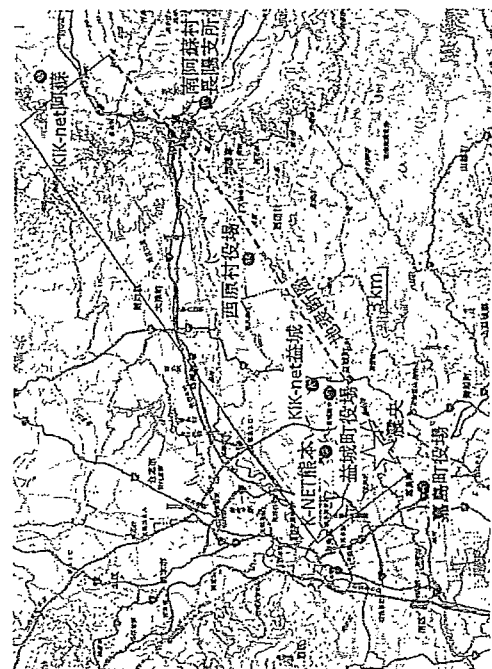


図 3.31 2016年熊本地震の震央、断層、強震観測点の位置

る。しかし、この推定値は当時観測されていた最大の地震動である 1940 年のエルセントロの記録に大きく依存している。

その後、3.1 節述べたように、多数の強震記録が震源近傍で観測されるようになり、近年の研究としては、Anderson (2011) は最大加速度で 0.5g 以上ないし最大速度で 50 cm/s 以上の強震記録が 2007 年までに世界各地で 255 録波器で行われていることを示している。これらの中には 150 万地点・年の強震記録の結果と推定している。ここで、地点・年とは、100 地点で 10 年間観測が行なわれていれば 1 千地点・年となるというものである。この推定値から、最大加速度 0.5g 以上ないし最大速度 50 cm/s 以上の記録は 600 地点・年に 1 回、さらに、最大加速度 1g 以上ないし最大速度 100 cm/s 以上の記録は 4,300 地点・年に 1 回の頻度で観測されているとしている。強震観測は地震活動度の高い地域で行われていているから、このよきな地域では、オーダーとして、最大加速度 0.5g 以上ないし最大速度 50 cm/s 以上の記録は、600 年に 1 回程度、最大加速度 1g 以上ないし最大速度 100 cm/s 以上の記録は 4,300 年に 1 回程度の頻度で発生しているといふべきであるかもしかない。

Straßer and Bommer (2009) は、2008 年までに世界各国において最大加速度で 1g 以上の大加速度記録が 43 回、最大速度で 100 cm/s 以上の大速度記録が 31 個観測されていると整理している。また、それぞれの記録に対して、大振幅の原因として、震源特性、伝播特性、サイト特性などの様々な要因が指摘されているが、複数の要因が重ならないと、このような大振幅の記録は起こりにくいことを指摘している。彼らのデータに 2008 年以降に観測された大振幅の記録 (2010 年ダーフィールド地震、2011 年イスチャーチ地震、2011 年東北地方太平洋沖地震、2016 年熊本地震、2016 年エクアドル地震) を加えると、水平動の最大加速度で 1g 以上の記録が 74 回、上下動の最大加速度で 1g 以上の記録が 23 回、水平動の最大速度で 100 cm/s 以上の記録が 44 回、上下動の最大速度で 100 cm/s 以上の記録が 2 個となる。これらデータを表 3.1 から表 3.3 に示す。表には観測点の地盤範囲別 (A~E) も示している。水平動の最大加速度と地盤範囲、震源距離からの距離の関係を図 3.33 に示す。M5.2~9.0 の地震の 74 記録で 1g 以上の水平動最大加速度が算出されており、最大加速度の地盤範囲が存在はほとんどられない。そのうちの約 3 割の 23 記録で 1.5g を越えており、さらに、2g を大きく超える記録が 3 個ある。ひとつは 2008 年岩手・宮城内陸地震の KIK-net 東北筋の記録 (2.5g) で、この記録には片側に 1 節だけ大きな加速度があり、これを除くと最大加速度は 1g 強である。他の 2 つは 3.1 節述べた 2011 年東北地方太平洋沖地震の K-NET 緊結と宮城県川崎町での記録 (それぞれ 2.8g) で、前者は剛性計基盤のロッキングの影響が指摘され、後者はサイクリックモビリティによるスペイク的な波形であることが推測されている。強震記録についても、NEHRP の分類で C (硬質地盤), D (中間的地盤) が多く、岩盤に相当する A および B は 8 個、軟弱地盤に相当する E は 2 個と少ない。距離との関係については、M9 の東北地方太平洋沖地震によるもの (32 回) を除くと 20 km 以内のものが 84 個と多い。

上下動最大加速度と地盤範囲、震源距離からの距離の関係を図 3.34 に示す。M6.0~9.0 までの地震で 1g 以上の最大加速度が観測されている。水平動に比べると数は約 3 割で、1g を越える大加速度は水平動に比べて上下動の方が生じにくいくことを示唆している。地盤範囲依存性は水平動の場合と同様ほとんどみられない。観測点の地盤範囲別は水平動の場合は M9 の東北地方太平洋沖地震によるもの (59 回) を除くと 10 km 以内のものが 15 個と多い。

上下動最大加速度が 2g を越えるものが 3 つある。そのうち、3.9g を示した 2008 年岩手・宮城内陸地震の KIK-net 一箇所の記録については、3.1 節述べたように、上向きの最大加速度は 3.9g で下向きのものは 1.8g と非対称であることから、大加速度の入力により表層地盤が引張られても部分的に地盤全体的な性質を持つたためという解釈と地盤計の観測小屋の基礎がロックング振動を起こして浮き上がった後に地面と衝突しためという解釈がなされている。

表 3.1 和モード速度が 1g を越える大加速度記録 (その 1)

| 地震名 | 日付 | Mw | 観測点 | 最大加速度(g) | 成分 | 地盤 (離さkm) / 地盤 |
|----------------------|------------|-----|----------------------------|----------|-------|-------------------|
| San Fernando, CA | 1971/2/9 | 6.6 | Pacifica Dam Abutment | 1.25 | N164E | 1.8/A |
| Gazli, USSR | 1976/5/17 | 6.6 | Karakyr Point | 1.36 | UD | 5.5/C |
| Ardal, Iran | 1977/4/6 | 6 | Naghsh 1 | 1.03 | LG | 9/B |
| Imperial Valley, CA | 1979/10/15 | 6.5 | El Centro Array 6 | 1.74 | UD | 1.4/D |
| Victoria, Mexico | 1980/6/9 | 6.3 | Victoria, Mexican Valley | 1.29 | UD | 7.3/D |
| Coalina盆地, CA | 1983/7/22 | 5.8 | Transmitter Hill | 1.17 | N360E | 9.5/C |
| Morgan Hill, CA | 1984/4/24 | 6.2 | Coyote Lake Dam | 1.3 | N205E | 0.5/C |
| Nanaimo, Canada | 1985/12/23 | 6.8 | Inverson Station 1 | 1.34 | N200E | 9.6/C |
| Nanaimo, Canada | 1985/12/23 | 6.8 | Inverson Station 1 | 2.37 | UD | 9.6/C |
| Carro Prieto, Mexico | 1987/2/7 | 5.5 | Carro Prieto | 1.45 | N161E | 2/C |
| Cape Mendocino, CA | 1992/4/25 | 7 | Cape Mendocino | 1.98 | NS | 7/C |
| Cape Mendocino, CA | 1992/4/25 | 7 | Cape Mendocino | 1.82 | UD | 7/C |
| Northridge, CA | 1994/1/17 | 6.7 | Pacifica Dam Abutment | 1.58 | N104E | 7/A |
| Northridge, CA | 1994/1/17 | 6.7 | Pacifica Dam Abutment | 1.23 | UD | 7/A |
| Northridge, CA | 1994/1/17 | 6.7 | Tarzana Cedar Hill Nursery | 1.78 | EW | 15.6/D |
| Northridge, CA | 1994/1/17 | 6.7 | Tarzana Cedar Hill Nursery | 1.05 | UD | 15.6/D |
| Chi-Chi, Taiwan | 1999/9/20 | 7.0 | TGCU084 | - | 1/EW | 1.8/C |
| Chi-Chi, Taiwan | 1999/9/20 | 7.0 | TGCU129 | - | 1/EW | 1.8/C |
| Duzce, Turkey | 1989/1/12 | 7.1 | IRGM456 | 1.03 | NS | 9/U |
| Duzce盆地, Turkey | 1989/1/12 | 5.2 | IRGM496 | 1.04 | NS | 17/U |
| El Salvador | 2001/1/13 | 7.7 | La Libertad | 1.13 | NS | 60/C |
| 宮城県沖 | 2003/5/26 | 7 | MG011 | 1.13 | EW | 80/B |
| 宮城県沖 | 2003/5/26 | 7 | MT007 | 1.06 | EW | 70.9/D |
| 宮城県沖 | 2003/5/26 | 7 | MTI04 | 1.3 | UD | 71/C |
| 宮城県沖前倒進 | 2003/7/26 | 6.5 | 臨海町 | 2.04 | EW | 3.3/D |
| 宮城県北部 | 2003/7/26 | 6.1 | 島合町 | 1.64 | NS | 10.2/E |
| 宮城県北部 | 2003/7/26 | 6.1 | 佐木町 | 1.3 | UD | 5.2/D |
| Barn, Iran | 2003/12/26 | 6.6 | Bam | 1.01 | UD | 1.5/C |
| Parkfield, CA | 2004/9/28 | 6 | Fault Zone 11 | 1.14 | EW | 35/C |
| Parkfield, CA | 2004/9/28 | 6 | Fault Zone 14 | 1.31 | EW | 0.3/D |
| Parkfield, CA | 2004/9/28 | 8 | Fault Zone 16 | 1.04 | NS | 10.2/E |
| 新潟県中越 | 2004/10/23 | 6.6 | 入広瀬 | 1.01 | UD | 0.9/U |
| 新潟県中越 | 2004/10/23 | 6.6 | 川口町 | 1.71 | EW | 0.5/D |
| 新潟県中越 | 2004/10/23 | 6.6 | 十日町 | 1.18 | NS | 4.8/D |
| 新潟県中越 | 2004/10/23 | 6.6 | 山古志村 | 1.08 | UD | 0.5/D |
| 新潟県中越 | 2004/10/23 | 6.6 | 山古志村 | 1.33 | EW | 4.3/D |
| 新潟県中越 | 2004/10/23 | 6.9 | NG021 | 1.75 | NS | 5.2/C |
| 新潟県中越 | 2004/10/23 | 6.6 | 三日月町 | 1.01 | NS | 0.9/U |
| 新潟県中越 | 2004/10/23 | 6.6 | 十日町 | 1.15 | EW | 12.9/C |
| 宮城県沖 | 2005/8/16 | 7.2 | 生田アレ2 | 1.79 | NS | 49.8/B |
| 宮城県沖 | 2005/8/16 | 7.2 | 牛監アレ4 | 1.03 | NS | 49.7/B |
| 宮城県沖 | 2005/8/16 | 7.2 | 牛監アレ5 | 1.05 | NS | 49.7/B |
| 宮城県沖 | 2005/8/16 | 7.2 | 牛監アレ6 | 1.12 | NS | 49.7/B |
| Kinojo Bay, HI | 2006/10/15 | 6.7 | Waimea Fire Station | 1.05 | EW | 51.7/D |
| 當手・宮城内陸 | 2008/6/13 | 6.3 | ACTH04 | 2.5 | EW | 18.2/C |
| 當手・宮城内陸 | 2008/6/13 | 6.3 | ACTH04 | 1.12 | UD | 18.2/C |
| 當手・宮城内陸 | 2008/6/13 | 6.8 | IWT025 | 1.46 | EW | 5.81/C |
| 當手・宮城内陸 | 2008/6/13 | 6.8 | IWT025 | 3.94 | UD | 5.81/C |
| 當手・宮城内陸 | 2008/6/13 | 6.8 | IWT026 | 1.06 | EW | 14.8/C |

3.2 最大加速度が 1g を越える大加速度記録(その 2)

| 地震名 | 日付 | Mw | 震動点 | 最大加速度(g) | 成分 | 断層距離(km) | 地盤 |
|------------------|-----------|-----|---------------------------------|------------|--------|----------|----|
| Dorfield, NZ | 2010/9/4 | 7.1 | Greendale | 1.31 UD | 0.8D | | |
| Christchurch, NZ | 2011/2/22 | 6.3 | Pages Road Pumping Station | 1.38 UD | 2.5E | | |
| Christchurch, NZ | 2011/2/22 | 6.3 | Heathcote Valley Primary School | 2.21 UD | 4C | | |
| Christchurch, NZ | 2011/2/22 | 6.3 | Heathcote Valley Primary School | 1.71 N/16E | 4C | | |
| Christchurch, NZ | 2011/2/22 | 6.3 | Hulverstone Dr Pumping Station | 1.03 UD | 3.9E | | |
| 東北地方太平洋沖 | 2011/3/11 | 9 | K-NET 海底 | 2.76 NS | 87.1C | | |
| 東北地方太平洋沖 | 2011/3/11 | 9 | K-NET 築館 | 1.92 UD | 87.1C | | |
| 東北地方太平洋沖 | 2011/3/11 | 9 | K-NET 鹿島 | 2.75 NS | 96.2C | | |
| 東北地方太平洋沖 | 2011/3/11 | 9 | K-NET 盛金 | 2.01 EW | 74.5C | | |
| 東北地方太平洋沖 | 2011/3/11 | 9 | K-NET 佐野 | — | 83.2D | | |
| 東北地方太平洋沖 | 2011/3/11 | 9 | 七北田中学校 | 1.89 EV | 83.2D | | |
| 東北地方太平洋沖 | 2011/3/11 | 9 | 七北田中学校 | 1.91 UD | 83.2D | | |
| 東北地方太平洋沖 | 2011/3/11 | 9 | 高萩市 | 1.68 NS | 51.4D | | |
| 東北地方太平洋沖 | 2011/3/11 | 9 | K-NET 日立 | 1.63 NS | 51.6D | | |
| 東北地方太平洋沖 | 2011/3/11 | 9 | K-NET 日立 | 1.19 UD | 51.6D | | |
| 東北地方太平洋沖 | 2011/3/11 | 9 | K-NET 日立 | 1.55 UD | 78.9C | | |
| 東北地方太平洋沖 | 2011/3/11 | 9 | K-NET 日立 | 1.55 UD | 65.2C | | |
| 東北地方太平洋沖 | 2011/3/11 | 9 | 鶴壁大原山方支所 | 1.52 NS | 65.2C | | |
| 東北地方太平洋沖 | 2011/3/11 | 9 | 城里町 | 1.51 UD | 64.6D | | |
| 東北地方太平洋沖 | 2011/3/11 | 9 | 小名浜港務所 | 1.46 UD | 48.3D | | |
| 東北地方太平洋沖 | 2011/3/11 | 9 | K-NET 鎌田 | 1.38 NS | 71.0 | | |
| 東北地方太平洋沖 | 2011/3/11 | 9 | 餘石町 | 1.31 EV | 87.6D | | |
| 東北地方太平洋沖 | 2011/3/11 | 9 | 白河 | 1.32 NS | 94.3D | | |
| 東北地方太平洋沖 | 2011/3/11 | 9 | 雄勝村 | 1.32 UD | 56.1D | | |
| 東北地方太平洋沖 | 2011/3/11 | 9 | K-NET 大宮 | 1.31 NS | 62.2D | | |
| 東北地方太平洋沖 | 2011/3/11 | 9 | 二本松市立幼稚園 | 1.26 EW | 82.0C | | |
| 東北地方太平洋沖 | 2011/3/11 | 9 | 二本松市立幼稚園 | 1.24 EW | 70.3C | | |
| 東北地方太平洋沖 | 2011/3/11 | 9 | K-NET 木 | 1.23 EW | 76.9C | | |
| 東北地方太平洋沖 | 2011/3/11 | 9 | K-NET 岩木 | 1.22 UD | 83.9D | | |
| 東北地方太平洋沖 | 2011/3/11 | 9 | K-NET 桃陵 | 1.22 UD | 77.1D | | |
| 東北地方太平洋沖 | 2011/3/11 | 9 | 雄田野市 | 1.21 EW | 117.1D | | |
| 東北地方太平洋沖 | 2011/3/11 | 9 | K-NET 今市 | 1.21 EW | 92.2C | | |
| 東北地方太平洋沖 | 2011/3/11 | 9 | 二本松市 | 1.21 EW | 49.7D | | |
| 東北地方太平洋沖 | 2011/3/11 | 9 | K-NET 佐野 | 1.14 NS | 51.1C | | |
| 東北地方太平洋沖 | 2011/3/11 | 9 | 高岡町 | 1.12 UD | 77.1E | | |
| 東北地方太平洋沖 | 2011/3/11 | 9 | 七郷中学校 | 1.11 NS | 100.9C | | |
| 東北地方太平洋沖 | 2011/3/11 | 9 | K-NET 朝日 | 1.09 EW | 108.0C | | |
| 東北地方太平洋沖 | 2011/3/11 | 9 | K-NET 佐野 | 1.04 UD | 103.0C | | |
| 東北地方太平洋沖 | 2011/3/11 | 9 | 須賀川市立音頭支所 | 1.03 NS | 94.5C | | |
| 東北地方太平洋沖 | 2011/3/11 | 9 | 須賀川市立音頭支所 | 1.07 UD | 94.5C | | |
| 東北地方太平洋沖 | 2011/3/11 | 9 | 川内市立高船 | 1.07 UD | 62.4D | | |
| 東北地方太平洋沖 | 2011/3/11 | 9 | K-NET 佐倉 | 1.06 NS | 68.2D | | |
| 東北地方太平洋沖 | 2011/3/11 | 9 | K-NET 佐倉 | 1.03 NS | 77.9C | | |
| 東北地方太平洋沖 | 2011/3/11 | 9 | 金前市 | 1.02 NS | 68.0D | | |
| 東北地方太平洋沖 | 2011/4/14 | 6.2 | K-NET 藤崎 | 1.43 UD | 2.3D | | |
| 熊本 | 2016/4/16 | 7 | K-NET 鹿児島 | 1.18 EW | 2.3D | | |
| 熊本 | 2016/4/16 | 7 | 南阿蘇村医療庁舎 | 1.19 NS | 2.5D | | |
| 熊本 | 2016/4/16 | 7 | 大分山技術校 | 1.78 EW | 6D | | |
| 熊本 | 2016/4/16 | 7.8 | PINNS, Pedemalas | 1.93 EW | 21U | | |
| Muisne, Ecuador | 2016/4/16 | 7.8 | APED, Pedemalas | 1.41 EW | 20D | | |
| Muisne, Ecuador | 2016/4/16 | 7.8 | APED, Pedemalas | 1.41 EW | 20D | | |

| 地震名 | 日付 | Mw | 震動点 | 最大速度(cm/s) | 成分 | 距離(km) | 地盤 |
|------------------------|------------|-----|-------------------------------|------------|--------|--------|----|
| San Fernando, CA | 1971/2/9 | 6.6 | Pacoma Dam Abutment | 1.14 | N/64E | 1.8A | |
| Tahara, Iran | 1978/9/15 | 7.4 | Takabas | 1.11 | N/34E | 2.1B | |
| Imperial Valley, CA | 1979/10/15 | 6.5 | El Centro Array | 1.13 | N/20E | 1.4D | |
| Imperial Valley, CA | 1979/10/15 | 6.5 | El Centro Array | 1.13 | N/20E | 0.1D | |
| Imperial Valley, CA | 1979/11/24 | 6.5 | Meloland Overpass | 1.15 | FN | 0.6D | |
| Superstition Hills, CA | 1987/11/24 | 6.5 | Parachute Test Site | 1.26 | FP | 1D | |
| Ezinean, Turkey | 1992/3/13 | 6.7 | Erzincan | 1.02 | N/189E | 4.4D | |
| Cape Mendocino, CA | 1992/4/25 | 7 | Cape Mendocino | 1.26 | NS | 7C | |
| Landers, CA | 1992/6/28 | 7.3 | Lawerne | 1.46 | N/20E | 2.2C | |
| Northridge, CA | 1994/1/17 | 6.7 | Newhall Pico Canyon | 1.17 | FN | 6.5D | |
| Northridge, CA | 1994/1/17 | 6.7 | Sylmar Converter Station | 1.34 | FN | 5.4D | |
| Northridge, CA | 1994/1/17 | 6.7 | Sylmar-Converter Station East | 1.22 | FN | 5.2C | |
| Northridge, CA | 1994/1/17 | 6.7 | Sylmar County Hospital | 1.22 | FN | 5.3C | |
| Northridge, CA | 1994/1/17 | 6.7 | Newhall Pico Canyon | 1.18 | FN | 5.9D | |
| 尼亞那南部 | 1995/1/17 | 6.9 | DR 脊取 | 1.76 | FN | 1.5D | |
| 尾壁風箇部 | 1995/1/17 | 6.9 | 強戸 JMA | 1.34 | FN | 1D | |
| Chi-Chi, Taiwan | 1995/9/20 | 7.6 | CHY080 | 1.09 | EW | 2.7C | |
| Chi-Chi, Taiwan | 1999/9/20 | 7.6 | CHY101 | 1.09 | NS | 10C | |
| Chi-Chi, Taiwan | 1999/9/20 | 7.6 | TCU052 | 2.21 | NS | 0.7C | |
| Chi-Chi, Taiwan | 1999/9/20 | 7.6 | TCU052 | 1.69 | UD | 0.7C | |
| Chi-Chi, Taiwan | 1999/9/20 | 7.6 | TCU065 | 1.32 | EW | 0.6D | |
| Chi-Chi, Taiwan | 1999/9/20 | 7.6 | TCU068 | 2.92 | NS | 0.3C | |
| Chi-Chi, Taiwan | 1999/9/20 | 7.6 | TCU068 | 2.99 | UD | 0.3C | |
| Chi-Chi, Taiwan | 1999/9/20 | 7.6 | TCU075 | 1.16 | EW | 0.9C | |
| Chi-Chi, Taiwan | 1999/9/20 | 7.6 | TCU084 | 1.16 | EW | 112C | |
| 東北地方本震 | 2000/10/6 | 6.7 | ITR02 | 1.94 | NS | 1D | |
| 東北地方本震 | 2000/11/3 | 7.9 | Pump Station 10 | 1.57 | FP | 2.7D | |
| Densai, AK | 2003/12/26 | 6.6 | Bam | 1.21 | NOD8E | 1.5C | |
| Bam, Iran | 2004/10/23 | 6.6 | NG019 | 1.29 | EW | 4.32D | |
| 新潟県中越 | 2004/10/23 | 6.6 | 川口町 | 1.54 | EW | 0.5D | |
| 新潟県中越 | 2004/10/23 | 6.6 | 山古志村 | 1.16 | EW | 2D | |
| 新潟県中越 | 2004/10/23 | 6.6 | 新川口 | 1.52 | EW | 0.1D | |
| Deridder, LA | 2010/9/4 | 7.1 | Greendale | 1.15 | FN | 0.8D | |
| Deridder, LA | 2011/3/11 | 9 | Kik-net 鎌江 | 1.10 | EW | 54.7D | |
| 東北地方太平洋沖 | 2011/3/11 | 9 | 七郷中学校 | 1.13 | NS | 77E | |
| 東北地方太平洋沖 | 2011/3/11 | 9 | 名取市 | 1.07 | NS | 78.0E | |
| 東北地方太平洋沖 | 2011/3/11 | 9 | 新川口 | 1.02 | NS | 87.1C | |
| 東北地方太平洋沖 | 2011/3/11 | 9 | 栗原市若柳支所 | 1.00 | NS | 81.3D | |
| 熊本 | 2016/4/14 | 6.2 | 玉名町役場 | 1.36 | EW | 2D | |
| 熊本 | 2016/4/16 | 7 | 玉名町役場 | 1.77 | EW | 2.3D | |
| 熊本 | 2016/4/16 | 7 | 鹿児島市役所 | 1.27 | EW | 0.4D | |
| 熊本 | 2016/4/16 | 7 | 直原町役場 | 1.29 | EW | 4.1E | |
| 熊本 | 2016/4/16 | 7 | 阿蘇町役場 | 1.27 | NS | 2.5D | |
| Muisne, Ecuador | 2016/4/16 | 7 | 直原町村役場 | 1.30 | NS | 11.5D | |

る。2.2g を示した 2011 年クライストチャーチ地震での Heathcote 小学校での記録も KIK-net 一観西の記録と類似の非対称な波形を示しており、いずれにせよ同様の原因で生じたものと推察される。2.4g を示した 1985 年ナヘンニ地震での上下動記録は片側に 1 倍だけ大きな速度があり (Hadjibrech et al., 1988),これを除くと最大加速度は 1g 程度である。なお、1.5 ~ 2 g の上下動最大加速度を記録した 4 録音のうちの 2つ (1992 年メントシーナ岬地震の Cape Mendocino, 2011 年クライストチャーチ地震の Pages Road Pumping Station) も片側に 1 倍だけ大きな加速度を示すものである。

以上より、1g を越える最大加速度は、1) 水平動に比べて上下動の方が傾斜事例が少ないこと、2) 水平動では M5 程度以上の地震で震源断層から 20 km 程度以内の硬質ないし中間的な地盤の場合が多いこと、3) 上下動では M6 以上の地震で震源断層にはより遠くでも発生する場合があること、4) 巨大地震の場合には特別の要因がありそうなること、が指摘できる。

水平動の最大速度と地震規模、震源距離からの距離の関係を図 3.35 に示す。M6.5~9.0 の

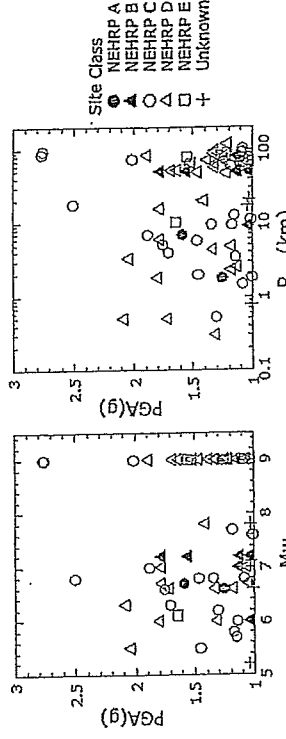


図 3.33 大震度記録の水平最大加速度と距離との関係

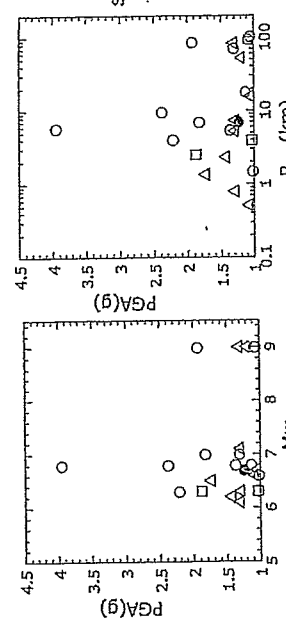


図 3.34 大震度記録の上・下最大加速度と距離との関係

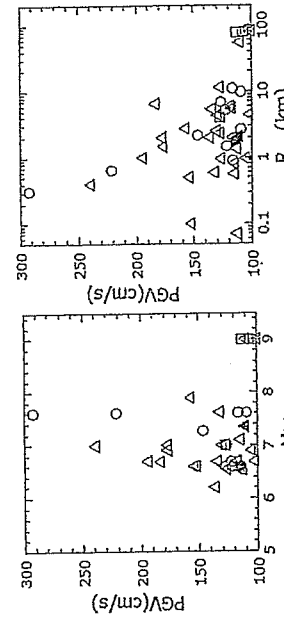


図 3.35 大震度記録の水平最大速度と距離との関係

地盤の 44 記録で 100 cm/s 以上の最大速度が観測されている。地盤別 A や B の岩盤の場合には 2 個で最大速度の記録に比べてさらに割合が少なくなっている。最大速度振幅に地盤別はみられないが、距離依存性がみられる。 200 cm/s を越えるものは 1999 年台湾・集集地震の記録 (TCU052, TCU068) および 2016 年熊本地震の西原村の記録で、断層から 1 km 以内の距離にある。 150 cm/s を越えるものは断層から 5 km 程度以内、 100 cm/s を越えるものは M9 の東北地方太平洋沖地震でのものを除けば 10 km 程度以内の距離にある。以上より、 100 cm/s を越える水平最大加速度は、1) M6.5 程度以上の地震で震源断層か

ら 10 km 程度以内の地盤上の観測点で発生していること、2) 断層のごく近傍では 200 cm/s を越える場合もあること、3) 滞れおよびその附近で観測された地震記録はより遅くでも発生していること、3) 断層のごく近傍では 200 cm/s を越える場合もあること、が指摘できる。

大震度記録と大震度記録を比べると、大震度記録が $M5$ 程度以上の地震でみられるのにに対して大震度記録は $M6.5$ 以上でないとみられず、このことは最大速度を決定づける比較的長い周期成分は地震現象がある程度大きないと卓越しないことに対応しているものと考えられる。また、大震度記録にはみられる距離依存性が大加速度の記録にはみられない。この理由のひとつとして、大速度の振幅は震源からの直達波で決まるのに対して、大加速度の振幅は震源から観測点までに幾々な経路で到達する地震波が重ね合わることで距離がやや離れたところでも生ずる場合があることが可能性として考えられる。

文 献

- 1) Anderson, J.: Sources and Site Characteristics of Earthquakes That Have Caused Exceptional Ground Accelerations and Velocities, Bull. Seism. Soc. Am., Vol.100, pp.1-36, 2010.
- 2) Heidebrecht, A. and N. Naumoski: Engineering Implications of the 1985 Nobi-ni Earthquakes, Earthquake Engineering and Structural Dynamics, Vol.16, pp.675-690, 1988.
- 3) Housner, G.: Intensity of Earthquake Ground Shaking near the Causative Fault, Proc. of the Third World Conference on Earthquake Engineering, Vol.1, pp.III9-III109, 1965.
- 4) Strasser, F. and J. Bonner: Large-amplitude Ground-motion Recordings and Their Interpretations, Soil Dynamics and Earthquake Engineering, Vol.29, pp.1305-1329, 2009.

強震記録にみられる地震動の特性

図 4.1 地震記録による地震動の特徴

地震の発生とともに地下深くの震源から地震波が生ずる。この地震波は地盤やマントルを伝播して観測点直下の深部にある岩盤(地震基盤)に到達する。ここで、地震基盤とは、それより深い部分では断層の変化が小さい位置に、逆に言えば、それより浅いところにある地盤の構造が大きく変化する位置に、設定されるものである。したがって、震源から地盤基盤まで伝播する間で地震波に大きな変化が現れにくいために対して、地震基盤から地表まで伝播する間では、地震波は、地盤内で構造の変化により生ずる反射屈折を繰り返して、その特性は大きく変化する。地震基盤は、典型的には S 波速度で 3 km/s 程度の地盤の最上層が考えられ、その深さは関東平野などの大規模平野では数 km となる。このような深い地盤までの地震の構造を詳細に調査することは簡単ではないので、便宜的に地震基盤の代用として、N 値 50 以上の地層(S 波速度で 400 m/s 程度)や第三紀の軟岩(S 波速度で 700 m/s 程度)を工学的の基盤と呼んで用いられる場合もある。

図 4.1 に地震波が震源から観測点に至る過程を模式的に示す。そこで、地震動の特性は、震源から発生する地盤波の特性(震源特性)、震源から地盤基盤までに地震波が伝播する間に生ずる特性(伝播特性)、地盤の震動特性(地盤特性)、の 3 つに分離して考えることができる。以下に、これら 3 つの特性について説明する。

地下深部の岩盤のひずみが限界を越え、断層面を境に岩盤が破壊して、すべりを生ずることにより、地震が発生する。この破壊現象は断層運動と呼ばれ、それを説明するために図 4.2 によると、震源地盤が震源から観測点に至る過程

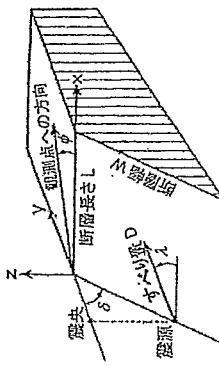


図 4.2 断層モデルの概要図

に示すような断層モデルが採用されている。図の x 軸方向および y 軸方向をそれぞれ断層面の走向方向および傾斜方向と呼ぶ。図の L は断層面の長さ、W は幅、δ は傾斜角、これにより断層面の幾何学的形状が規定される。また、D は断層運動によるすべり量、入はすべりの方向で、断層面のすべりを規定するものである。以上のパラメータは滑的パラメータと呼ばれる。

断層面上でのすべりは、断層面全体で同時に発生するわけではなく、ある点(震源)からすべり始めて、すなわち破壊が始まって、破壊が断層面全体にある速度で伝わっていく。この速度を破壊伝播速度 V_p と呼ぶ。また、断層面状のある点でのすべりはすべり始めてからある時間をかけてすべり量 D に達する。これをすべりの立ち上がり時間 τ_p と呼ぶ。これらは滑的パラメータと呼ばれ、前述の滑的パラメータとあわせて、これらのパラメータにより断層モデルが規定できる。

これらの断層パラメータには、おおまかに以下の関係がみられる。

$$\log L = 0.5M - 1.9 \quad (4.1)$$

$$L = 2W \quad (4.2)$$

$$D/L = \text{一定} (5 \times 10^{-5} \text{程度}) \quad (4.3)$$

$$D/\tau_p = \text{一定} (1 \text{m/s 程度}) \quad (4.4)$$

$$V_p = \text{一定} (0.7 \sim 0.8V_p \text{程度}) \quad (4.5)$$

ここで V_p は断層面のせん断波速度である。したがって、おおよその目安として、M(地震規模)が 6, 7, 8 の地震に対して、断層長さはそれぞれ 12 km, 40 km, 120 km 程度、断層幅はそれぞれ 6 km, 20 km, 60 km 程度、すべり量はそれぞれ 0.6 m, 2 m, 6 m 程度、すべりの立ち上がり時間はそれぞれ 0.6 秒, 2 秒, 6 秒程度となる。

このように、1) 震源はではなく断層面という大きさを持つものであること、2) 断層面での破壊は、断層面の長さや幅が大きく、大きなすべりを生ずるものであること、3) 断層面の各所から時間差を持って断出されること、がわかる。これらの性質は震源近傍での強震記録に大きな影響を与える。

1) から、大地震では、長い波長すなわち長い周期の地震波が発生しやすくなり、継続時間も長くなることが予想され、観測された強震記録にもこのような性質が表れている。図 4.3 は、岩盤の観測点で得られた M3.1 から 8.1 までの地震の記録の複数点をスケールである。

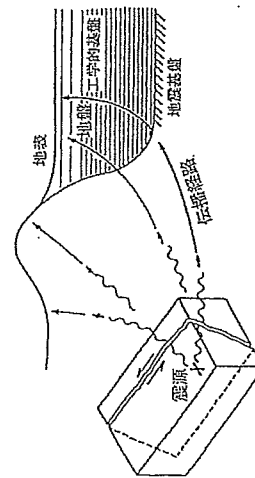


図 4.1 地震波が震源から観測点に至る過程

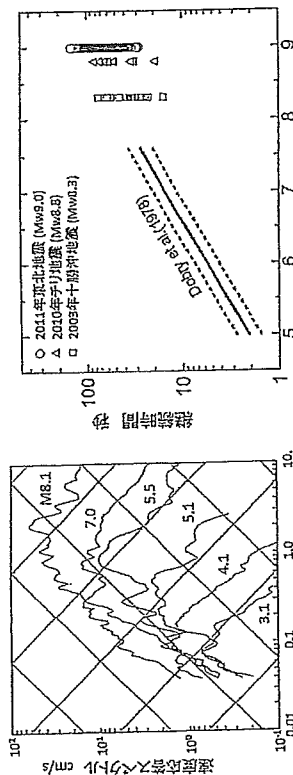


図 4.3 地震規模によるスペクトルの変化
(Anderson and Quaas, 1988)

M3.1 の記録では、速度応答スペクトルは周期 0.1 秒程度以上から低下するが、M5.5 の記録では周期 1 秒程度まで一定となる。さらに、M8.1 の記録では、速度応答スペクトルは周期 5 秒程度まで一定となる。このように地震規模 M の増大とともにスペクトルが長周期化する。

継続時間については、例えば、図 4.4 に示すように、M8.3 の地震で 40 秒前後であるのにに対して、M9 の地震では 100 秒弱前とさすらに長くなる。図には M7.6までのカリフォルニアの地震の記録から得られた継続時間と M の関係 (Dobry et al., 1978) を実線で、標準誤差を点線で示す。この関係では、継続時間は M5 で 2 秒、M7.5 で 25 秒程度である。M8.3～9.0 の地震の記録はこの関係の延長線上にあり、継続時間の対数と M は広い M の範囲でおおむね継続時間に直線関係がある。なお、ここで継続時間の定義は、加速度の全エネルギーの 5%から 95%まで (エネルギーの 90%が集中する) 区間である。

2) の破壊伝播によって地震波は断層面の各所から時間差を持つて射出され、破壊が近づく方向に位置する観測点と遠ざかる方向に位置する観測点では地盤動の特性が異なる。図 4.5 に示すように、始直な断層面上で波が図の左から右の方向に射出されると仮定して、これらを重ね合わせて断层面の各要素から射出される地震波が等方的に射出されると仮定して、これらを重ね合わせて

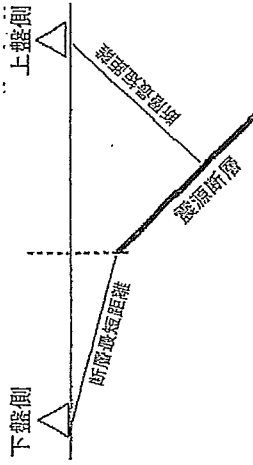


図 4.6 断層の上盤側および下盤側の模式図

地震動の包络線を計算すると、破壊が近づく方向にある観測点 A では、断層面の各要素からの地震波が短い時間差で到達するために重なり合い、振幅は大きく、継続時間は短くなり、波形はペルス的になる。一方、破壊が遠ざかる方向にある観測点 C では、断層面の各要素からの地震波がより大きな時間差で到達するために重なり合いが弱まり、振幅は小さく、継続時間は長くなり、波形はペルス的でなく、だらだらと続くものとなる。

このように断層破壊伝播効果により大振幅の地震動が生ずることをデイレクティビ効果と呼ぶ (Sommerville et al., 1997)。この効果は、3.1 節で述べたように、1979 年インペリアルバレー地震や 1995 年兵庫県南部地震などの地震の際に震源近傍で観測された強震記録にみられ、飛躍的な地震動が生ずる大きな要因のひとつとして認識されている。図 4.6 に示すように、断層面が傾斜している側にある地震波を上盤、逆側の地震波を下盤といふ。上盤側では直下に断層面が位置するため、各要素からの距離がほぼ等距離で、各要素が到達する地震波が直なりやすくなり、地震動が大きくなりやすい。この効果は 1994 年ノースリッジ地震での観測記録で注目された (Abrahamson and Somerville, 1996)。

文

- 1) Abrahamson, N. and P. Sommerville: Effects of the hanging wall and footwall on ground motion recorded during the Northridge earthquake, Bull. Seism. Soc. Am., Vol.86, pp.S53-S59, 1996.
- 2) Anderson, J. and R. Quaas: The Mexico Earthquake of September 19, 1985 - Effect of Magnitude on the Character of Strong Ground Motion: An Example from the Guerrero, Mexico Strong Motion Network, Earthquake Spectra, Vol.4, pp.635-646, 1988.
- 3) Dobry, R. et al.: Duration characteristics of horizontal components of strong motion earthquake records, Bull. Seism. Soc. Am., Vol.68, pp.1487-1520, 1978.
- 4) Sommerville, P., N. Smith, R. Graves and N. Abrahamson: Modification of empirical strong ground motion attenuation relations to include the amplitude and duration effects of rupture directivity, Seismol. Res Lett., Vol.68, pp.199-222, 1997.

4.3 伝播特性

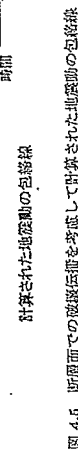


図 4.5 断層面での放散伝播を考慮して計算された地盤動の包絡線

震源から射出された地震波は地盤などで四方に広がりながら伝播し、距離とともに振幅は減衰していく。地震波の減衰は、要因によって幾何減衰、粘性減衰、散乱減衰の 3 種類に分

けられる。幾何減衰は、地震波が伝播するのにともなって波面が広がり、面積当たりの地震波のエネルギーが薄まることがある。断性減衰は、地震波が伝播する媒質の粘弹性の性質によって地震波のエネルギーが吸収されるために生じ、微乱減衰は媒質の不均質な構造により地震波が散乱するために起くる。媒質の粘性減衰と微乱減衰を総合して測定結果から分離して評価することが困難なことから、両者を合わせたものを広義の粘性減衰と呼ぶことが多い。点震源から射出された波動の伝播を考えると、地震波の振幅 (X) の距離 (Y) による減衰は次式のように表現できる。

$$Y = Y_0 X^{-n} 10^{-k_x} \quad (4.6)$$

上式右辺の第 2 項が幾何減衰を、第 3 項が媒質の粘性および散乱による減衰を表す。幾何減衰の係数 n は半無限媒質では実体波に対して 1 をとるので、この値がよく用いられる。粘性や散乱による減衰係数 k_x は地盤特性や周期特性があるものの、 $0.003 \text{ (km}^{-1})$ 前後の値をとる場合が多い。したがって、 k の影響は距離が 100 km 程度を上回らないと顕著には現れない。

(4.6) 式は点震源の場合のものであるが、震源までの距離が近づくと震源を点とみなせなくなり、距離の定義が問題となる。前述のように、地震の際にはある大きさを持った断層面から地震波が発生する。震源は断層面上の破壊が開始した点に過ぎず、震源距離が震源全体である断層面からの距離を代表するものとは限らない。そこで、距離の定義として、図 4.7 に示すように、震源距離や震央距離以外に、主破壊から他の距離、断層面からの最短距離、断層面の地震波伝播線からの最短距離などがある。震源の違いによって距離の値に大きな違いが生ずることがわかる。これらのうちで、断層面からの最短距離（断層面最近距離）が簡潔なことからよく用いられるが、より合理的な距離の定義については議論の余地がある。

浅い地震で距離が比較的近い場合には伝播経路を半無限媒体と仮定できるため、上述のように、点震源に対する伝播経路での地震波の減衰は単純な減衰特性を示す場合がある。例い地震の場合には伝播経路が均一な媒体とはみなせず複雑な減衰特性を示す場合がある。

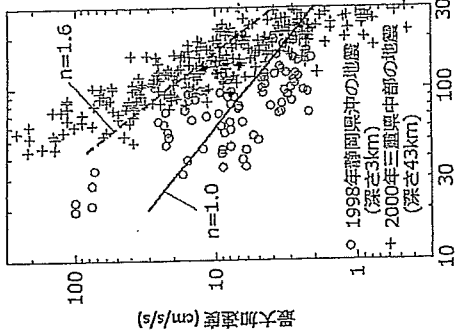


図 4.8 深い地震とやや深い地震の距離減衰

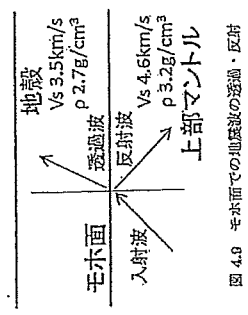


図 4.9 モホ面での波の透過・反射

例えば、わが国で発生する深い地震においては、必ずしも震源の直上で震度が最大とならず、太平洋沿岸に沿つて震度分布が南北に伸びて、大きな震度を示す場合がみられる。この原因として、強震配管の解折から、深い地殻の断層から射出された地震波が伝播する上部マントルでの地震波の減衰度合いが場所によって異なることが指摘されている（中村・抵抗、2002）。

また、深い地震では震源距離による減衰が浅い地震に比べて遙くなることも強震配管から指摘されている。図 4.8 は深い地震である 1998 年静岡県沖の地震 ($Mw5.5$ 、震源深さ 3 km) とやや深い地震である 2000 年三重県中部の地震 ($Mw5.5$ 、震源深さ 43 km) の最大加速度の距離減衰を比較したものである。深い地震では最大加速度は距離と反比例して減衰しているのに対して、やや深い地震では減衰の度合いが大きい。

様々な深さを持つ日本の地震で同様の検討を行つたところ、幾何減衰を表す係数 n は深さ 30 km 以浅の地震では平均的に 1.0 の値を、それより深い地震では、図 4.9 に示すように、地震波がモホ面（地殻と上部マントルの境界）より深い地殻では、図 2002)。

一方、距離が大きくなつても地殻動があまり減衰しない場合も西日本で報告されている。これは、距離が大きくなると、地殻とモホ面の間を多重反射しながら一極の表面波（P 波）が発生し、これにより振幅が小さくなりにくいためと説明されている (Furumura and Kennett, 2001)。

文 献

1) Furumura, T. and B. L. N. Kennett: Variations in Regional Phase Propagation in the Area

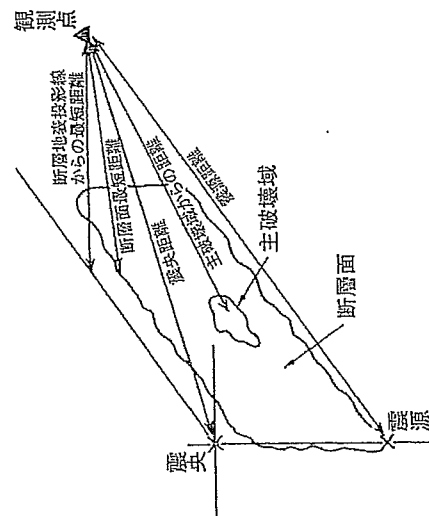


図 4.7 地震からの距離の定義

4.4 地盤特性

around Japan, Bull. Seism. Soc. Am., Vol.91, pp. 667-682, 2001.

(4) 葉川三郎・大竹一雄: 鹿島灘さによる距離距離特性の違いを考慮した震度加速度・最大速度の距離減衰式, 第11回日本地震工学シンポジウム論文集, pp.117.1-117.6, 2002.

(5) 中村亮一・大竹一郎: 加速度距離震度計配分を用いた日本列島下の三次元波浪構造トモグラフィー, 地震, Vol.54, pp.475-488, 2002.



震源から伝播してきた地震波は、震測点付近の深部にある岩盤に到達し、岩盤と地表との間で震度を観測され、その結果、地表で震度を観測される。図 4.10 のように、震度 P_1 、波動伝播速度 v_1 の岩盤の上に、震度 P_2 、波動伝播速度 v_2 の表面地盤が覆っている 2 層地盤を考える。岩盤から表層地盤に透過する透過波と境界面で反射する反射波が生ずる。入射波、反射波および透過波の振幅をそれぞれ A_0 、 A'_1 および A_1 とするとき、境界面での反射と透かしの連続条件から、以下の関係が得られる。

$$A' = (1 - \alpha) / (1 + \alpha) A \quad (4.7)$$

卷之三

ここで、 $\alpha = p_2v_2/p_1v_1$ で、 p_1v_1 を波動インピーダンス、 α を透過係数、 $R_1/(1+\alpha)$ を反射係数、 $R_2/(1+\alpha)$ を透過係数 S と呼ぶ。なお、地盤のせん断剛性 G

一般に、岩盤の速度 v_1 は表層地盤の速度 v_2 よりも大きく、岩盤の密度 ρ_1 も表層地盤の密度 ρ_2 より大きいので、 $\alpha < 1$ となり、境界面から表層地盤に透過する地震波の振幅 A_1 は入射した波の振幅 A_0 よりも大きくなり、増幅する。このように伝播速度が速い岩盤が伝播すると振幅が増幅する。このとき、地表面では全反射が起こり、地表面での振幅は入射波の 2 倍の $2A_0$ に拡大する。

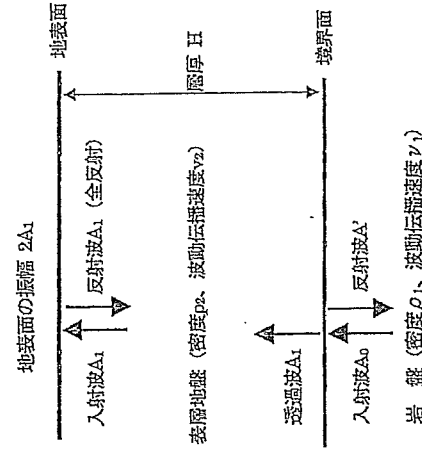


図 1-10 2 次地盤の排水法の医射：透溝

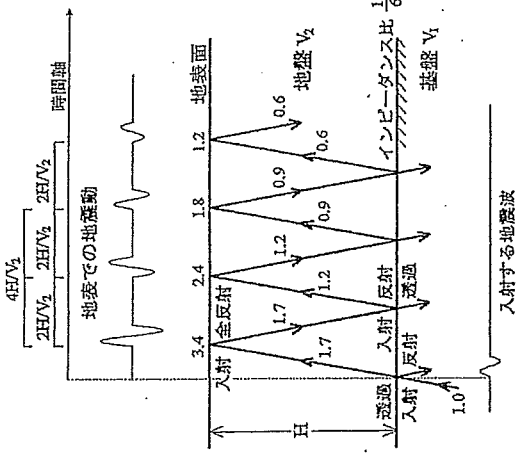


図 4-11 楽器地図での反映：非公式を地図化の変化

となり、地表からの反射波の振幅は入射波と同じ A_1 となる。さらに、この反射波は表面地盤を下降し、境界面で反射・屈折を繰り返す。

図 4.11 は、井盤の上に表層地盤が 1 層存在する 2 層構造を仮定して、 $\alpha = 1/6$ の場合に基盤から単位震幅の正弦 1 波が地盤に入射したときの地震波の反射・屈折の状況を示したものである。地表波は船直下方から地盤に入射し、地盤内を船直に上昇し、地表面で全反射して

を斜めに傾けて示している。インピーダンス比 α が $1/6$ のとき、透湿係数 S は 1.7 となるから、表層地盤への透湿波の振幅は 1.7 で、これが地表に到達し全反射で地表での振幅は 3.4 となる。地表面で全反射した波は 1.7 の振幅を持ち下押し、基盤との境界面で反射する。このとき、表層地盤から岩盤に向かって地盤波が伝播するので、 $\alpha = 6$ となり、反射係数 R は $-5/17$ となり、表層地盤に戻ってくる反射波の振幅は位相が逆転し、振幅は $5/17$ 倍の 1.2 となる。以後、地盤波は表層地盤内を $2E/17$ の時間で往復するが、そのたびに振幅が $5/7$ 倍ずつ減衰するとともに位相が繰り返す。その結果、地表での地震動は図の最上部に示すよ

時間間隔で繰り返すので、 $T = 4H/V_3$ の周期性が生じ、この H が地盤の固有周期がないし卓越周期と呼ぶ。なお、実際には、表面の地震波は 1 層ではなく多層の場合が多く、地震波は地盤内でも反射・屈折を繰り返すが、その原理は 2 層地盤の場合と同様である（例えば、幡、1989）。このような地盤特性の影響については、地震動の比震強度により、地震観測が始まった当初から気づかれていた。例えば、大森（1903）は各所で観測された変位記録から地盤による地盤

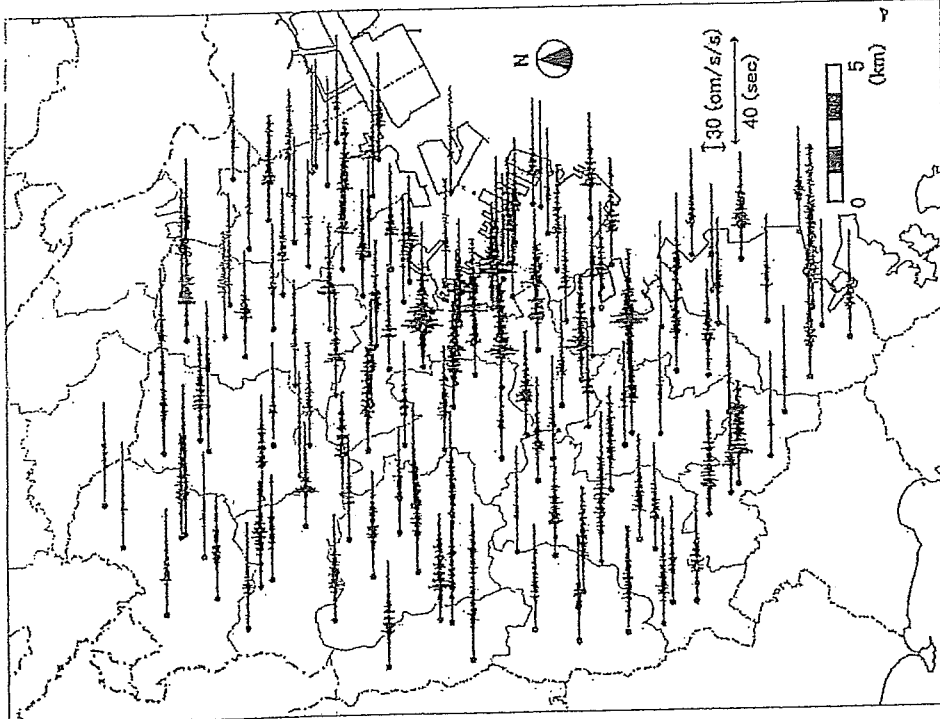


図 4.112 横浜市で観測された加速度波形の比較 (1997 年 5 月 3 日の伊豆半島東方沖) の
地盤 M5.7)

は、横浜市の高強度強震観測網による市内 150 地点での加速度記録の比較である (Midorikawa, 2005)。最大振幅の違いは最大で 10 倍程度ある。各地点での震源距離はあまり変わらないので、地盤特性によって、このような大きさの違いが生じたことを示している。

これらの記録のうち、岩盤上の ABM, IZR, MIM と軟弱地盤上の KHS, NSM, TRK での加速度波形 (NS 成分) の比較を図 4.13 に示す (年純・他, 2000)。最大加速度が岩盤では $4\sim7 \text{ cm/s}^2$ であるのに対して軟弱地盤では $11\sim33 \text{ cm/s}^2$ と大きい。図 4.14 に示す加速度フーリエスペクトルについても、実線で示した岩盤の記録は比較的平坦な形状をしているの

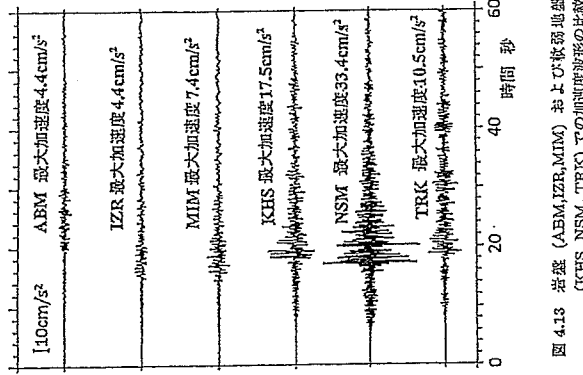


図 4.13 岩盤 (ABM, IZR, MIM) およびひび弱地盤 (KHS, NSM, TRK) の加速度波形の比較

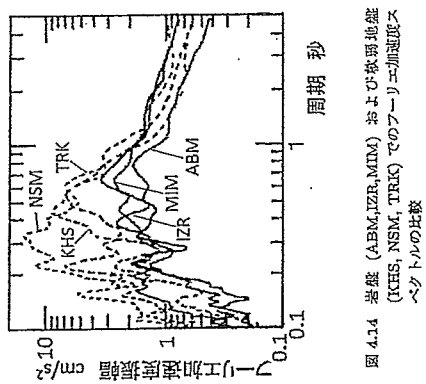


図 4.14 岩盤 (ABM, IZR, MIM) およびひび弱地盤 (KHS, NSM, TRK) のフーリエスペクトルの比較

に対して、点線で示した軟弱地盤上の記録は周期 0.2~0.6 秒にかけて大きなピークを示し、軟弱な地盤によつて地盤動が大きく増幅している。

このような地盤による增幅は、前述のように地盤内での地震波の反射・屈折によるもので、地盤構造がわかられば計算することができます。しかしながら、広い範囲で地盤の振れやすさを評価しようとする場合には、地盤構造についての詳細な情報を必要とせずに簡便な指標のみで評価可能な方法が望まれる。

その後、地盤の S 波速度が測定されるようになり (小林, 1959), 表層地盤の S 波速度と地盤の増幅度に強い相関があることが確認された (鳴, 1977)。現在では、地盤の振れやすさを評価するための簡便な指標として深さ 30 m までの地盤の平均 S 波速度 V_{S30} がよく用いらされている (Borchardt, 2012)。その理由として、図 4.10 で説明したように、1) 表層地盤の S 波速度が遅くなるほど地盤から地盤への透過波の振幅が大きくなり地盤が揺れやすくなること、および 2) 表層地盤が薄い場合には卓越周期が短く広い周期範囲で増幅度が大きくなるので、表層地盤の層厚を反映した、ある程度の深さまでの平均的な S 波速度が重要となることが指摘できる。

地盤の増幅度と平均 S 波速度の関係は、米国や日本の地震記録の分析により 1990 年代か

ら提案されている(例えば, Borcherdt et al., 1991; Boore et al., 1993; Midorikawa et al., 1994)。一例として、藤本・翠川(2006)は近接する観測点ペアの地震記録を用いて、最大速度に対する地盤の増幅度 Fv を抽出し、それと深さ 30 m までの平均 S 波速度 V_{S30} (m/s) との関係を下式のように示している。

$$\log Fv = 2.367 - 0.8521 \log V_{S30} \quad (4.9)$$

この式では、 $V_{S30} = 600\text{m/s}$ のとき $Fv = 1$ となるので、 $V_{S30} = 600\text{m/s}$ の地盤を基準としていることになる。 $\log V_{S30}$ に係る係数が増幅度の V_{S30} 依存性を示しており、この式では係数は -0.85 であり、 V_{S30} が $1/2$ になると増幅度は 1.8 倍になることを示している。なお、他の研究でも、この係数は現震時で $-0.7\sim0.9$ と、同様の値が得られている(翠川・他, 2008)。

最大加速度に対する地盤の増幅度については、この係数に振幅依存性がみられ、弱震時で -0.77 、強震時で -0.4 程度と最大速度の場合に比べて小さい(藤本・翠川, 2006)。他の研究でも、強震時ではほぼ 0 という値も得られており(Seyhan and Stewart, 2014)、これは後述する地盤の非線形性の影響で強震時に地盤の増幅度が低下するためと考えられる。

この V_{S30} を地盤調査を行わずに容易に利用できる情報のみから推定するため、表層地質と V_{S30} の対応が検討され、これをを利用して、表層地図から V_{S30} マップが作成されている(例えば, Funal and Tinsley, 1985)。また、近年ではデジタル標高データが世界中で利用可能であることに着目して、標高データから求めた傾斜度と平均 S 波速度との関係を整理して、傾斜度のみから V_{S30} マップを作成することも試みられている(Wald and Allen, 2007)。

日本では全国をカバーする地形・地盤分類メッシュマップ(国土庁・国土地理院, 1992; 若松・他, 2005)が利用できることから、地形・地盤分類から地盤の平均 S 波速度 V_{S30} を推定

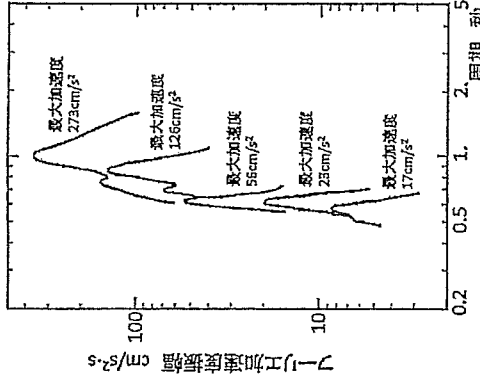


図 4.16 強震レベルによるスペクトルの変化

する方法が提案されている(松岡・他, 2005)。図 4.15 に微地形区分と地盤の平均 S 波速度との関係を示す。傾斜が無い微地形ほど地盤の平均 S 波速度の値が大きく、山地 > 山麓丘陵地 > 台地 > 低地の順となっている。低地については、例えば、自然堤防 > 沿岸低地 > 三角州・海岸低地で平均 S 波速度が大きく、これは各微地形を構成する堆積物の粒径の大きさ順(砂礫 > サンド > 黏土)と概ね対応している。このように、地形・地盤分類等では低地が細分化されているので、表層地質のみを用いるよりは、平均 S 波速度などの地盤の頑健的特性には弱いひずみ依存性が存在し、そのため、大振幅時には地盤特性に非線形が生じ、地盤の特性は現震時とは異なることも指摘されている。図 4.16 は、豊ヶ谷港湾で都測された強震記録のスペクトルを示したものである(時松・翠川, 1988)。最大加速度が 20 cm/s^2 程度の記録の場合には周期 0.5 秒程度で鋭いピークがみられるのにに対して、最大加速度が増大するにつれてピーク周期は伸びていき、最大加速度が 800 cm/s^2 弱の記録ではピーク周期は 1 秒に伸びている。これは、地盤の卓越周期が伸びたためと考えられる。

表層と基盤の 2 層地盤を仮定すると、強震時の地盤の卓越周期 T_0 の伸び具合から地盤のせん断剛性 $G_0(Y_0^2)$ の変化が、強震時の最大速度振幅 V_0 と表層地盤の S 波速度 V_s から表層地盤内の有効ひずみ γ_{eff} の大きさが、それぞれ以下の式で推定できる。

$$G_0/G_0 = (T_0/T)^2 \quad (4.10)$$

$$\gamma_{eff} = 0.4V/V_s \quad (4.11)$$

ここで、 G_0 は微小ひずみ時の地盤の剛性、 T_0 は弱震時の地盤の卓越周期である。軟弱地盤で観測された多数の記録に対してせん断剛性比と有効ひずみを求め、両者の関係をプロット

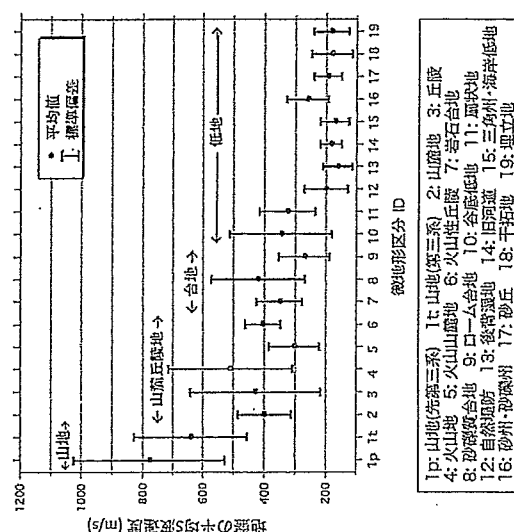


図 4.15 微地形区分と地盤の平均 S 波速度との関係

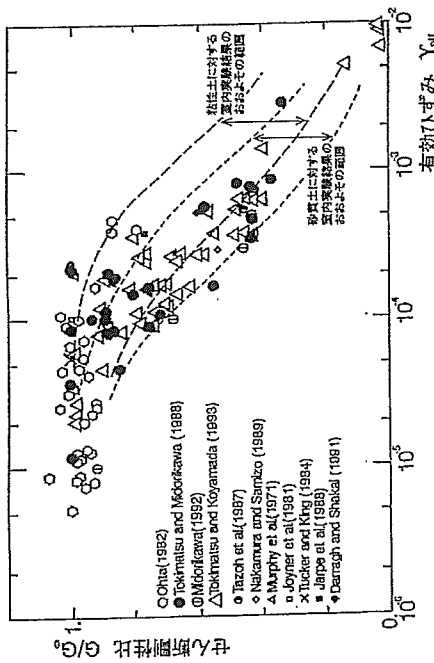


図 4.17 強震記録から推定された地盤のせん断剛性比と有効ひずみの関係

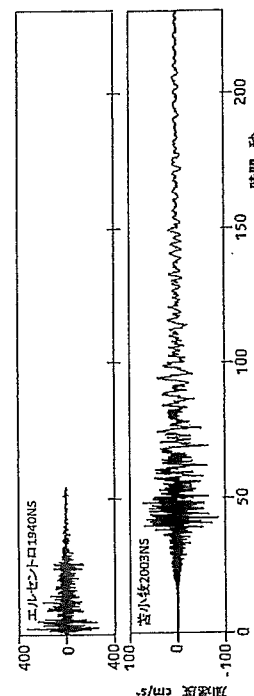


図 4.18 2003 年 1 月沖縄地震での皆小牧と 1940 年のエルセントロの加速度波形の比較

すると、図 4.17 が得られる（翠川、1993）。ひずみが 10^{-4} 程度まではせん断剛性の変化はほとんどみられないが、 10^{-3} ではせん断剛性比は 40% 程度に、 10^{-2} では 10% 以下に低下していいる。この結果は、土の室内実験結果と整合している。地盤内のひずみが大きくなると、地盤の剛性が低下するだけでなく、地盤の減衰が増大しており、卓越周期が短くなると、卓越周期で地盤固有周期が弱震時とは変化する。

したがって、軟弱な地盤で大振幅の地震動を予測する際には地盤の非線形特性の影響を適切に評価することが必要となる。

上述の地盤特性は地盤内を伝播する震波によるものであるが、震源か否かは不明である。その一例として、2003年十勝沖地震時に陸海両方で観測された加速度波形を、1940年エルセントロの記録と比較して図4.18に示す。長期期の震れが長時間継続しており、波形の振幅は異なつたものの、エルセントロの記録に比べて、長期期の震れが長時間継続により苦小牧では大型石油タンク内の石油がスロッキングを起こし、大規模なタンク火災を引き起こした。

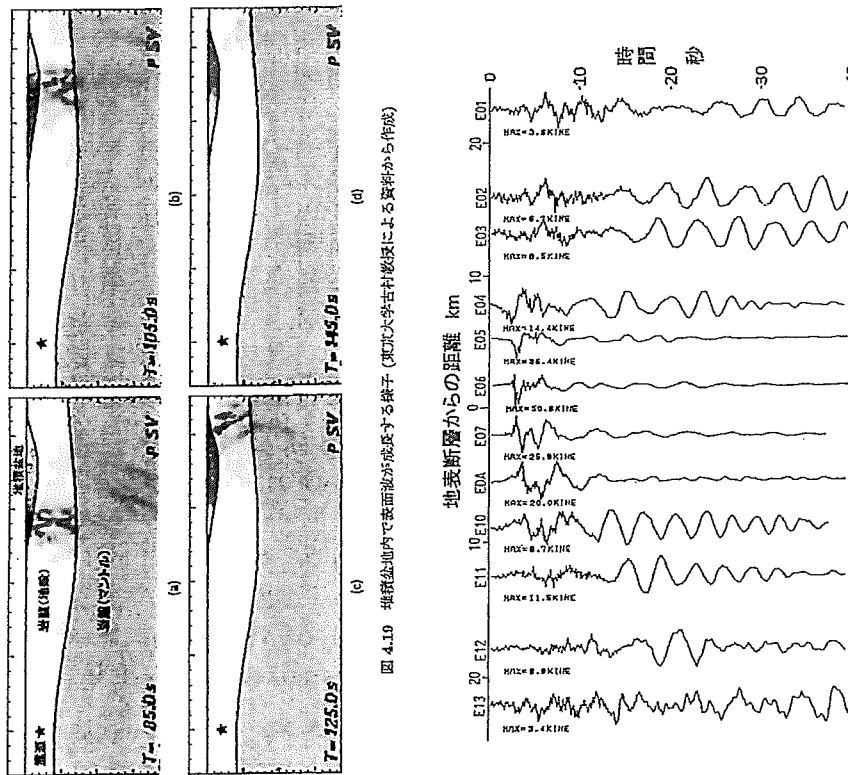


図 4.20 1979 年インペリアルバレー地震の上下動成分の速度波形にみられる走行波成分

このような地盤運動が生じたのは、震源から伝播してきた地震波が堆積盆地に入射して、堆積盆地の中へ反射を繰り返し地震波が弱じこめられ、表面波として成長するためである。図4.19に堆積盆地内で表面波が成長する様子を示す。図の遊び部分が地震波による揺れを示している。図の左側の震源から岩盤内を右方向に伝播する地震波は図の右側にある堆積盆地の端部に到達し、盆地内に地震波が入射されていく(a)。岩盤内を伝播する地震波は右方向に進みながら堆積盆地の中にさらに入射され盆地内で複雑に反射を繰り返し表面波として成長している(b)。堆積盆地内をゆっくりと伝播していく(c)。岩盤内の地震波が通り過ぎた後も、堆積盆地に入射した地震波はしばらくして反射される(d)。

このような盆地端部から入射した地震波が盆地内部で表面波として成長して生ずる波は盆地端部生成表面波と呼ばれ、盆地構造に応じた特定の周波の波が卓越しやすい。この周期は、

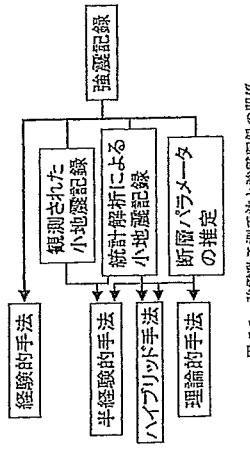
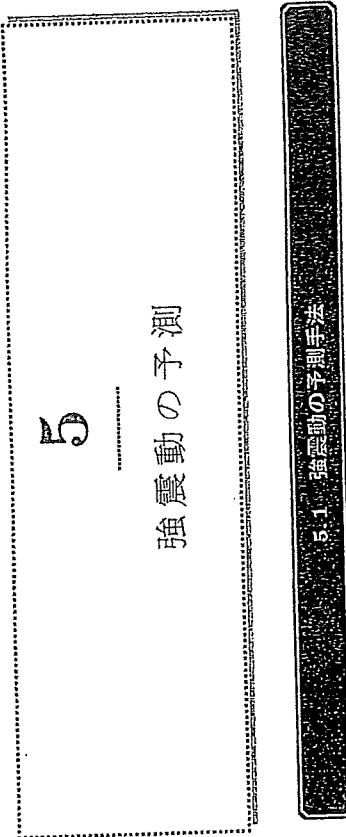
例えば、関東平野では5~10秒、大阪平野では5秒前後、比較的長い。堆積盆地に横たわる地盤が放り出されるマグニチュードが大きい地震で、堆積盆地で長周期地盤が入射するような震源が浅い地震の場合、堆積盆地上で長周期地盤が生じやすくなる。

このような表層は震源付近でも励起される場合がある。図4.20は1979年インペリアルベレー地震の際にE01からE13地点で観測された上下成分の速度波形である(翠川, 1982)。震源点の配置は図3.16に示している。震源点E06とE07の間に震原断層が位置しており、断層から5km程度以内では震源は5秒程度で小さくなるが、断層から離れると後続の波が現れ始め成長していく様子がみられる。この地域は深さ5km程度の堆積地盤に覆われており、断層から射出された地震波が堆積地盤内で反射曲折を繰り返しながら水平方向に伝播して表面波が生成され、震源からやや離れたところで大振幅の長周期地震動を生じるものと解釈できる。したがって、同様の堆積地盤上にあるわが国の大都市直下で深い地震が生じた場合にも、このような長周期震動が発生する恐れがある。

文献

- 1) Boore, D., W. Joyner and T. Fumal: Estimation of Response Spectra and Peak Acceleration from Western North American Earthquakes, U.S. Geological Survey Open-File Report 93-509, 72pp., 1993.
- 2) Borcherdt, R.D.: Va30 – A site-characterization parameter for use in building codes, simplified earthquake-resistant design, GMPEs, and ShakeMaps, Proceedings of the 15th World Conference on Earthquake Engineering, Paper#0173, 10pp., 2012.
- 3) Borcherdt, R., C. Wentworth, A. Janssen, T. Fumal and J. Gibbs: Methodology for Predictive GIS Mapping of Special Study Zones for Strong Ground Shaking in the San Francisco Bay Region, CA, Proc. Fourth International Conference on Seismic Zonation, Vol.3, pp.545-552, 1991.
- 4) Fumal, T. and J. Tinsley: Mapping shear-wave velocities in near-surface geological materials, Evaluating Earthquake Hazards in the Los Angeles Region: An Earth Science Perspective, U.S. Geol. Surv. Prof. Paper No.1360, pp.127-150, 1985.
- 5) 石本一雄・翠川三郎: 地震観測点アベーの強度波形に基づく地盤動幅度と地盤の平均S波速度の関係, 日本地震工学会論文集, Vol.6, No.1, pp.11-22, 2006.
- 6) 石本一雄: 地震観測市内10箇所における地盤動加速度観測(1), 地震大学地盤研究所論録, Vol.12, pp.234-248, 1934.
- 7) 北澤玉郎: 地盤の震度と震度, 地震, Vol.1, pp.48-49, 1949.
- 8) 小林政太: SH波をつかつて地盤動をきめる一方法, 地震, Vol.12, pp.19-24, 1959.
- 9) 国土厅・国土资源院: 國土地理院(改訂版), 大震省印刷局, 202pp., 1992.
- 10) 松岡昌志・若松加藤江・藤本一雄・翠川三郎: 日本国土地形・地盤分類マッシュアップを利用した地盤の平均S波速度分布の推定, 土木学会論文誌, No.754, pp.239-251, 2005.
- 11) Medvedev, S.: Engineering Seismology, U.S. Department of Commerce, 260pp., 1962.
- 12) 翠川三郎: 地盤地圖における震度波成分の勢力, 第6回日本地震工学会シンポジウム講義集, pp.153-160, 1982.
- 13) 翠川三郎: 強震時にみられる地盤特性的解説, 地震, Vol.46, pp.207-216, 1993.
- 14) Midorikawa, S.: Dense Strong-Motion Array in Yokohama, Japan and Its Use for Disaster Management: Directions in Strong Motion Instrumentation, NATO Science Series, pp.197-208; 2005.
- 15) Midorikawa, S., M. Matsuda and K. Sakugawa: Site Effects on Strong-Motion Records Observed during the 1987 Chihi-Ken-Oki Earthquake, Proc. the Tenth Japan Earthquake Engineering Symposium, Vol.3, pp.89-90, 1994.
- 16) 翠川三郎・朝霧英人・三浦弘之: 市街地盤強度強度マッシュワークの記録に基づく地盤動幅度と地盤の平均S波速度との関係, 日本地震工学会論文集, Vol.8, No.3, pp.19-30, 2008
- 17) Omote, S., S. Komaki and N. Kobayashi: Earthquake Observations in Kawasaki and Turumi

- Areas and the Seismic Qualities of the Ground, Bull. Earthq. Res. Inst., Univ. of Tokyo, Vol.34, pp.335-364, 1956.
- 18) 大瀬秀吉: 地震時に關する研究, 震災予防研究会報告, 第41号, pp.9-61, 1903.
- 19) Richter, C.: Seismic Regionalization, Bull. Seism. Soc. Am., Vol.49, pp.123-162, 1959.
- 20) Seyhan E. and J. Stewart: Semi-empirical nonlinear site amplification from NGA-West2 data and simulations, Earthquake Spectra, Vol.30, pp.1241-1256, 2014.
- 21) 島 健三: 神奈川県23区の地震震度分布, 第5回地盤強度マッシュワーク, pp.61-65, 1977.
- 22) 鳴 悅三: 地盤震度, わかりやすく地震学, 厚島出版社, pp.135-170, 1989.
- 23) 斎橋川太郎: 飯道の地盤二三について, 認識 23年紀半地盤強度研究速報, pp.114-120, 1949.
- 24) 時松裕次・翠川三郎: 地震で被災された地盤強度から推定された地盤強度の実験形状, 日本建築学会構造系論文集, No.388, pp.131-137, 1988.
- 25) 年紀 池・西田秀明・翠川三郎・阿部 達: 株式会社地盤強度測定社ネットワーク観測点における地盤強度と常時微動のスペクトル特性の比較, 土木学会論文誌, No.640/T-50, pp.193-201, 2000.
- 26) 若松加藤江・久保純子・松岡昌志・長谷川浩一・杉浦正美: 日本の地形・地盤分類デジタルマップ CD-ROM 付, 地質出版社, 96pp., 2005
- 27) Wald, D. and T. Allen: Topographic slope as a proxy for seismic site conditions and amplification, Bull. Seism. Soc. Am., Vol.97, pp.1379-1395, 2007.



各種の地震計等を考案する上、強震動が発生した場合にどのくらい強い揺れに見舞われるのかを、あらかじめ予測しておくことが必要とされる。大地震時に生ずる強い揺れを予測することを強震動予測と呼ぶ。強震記録の蓄積とともに強震動の研究が進められ、その結果、強震動予測手法が發展してきた。この手法としては、大きく分けて、経験的手法、理論的手法、半経験的手法がある。

経験的手法は、観測データを統計的に解析して、地震規模や震源からの距離などの数少ない簡単な情報だけで地震動の強さを予測するもので、簡便な手法である。経験的手法は震源データに基づくため、観測データが限られる震源近傍では予測の信頼性は低下するが、工学的に重要な地震動の短周期成分の説明力は単純化されたモデルに基づく理論的手法に比べて高い。微少な情報だけで予測するためには、想定した地震や観測点等の固有の特性が十分には反映されにくく、予測精度は低いといはざり。

理論的手法は、地震波の発生に関する震源モデルや波動伝播についての物理モデルに基づいて、地震伝播に基づいて、伝播経路を水平成層構造に単純化した解析的方法が用いられてきたが、計算機の性能の向上に伴い、複雑な3次元構造を考慮した差分法や有限要素法による数値的方法が用いられるようになってきた。理論的手法は、震源の特徴があり、震源近傍でも予測の信頼性が低下することがないが、モデル化の際に複雑な現象を単純化しているために短周期成分の説明力は低い。近年では、より短周期成分まで説明するためには複雑な震源モデルも提案されているが、伝播経路の地下構造も含めて、計算に必要なモデルが多岐となり、その設定に不確実性が生ずる。また、多大な計算労力を必要とする。

半経験的手法は経験的手法のそれぞれの欠点を補うために両者を組み合わせた手法である。観測された小地震の記録ないし震源記録の統計解析結果から合成された小地震の記録を断層モデルの考え方に基づいて重ね合わせて、大地震の記録を合成する手法である。小地震の記録として観測記録を用いる手法は経験的グリーン関数法と、統計的に合成された記録を用いる手法は統計的グリーン関数法と、それぞれ呼ばれる。この手法では理論的手法に比べて短周期成分まで説明できるが、理論的手法と同様に、経験的手法に比べて誤った手法で発生した地震による対象地点での記録が必要となる。統計的グリーン関数法では小地震の記録は必要としないが、統計解析から求められた平均的な特性の合成記録を用いるため

に観測点や伝播経路の固有の特性が十分には考慮できない面が生ずる。

さらに、統計的グリーン関数法と理論的手法を組み合わせたハイブリッド手法も提案されている。これは、接続周期と呼ばれる周期を境に、長周期帯域は理論的手法で、短周期帯域は統計的グリーン関数法で、それぞれ波形を計算し、両者を足しあわせて広帯域の波形を求める手法である。この手法は、理論的手法は長周期帯域で、統計的グリーン関数法は短周期帯域で、それぞれ信頼性がより高いことを考慮して考案された。

このように、これらの手法には、それぞれ長所と短所がある。そこで、目的や利用できる情報に応じて、それぞれの計算手法が使い分けられている。例えば、想定する地震や震源点の情報が限られている場合には、経験的手法が用いられる。観測点での適切な小地図の記録が利用できる場合には、経験的グリーン関数法が選択できる。想定地震の震源バーメータや伝播経路の地下構造が判明されており、計算労力もかけられる場合には、理論的手法やハイブリッド手法が選択できる。

これらの手法を導入する際には、図 5.1 に示すように、いずれの場合も強震記録が利用されている。経験的手法は強震記録の統計解析に基づくもので、最も直接的に強震記録を利用して手法が開発されている。理論的手法でも、断層バラーメータの推定の際には、強震記録の分析から推定された過去の地震の断層バラーメータを参照しており、間接的にではあるが、手法を適用する際に強震記録が利用されている。半経験的手法のうち、経験的グリーン関数法では強震記録が小地震の記録として利用される。統計的グリーン関数法で用いられる小地震の記録は強震記録の統計解析に基づいたものである。このように、いざれの強震動の予測手法も観測された強震記録に立脚しており、強震記録の充実が予測手法の発展に貢献しているといえる。

次節で、これら強震動予測手法のうち、最も直接的に強震記録を利用して構築されている経験的手法である距離換算式について詳しく説明する。理論的手法および半経験的手法、ハイブリッド手法については日本建築学会(2009)等を参照されたい。

文 献

- 1) 日本建築学会：最新の地震波预测研究を活かした強震波形の作成法，163pp，丸善，2009.

5.2 地震動の距離減衰式

○) 距離減衰式の歴史

ある一つの地震の際に各地点で観測された最大加速度と距離の関係をプロットすると、図 5.2 のように、揺れの強さは震源からの距離とともに減衰する。距離減衰式は、復則データから図の曲線のような平滑的な関係を求めて、地震規模や震源からの距離などの要素少ない簡単な情報だけで地震動の強さを予測する式である。なお、距離減衰式は、距離による地震動の減衰だけでなく地震規模などの影響も含めて地震動強さのレベルを決めるものであるが、距離減衰式では意味が狭くとらえられる恐れがある。そこで、最近では地震動予測式と呼ばれる場合も増えているが、ここでは、従来通り距離減衰式と呼ぶことにする。

距離減衰式は観測記録に基づくが、初期の距離減衰式の導出の際には、利用できる強震記録が限られていることから、工夫がなされてい、

る。米国では、1930 年代に強震計が開始され、1940 年代から地震動の最大加速度と地盤規模や震央距離の関係が検討されはじめ (Gutenberg and Richter, 1942), 1956 年に最大距離の距離減衰式が提案された (Gutenberg and Richter, 1956)。この距離減衰式は 1933 年から 1954 年までにカリフォルニアで得られた約 200 の強震記録に基づいている。震源近傍の記録はほとんどないが、震央直上で推定された震度から震央距離が 0 の最大加速度の値を推定して距離減衰式を構築している。

日本では、1950 年代から金井による強震動の研究がなされ、 M および震央距離、地盤の卓越周期をペラメータとした地震動の距離減衰式が提案され。この式が 1933 年から 1957 年までにカリフォルニアで観測された強震記録がほとんどない時期に、変位の距離減衰式を表す金井式である (Kanai, 1956)。この式は、日本で強震記録がほとんどない時期に、日本では、1950 年代から金井による強震動の研究がなされ、 M および震央距離、地盤の卓越周期をペラメータとした地震動の距離減衰式が提案され。この式が 1933 年から 1957 年までにカリフォルニアで観測された強震記録がほとんどない時期に、変位の距離減衰式を組み合わせて巧妙に構築されたもので、その導出過程は田中 (1985) により解説されている。その後、1966 年の松代群発地震の臨時強震規則により震源付近で得られた強震記録を用いて、震源近傍まで適用可能なよう式が改訂された (Kanai et al., 1966)。これが金井の距離減衰式と呼ばれる、その後、1971 年サンフエルナンド地震や 1979 年インペリアルバレー地震で多く用いられた。

その後、1971 年サンフエルナンド地震や 1979 年インペリアルバレー地震で多くの強震記録が得られるたびに、多くの距離減衰式が提案されてきた。日本でも、1968 年十勝沖地震などで多数の記録が得られるようになり、例えは、1963 年から 1970 年に得られた 330 記録から距離減衰式が Katayama (1974) により提案されている。さらに、1995 年兵庫県南部地震で震源付近での記録が得られたり、K-NETなどの強震観測網が充実したりして、震源近傍まで適用可能なものへと改良がなされた。

その結果、震源に非常に近いところでは地震動の強さは地盤規模によってあまり変化しないが、その結果、震源付近での記録が得られたり、K-NETなどの強震観測網が充実したりして、震源近傍まで適用可能なものへと改良がなされた。

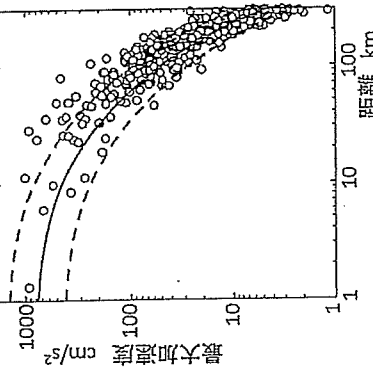


図 5.2 2000 年鳥取県西部地震での最大加速度の距離減衰式

- 1) Campbell, K.: Strong-motion attenuation relations, International Handbook of Earthquake and Engineering Seismology Part B, Academic Press, pp.1003–1012, 2003.
- 2) Douglas, J.: Ground motion prediction equations 1964–2016, <http://www.gmpc.org.uk/gm-report2014.pdf> (last access 2016/12/13).
- 3) Gutenberg, B. and C.F. Richter: Earthquake Magnitude, Intensity, Energy, and Acceleration, Bull. Seism. Soc. Am., Vol.32, pp.163–191, 1942.
- 4) Gutenberg, B. and C.F. Richter: Earthquake Magnitude, Intensity, Energy, and Acceleration (Second Paper), Bull. Seism. Soc. Am., Vol.46, pp.105–145, 1956.
- 5) Kanai, K.: An empirical formula for the spectrum of strong earthquake motion, Bull. Earthq. Res. Inst., Univ. of Tokyo, Vol.39, pp.85–95, 1961.
- 6) Kanai, K., K. Hirano, S. Yoshizawa and T. Asada: Observation of strong earthquake motions in Matsushiro area, Part 1, Bull. Earthq. Res. Inst., Univ. of Tokyo, Vol.44, pp.1285–1296, 1966.
- 7) Katayama, T.: Statistical Analysis of Peak Accelerations on Recorded Earthquake Ground Motions,牛込研究, Vol.26, pp.18–20, 1974.
- 8) 翠川三郎: 地震動強さの距離減衰式, 地震, Vol.61, pp.5471–5477, 2009.
- 9) 望月利男: 震源地図と最大地震予測式, 地震と地震防災シンポジウム 10 年の歩み, 日本国震学会, pp.62–81, 1983.
- 10) 田中貢二: 企井式に対する附註, ORJ 研究報告 85-02, 大阪総合研究所, 37pp., 1985.
- 11) Trifunac, M. and A. Brdy: Correlations of peak acceleration, velocity and displacement with earthquake magnitude, distance and site conditions, Earthquake Engineering and Structural Dynamics, Vol.4, pp.455–471, 1976.

D) 距離減衰式を構成する要素

- 地震動の振幅 (A) は震源からの距離 (X) とともに減衰するが、距離が非常に近くなると、振幅は飽和する傾向がみられる。また、地盤条件によつても地震動の強さは異なる。さらに、地震規模 (M) が同じでも地震のタイプ等によって地震動の強さは変わる。距離減衰式では、いくつかのパラメータを説明変数とした関数を仮定して、振幅値を回帰分析して求められる場合が多い。例えは、司・翠川 (1999) の距離減衰式では以下のような関数形が用いられてゐる。

$$\log A = aM - b \log(X + d(M)) + c_i + c_j + fD - kX \quad (5.1)$$

- 右辺の第 1 項の a は地震動強さが地震規模 M に依存する割合を示す係数で、地震動強さとして最大加速度を用いた場合には 0.5 の値をとり、最大速度度とやや大きくなる。第 2 項の b は断層面附近距離 X [km] による減衰の割合を表す係数で、1 の値がよく用いられ、ごく浅い地震の場合には観測結果をよく説明している。X に $d(M)$ を加えることで、X が 0 になつても地震動強さ A は飽和するようになつていい。図 5.3 に $M = 6 \sim 8$ での最大加速度の距離減衰式を示す。

異なり、その結果、震源に非常に近いところでは地震動の強さは地盤規模によつてあまり変化

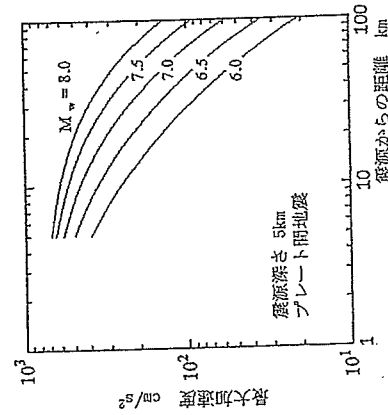
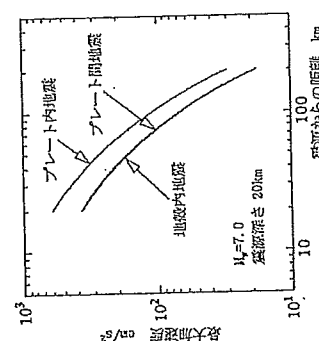
図 5.3 司・翠川 (1999) の距離減衰式の M 依存性

図 5.4 地震タイプによる影響

しないといふいう種別が異なる。既往の距離減衰式では、標準的な地盤で $500\sim1,000 \text{ cm/s}^2$ 程度の最大加速度値で饱和するものが多い。ただし、後述するようく震源附近式からの値と個々の震源式との差は小さくないので、このことが震源附近式での最大加速度が $1,000 \text{ cm/s}^2$ となる結果となつている。最大速度に対しては深さ 30 m までの地盤の S 波速度 $V_{S30} [\text{m/s}]$ を変数とした関数が用いられている。第 4 項の c_3 は地震のタイプによる変数で、図 5.4 に示すように、スラブ内地盤ではプレート間地震や地盤内地震に比べて最大加速度が 2 倍程度大きくなる結果となっている。第 5 項の f は震源深さ $D [\text{km}]$ に依存する割合を示す係数で、図 5.5 に示すように、震源深さが 50 km 深くなると最大加速度が 3 倍程度大きくなる結果となつている。最後の項は伝播経路での活性減衰等を表す項で、距離が遠い場合に影響を及ぼす。結局、この式では、地震の規模・タイプ・深さや、震源点の地盤条件、震源から震源までの距離、の 5 つのパラメータ (説明变量) で地震動の強さが予測される。表 5.1 にこれら

表 5.1 司・翠川 (1999) の距離減衰式の係数

| | a | b | $d(M)$ | c_1 | c_2 | c_3 | c_4 | f | k |
|-------------------------------|------|-----|---|-------------|---------------|---------------|---------------|-------|-------|
| 最大加速度 [cm/s ²] | 0.5 | 1 | $0.0055 \cdot 10^{-0.5M}$ | 0 (地盤内) | 0.61 (地盤内) | 0.32 (プレート間) | 0.83 (プレート内) | 0.043 | 0.003 |
| 最大速度 [cm/s] | 0.58 | 1 | $0.0028 \cdot 10^{0.5M} \cdot 1.83 - 0.66 \log V_{S30}$ | -1.29 (地盤内) | -1.31 (プレート間) | -1.31 (プレート内) | -1.17 (プレート内) | 0.038 | 0.002 |

の係数の値を示す。この式は、地震動強さとして最大加速度および最大速度を対象としているが、底盤スペクトルを始めとしてエルギースペクトルや震度など他の地震動強さを対象としたものも多数提案されている。

文 献

- 1) 司 宏俊・翠川三郎：防震タイプ及び地盤条件を考慮した最大加速度・最大速度の距離減衰式、日本地震学会講演論文集、第 523 号、pp.63~70、1999.

図 5.4 距離減衰式のパラメタ

距離減衰式は個々のデータから得られる平地的な関係であり、図 5.2 に示したように、実際の個々の観測結果は距離減衰式からバラツキを持つて分布している。標準的な地震動評価において底盤中の地震動強さは、このバラツキに大きく支配されるため、近年の研究では、距離減衰式から得られる平均的な地震動強さのみならず、そのバラツキについても重要視されている。

図 5.6 は司・翠川 (1999) の距離減衰式からの最大加速度値に対する震源距離の比をとり、その係数の値の頻度分布を示したものである。距離減衰式に対する震源距離のバラツキは指数正規分布となっている。この場合の標準偏差は 0.3 であり、既往の他の距離減衰式の標準偏差よりも同程度の値を示す。距離減衰式の係数標準偏差が 0.3 度であることが、地震動の予測精度

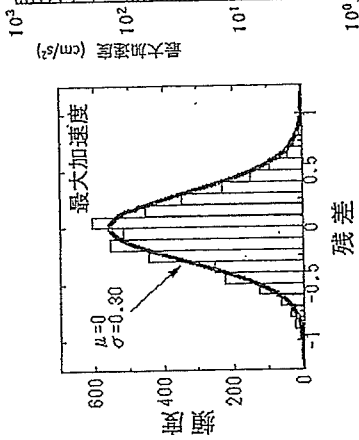
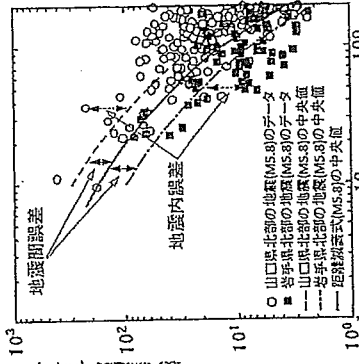


図 5.6 距離減衰式からの最大加速度

図 5.7 地震内誤差と地震間誤差の範囲

度は倍半分ともいわれる所以でもある。

距離減衰式のペラッキは地震内蔵深さと地震間隔差に分離できる。図5.7は、 $M = 5.8$ の山口県北部および岩手県北部の地震で観測された最大加速度を示している。それぞれの地震ごとに距離減衰式を導いたのが破線と一点鋼線である。実線で示しているのが $M = 5.8$ の平均的な距離減衰式を示している。ここで、各々の地震で導かれた距離減衰式とデータの差を地震内蔵深差と呼び、各地震から導かれた式どうしの差を地震間隔差と呼ぶ。

既往の距離減衰式の地震内蔵深差および地震間隔差はそれぞれ0.25程度およそ0.15程度で、地震間隔差に比べて地震内蔵深差が大きい(翠川・大竹, 2003)。ペラッキの要因について、震源特性、地震特徴、地震特性の面から見てみると、地震内蔵深差に関しては、震源特性に関連するものでは、4.2節で述べた断層面での破壊伝播の影響や断層面での破壊がより強いとの影響により、距離が同じでも振幅がばらつくことなどが考えられる。地震内の地盤波速度構造の伝播経路は、各地点での地震の増幅率の違いが正しくないことが多いなどが考えられる。地震特性に関連するものとしては、個々の地震の特性を地震規模などが複雑化することや剪接の影響などが考えられる。地震特性に関連するものとしては、それをどの簡単なパラメータでモデル化されているため、個々の特性の違いが正確には考慮されていないことなどが考えられる。また、伝播特性や地震特性に関連するものとしては、それがの地盤特性により平均的な傾向が異なる可能性がある。このように、ペラッキの要因は様々で複雑である。

翠川三郎・大竹 雄：地震動強さの距離減衰式にみられるペラッキに関する基礎的研究、日本地震工学会論文誌、Vol.3、No.1, pp.59-70, 2003.

1) 翠川三郎・大竹 雄：地震動強さの距離減衰式にみられるペラッキに関する基礎的研究、日本地震工学会論文誌、Vol.3、No.1, pp.59-70, 2003.
r) 前述の司・翠川(1999)の式は、5つのパラメータ(地震規模、地震タイプ、震源深さ、震源からの距離、地盤条件)を考慮して地震動の最大加速度・最大速度を予測するモデルであるが、近年の震源近傍での強震観測結果や地震学的進展を踏まえて、モデルの高精度化が検討されている。例えば、米国では、次世代型距離減衰式の開発プロジェクト(NGAプロジェクト)が複数の研究グループにより組織的に行われている。その第一世代である NGA-West1 が複数の研究グループにより組織的に行われている。その後に世界各地で多数の大震の強震記録が得られたこともあり、組織プロジェクトとして NGA-West2 が開始された。このプロジェクトでは、地震動データベースを強化した上で、断層破壊伝播効果、地震動の方向性、復讐論的不確定性、地盤増幅の非線形性、上部構造、などに焦点をあてながら、さらに新たに新たな距離減衰式が複数提案された(Borozrgnia et al., 2014)。これらのプロジェクトで蓄積された研究項目を参考にして、距離減衰式の高精度化のための検討項目を列挙すると、1) 地盤特性、2) 地震タイプ・断層深さ、3) 断層破壊伝播効果、4) 上盤効果、5) 距離依存性、6) 地盤

增幅の非線形性、7) 深部地盤構造による増幅、8) 予測式のペラッキの分解、があげられる。

1) 地震規範依存性については、往來の式では、地震動強さの対数と M が線形関係のものが多かったが、地震動の短周期成分に対しては、 M が大きくなると、その依存性は弱くなることが指摘されている。例えば、2011年東北地方太平洋沖地震(Mw9.1)の最大加速度の距離減衰と2001年ヘルー南部地震(Mw8.4)、2003年十勝沖地震(Mw8.3)、2010年チリ・マウレ地震(Mw8.8)の最大加速度の距離減衰を比較すると、ほぼ一致し、Mw8.3程度以上では地震規範依存性がみられないことが指摘されている(翠川・他, 2012)。そこで、このような特性を周期ごとに定量化して考慮することも進められている。

2) 地震タイプ・断層深さについては、活断層等による地盤内地震や大陸プレートと海洋プレートの境界で発生するプレート間地震に比べて、海洋プレート内で発生するスラブ内地震の方がより強い地震動を生じることが指摘されている。また、より深い地震の方が地震時の応力降下量が大きくなり、より強い地震動を生じさせることも指摘されている。これらの影響は前述の司・翠川(1999)の式でも考慮されている。ただし、スラブ内地震は地盤内地震やプレート間地震に比べて深いため、スラブ内地震でより強い地震動が生ずるものが、地震タイプそのものの影響なのか、深さの影響なのかを分離しきれずに、両者を適切に評価できない恐怕もある。今後、データの蓄積を待って、さらなる分析が必要となる。

3) 断層破壊伝播効果については、前述したように、1995年兵庫県南部地震で観測された震度7の地震動の大きな要因のひとつであることを等から、重要視されるようになつた。この効果を距離減衰式にとりこむ試みとして、Somerville et al. (1997) は21地震の強震記録の回帰分析から破壊伝播効果を補正する係数を比較的簡単な式で表現している。例えば、船直横ずれ断層の場合、図5.8の左側に示す $X (= s/L)$ と θ を用いた $X \cos \theta$ をパラメータとして、図の右側に示す補正係数を示している。適用範囲は、Mw6.5以上、距離50km以内としている。大野・他(1998)も同様の分析を行い、断層近傍の記録は、破壊伝播効果により、距離減衰式からの値に比べて周期1秒程度以上で2倍程度大きくなることを指摘している。しかしながら、卓越するパルスの周期が地震規模によって異なることや破壊伝播の効果が見られる領域は周期によって異なることなど破壊伝播効果は複雑であり、このモデルでは十分には表現されないことが指摘され、より詳細なモデル化がなされている(Spuidich et al., 2014)。しかし、モデル化の遅いにより、研究ごとに異なる結果が得られており、統一的

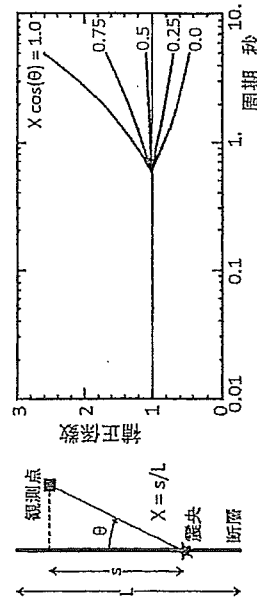


図 5.8 断層伝播効果の補正係数の例 (Somerville et al., 1997)

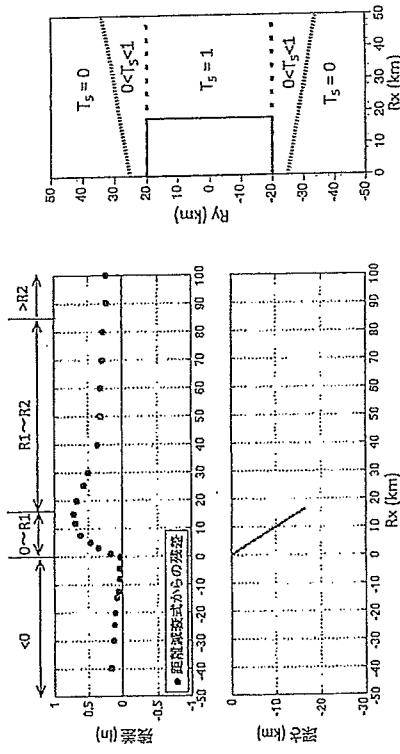


図 5.9 上盤側基盤の補正係数の例 (Donahue and Abramson, 2014)

な結果はまだ得られていない。

4) 上盤側果については、1994年ノースリッジ地震や2004年新潟県中越沖地震で大きな地盤動度が上盤側で観測され (Abrahamson and Somerville, 1996; 司・翠川, 2005), 注目された。地盤動シミエーションから、この補正係数がモデル化されている (Donahue and Abramson, 2014)。図5.9にMw7で傾斜角 $\phi=0^\circ$ の場合の補正係数の例を示す。図の右側は、断層面の配置の平面図を示す。 R_{sp} は断層面の最浅部から断層走行方向に測った距離で、上盤側を+に、下盤側を-にとっている。 R_{sp} は断層面の最深部の中央から断層走行方向に測った距離である。図の左側は、下盤側の地盤動シミエーション結果の距離減衰式に対する各地点での地盤動シミエーション結果の残差の対数 [ln] を示している。下盤側では残差はほぼ0(補正係数=1)である。上盤側では残差がみられ、断層面の最深部のほぼ直上 ($R_{\text{sp}} = 15 \text{ km}$) で最大約0.7(補正係数=2)を示し、 R_{sp} が大きくなるにつれて減少する。

この結果は R_{sp} 方向で整理された結果であるが、 R_{sp} 方向でも距離が離れるにつれて、残差は小さくなり、図の右に示す $T_{\text{sp}} = 0$ と書かれた領域では残差は0(補正係数=1)となる。この結果は M や断層面の傾斜角・大きさ・深さによって変化するため、これらと R_{sp} , R_{sp} をパラメータとした関数でモデル化されている。このモデル化により、断層からの距離として、 R_{sp} , R_{sp} の2つが追加で必要とされる、煩雑なものとなっている。

5) 距離依存性については、減衰の傾きに周期依存性や M 依存性が考慮されている(例えば, Campbell and Bozorgnia, 2008)。これは、4.3節で示した媒体の粘性および散乱による減衰に周期依存性があり、地震規模によつて卓越する周波数が変化するため説明できる。また、4.3節で示したように、モホ面(地殻と上部マントルの境界)より深い地殻と深い地盤では減衰の傾きが異なり、深い地盤では距離減衰式で一般的に使われる距離減衰式でではなく -1.5 乗程度の傾きとなる。日本の沖縄型巨大地震では震源がモホ面より深い場合があるので、距離減衰式の見直しも必要となる。

6) 地盤増幅の非線形性については、震源近傍の軟弱地盤上で地震動を予測する場合に重要な記述の充実を待つべきだ。

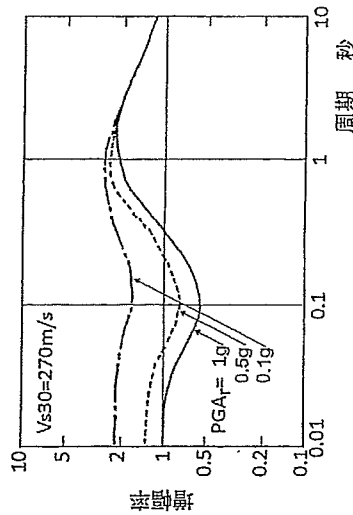


図 5.10 振幅倍率の地盤動解析の例 (Kamai et al., 2014)

な項目となる。Kamai et al. (2014) は、等価線形化手法による地盤動解析結果から、基準とする岩盤での最大加速度と地盤の平均 S 波速度をパラメータとした振幅倍率を示し、距離減衰式作成の際の拘束条件として利用することを推奨している。図 5.10 に $V_{\text{S}30} = 270 \text{ m/s}$ の地盤の場合は地盤増幅率を示す。基準とする岩盤 ($V_{\text{S}30} = 1,180 \text{ m/s}$) での最大加速度 (PGA) が大きくなるにつれて、短周期で増幅率が小さくなっている。

Seyhan and Stewart (2014) は、岩盤に対する距離減衰式からの慣性記録の残差を地盤增幅率とみなして、これと地盤応答解析結果から地盤増幅率を提案している。従来の強震データには地盤増幅の非線形形態の影響が強く現れる大振幅のものが限られていることから、これらの結果は地盤応答解析による結果に依存している面が強い。しかし、非常に大きな振幅レベルでの応答解析結果の妥当性は慣性記録から十分には確認されていない。そこで、多数の大振幅記録が得られた 2011 年東北地方太平洋沖地震の強震記録を用いて、地盤増幅の非線形形態に関する検討も進められており (例えば、堀・翠川, 2016), 今後の検討が期待される。

7) 深部地盤増幅による増幅については、長い周期帯を対象とする場合には影響が大きい。従来の距離減衰式では、表層地盤の影響は考慮されているが、深い地盤構造の影響は陽には考慮されていないものが多い。深い地盤構造が明らかになつていている強震観測点は限られているので、慣性記録のみから地盤の増幅度と深部地盤構造の関係を一般化するのは容易ではないが、慣性記録と地盤動シミュレーションの結果から、S 波速度 2.5 km/s 以上の基盤までの深さをパラメータとした深部地盤構造の影響の補正項を距離試験式に導入しているものもある (例えば, Campbell and Bozorgnia, 2008)。これによると、基盤深さが 3 km 以上の場合は深い地盤構造の影響が現れる。しかし、これはロサンゼルス盆地での地震動シミュレーション結果を参照しており、盆地ごとの地盤構造の違いによる地域性があることが予想される。例えば、増井・翠川 (2006) は関東平野での地盤強度結果から基盤深さが 0.5 km 程度以上から深い地盤構造の影響が現れるこことを示している。今後、深部地下構造データや強震記録の充実を待つべきだ。

8) 予測式のパラメータについては、距離減衰式を用いて実験的評価を行う場合に低確率で

の評価結果に大きな影響を与えることからも、その要因を分析することは重要である。本節の(1)項で述べたように距離減衰式のハザードの要因は複雑であるため、それぞれの要因に分離して考察する必要がある。例えば、地盤特性によるバラツキなどを除去するために、震源点を固定して距離減衰式を求めて、そのバラツキを検討したり、さらに、伝播特性によるバラツキも除去するため、震源点を固定した上で地盤の震源位置を限定した記録を用いて距離減衰式を求めたりする試みもなされている。震源点のみを固定しても距離偏差はあまり小さくならないが、地盤の震源位置を限定した場合には距離偏差は半分程度になるという報告もある(例えば、Lin et al., 2011)。ハザードの要因の分析は距離減衰式の高精度化にもつながる重要な課題である。

以上のように、距離減衰式の高精度化のために、地震動シミュレーションや観測記録のさらなる分析により、距離減衰式に採用すべきパラメータや関数型を探ることが重要となる。前者の検討には古い周期特徴で震度や計算効率の高い理論的手法が必要となり、後者の検討には多数の強震動測定と理論的手法の助けを借りながら発展していくものと考えられる。このように、経験的手法は、強震動測定と理論的手法の助けを借りながら発展していくものと考えられる。同じことは理論的手法についてもいえる。理論的計算に必要なパラメータを設定する根拠として、観測結果から推定された断層パラメータが参照されたり、経験的手法からの結果との比較がなされる場合が少くない。経験的手法と理論的手法はお互いに補完するものであり、今後も、経験的手法、理論的手法および強震動測定が三位一体となって、強震動予測手法の改良が総合的に進められていくものと考えられる。

文 献

- and Simulations, Earthquake Spectra, Vol.130, pp.1241–1256, 2014.
- 司 宏俊・翠川三郎：2004 年新潟県中越地震で観測された巨大加速度にみられる Hanging-wall 効果, 日本建築学会大会術論文集, Vol.B2, pp.143–144, 2005.
- Somerville, P., N. Smith, R. Graves and N. Abrahamson: Modification of Empirical Strong Ground Motion Attenuation Relations to Include the Amplitude and Duration Effects of Rupture Directivity, Seism. Research Letters, Vol.68, pp.195–222, 1997.
- Sudich, P., B. Rowshard, S. Shahi, J. Baker and B. Chiou: Comparison of NGA-West2 Directivity Models, Earthquake Spectra, Vol.30, pp.119–1221, 2014.

5.3 地震ハザードマップ

- 強震動予測の利用例のひとつとして地震ハザードマップがある。このマップは、各地点で予測される地震動の情報(震度など)を示すもので、これにより、地震防災への意識が向上し、耐震化などの事前対策をより適切に計画でき、災害発生時の対応についても事前の準備が促進されることから、震災の低減に有効でである。そのため、地震ハザードマップは国や自治体等により作成されてきた。その代表的な例として、地震調査研究推進本部による全国地震動予測地図がある。この地図は、地震発生の長期的な震度評価と、地震が発生したときに生じる強震動の評価を組み合わせた「離隔論的地震動予測地図」と、特定の地震に対して、ある想定されたシナリオに対する強震動評価に基づく「震源断層を特定した地震動予測地図」の 2 種類の地図から構成されている(藤原, 2011)。
- s) 確率論的地震動予測地図
- 確率論的地震動予測地図とは、各地点において、対象とする期間に発生するであろう地震動の強さとその確率を評価して、その分布を地図上に表現するものである(地震調査研究推進本部, 2006)。図 5.11 に確率論的地震動評価の概要を示す。まず、①対象地域の周辺に発生する地震を分類し、分類した各地震に対する、地震規模ごとの発生確率および対象地点からの距離の確率をモデル化する。②距離換算式を用いて、地震規模と距離と地震動強さの発生確率の関係をモデル化する。③これらの地震発生モデルと地震動モデルから、それぞれの地震により対象地点で発生する地震動の強さと特定の期間にそれを超過する確率との関係を表すハザードカーブを計算する。④全地震によるハザードカーブを統合して、トータルのハ

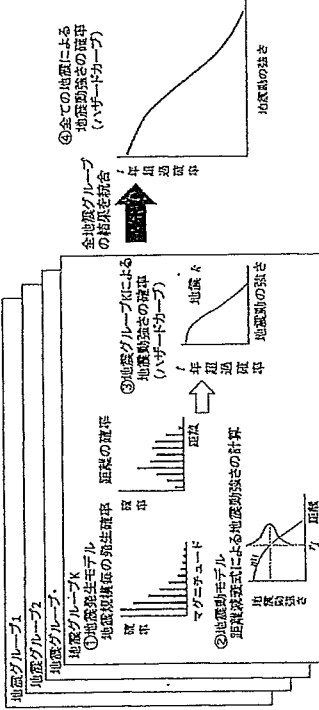


図 5.11 確率論的地震動評価の概要

- Abrahamson, N. and P. Somerville: Effects of the hanging wall and footwall on ground motions recorded during the Northridge earthquake, Bull. Seism. Soc. Am., Vol. 86, pp.S93–S99, 1996.
- Bocorgia, Y. et al.: NGA-West2 Research Project, Earthquake Spectra, Vol.30, pp.973–987, 2014.
- Campbell, K. and Y. Bozorgnia: NGA ground motion model for the Geometric Mean Horizontal Components of PGA, PGV, PGD and 5% Damped Linear Response Spectra, for Periods Ranging from 0.01 to 10s, Earthquake Spectra, Vol.24, pp.139–171, 2008.
- Donahue, J. and N. Abrahamson: Simulation-Based Hanging Wall Effects, Earthquake Spectra, Vol.30, pp.1269–1284, 2014.
- 福島義・翠川三郎：強震動評価に基づく地震動遮蔽の振幅依存性の検討, 日本建築学会大会術論文集地盤論, pp.1059–1060, 2016.
- Kamai, R., N. Abrahamson, and W. Silva: Nonlinear Horizontal Site Amplification for Constraining the NGA-West2 GMPEs, Earthquake Spectra, Vol.30, pp.1223–1240, 2014.
- Lin, P.-S., B. Chiou, N. Abrahamson, M. Walling, C.-T. Lee, and C.-T. Cheng: Repeatability Sources, Site, and Path Effects on the Standard Deviation for Empirical Ground-Motion Prediction Models, Bull. Seism. Soc. Am., Vol.101, pp.2281–2285, 2011.
- 坪井大輔・翠川三郎：工学的基盤での地震記録による地盤抵抗による強震動特性, 士木学会論文集 A, Vol.62, No.2, pp.225–232, 2006.
- 翠川三郎・三浦弘之・司 宏俊：巨大地震の強震動特性に対する予測的検討, 建造工学会誌, Vol.58B, pp.139–144, 2012.
- 大野 亮・武井雅之・小林義典：強震動指向性：強震動指向性における強震動の方向性, 第 10 回日本水工学会シンポジウム論文集, Vol.1, pp.131–138, 1998.
- Power, M., B. Chiou, N. Abrahamson, Y. Bozorgnia, T. Shantz, and C. Roble: An Overview of the NGA Project, Earthquake Spectra, Vol. 24, pp.3–21, 2008.
- Soyhan, B. and J. Stewart: Semi-Empirical Nonlinear Site Amplification from NGA-West2 Data

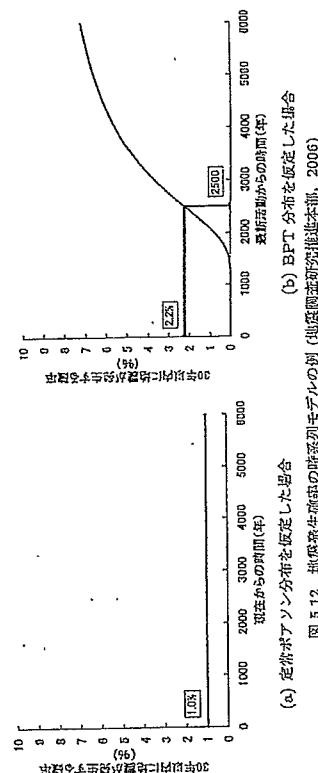


図 5.12 地震発生確率の時系列モデルの例 (地震調査研究推進本部, 2006)

ハザードカーブを行なう。

①の地震の発生確率のモデル化では、全国の震源が特定できる地盤と震源が特定できない地盤に分けて、それぞれに震率モデルを設定する。震源が特定できる地盤として、ブレートの沈み込みによる海嶺型巨大地震や主要活断層、それ以外の活断層で発生する固有地震が想定されている。大地震はほぼ同じ間隔と規模をもつて周期的に繰り返し発生すると考えられ、このような地震を固有地震と呼ぶ。海嶺型巨大地震や主要活断層による地震が多くについては、おおよその活動間隔や最新活動時期が地震調査研究推進本部から示されており、これらの値を考慮したBPT分布モデルを用いて、非定常な地震活動がモデル化されている。図5.12に示すように、定常ボアンソン過程では、ある一定期間に地震が発生する確率は時間によらず一定であるが、BPT分布モデルでは、最新活動時期から時間が経過するにつれて確率が上昇する。

震源が特定できない地盤には、海嶺型巨大地震以外のブレート間・ブレート内地震、活断層が特定されていない地域の地震がある。全国を陸域・ブレート間・ブレート内ごとに複数の地域に区分し、各地盤で年齢による地震発生データを1885年から1925年のM6以上の地震データと気象庁による1926年以来のM3以上の地震データをもとに、地震規模別の地震の発生確率分布をグーテンベルク・リヒターの関係式を用いてモデル化している。その際、各地域でMの上限値を歴史地震の規模等を踏まえて設定している。図5.13にその一例を示す。各地域内では地震発生の確率は一様とし、地震発生の時系列モデルは定常ボアンソン過程を用いている。これらに基づいて、分類したそれぞれの地震について、地震規模別の発生確率や対象地震に対する距離の確率が評価される。

②の地震動強さの発生確率のモデル化では、

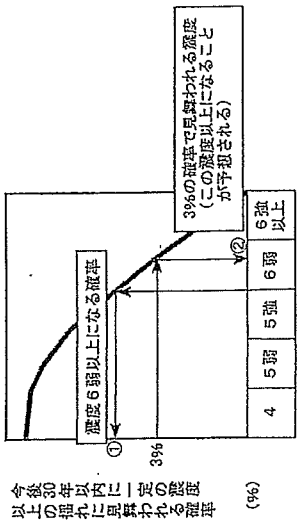


図 5.14 ハザードカーブの例 (地震調査研究推進本部, 2006)

工学的基盤(S波速度で400 m/s相当の地盤)における地震動強さ(最大速度)を求めるために、司・翠川(1999)の距離減衰式(5.2節参照)が用いられている。その際、結果のベラツキは図5.6に示したようなら数正規分布による震率密度関数を用いて評価している。③では、これらの地震発生モデルと地盤動モデルを用いて、各地震に対して着目する期間内にある地震動強さを超える確率(超過確率)と超過確率(最大速度)と超過確率の関係を示すハザードカーブを求めている。④では、この作業をすべての地盤に対して行い、各地盤のハザードカーブを統合する。⑤では、この作業をすべての地盤に対して行い、最後に、対象地点での微地形分類から推定した地盤の增幅度(4.4節参照)を工学的基礎での最大速度に掛け合わせて地表での地震動の最大速度を求める。これを震度に変換して(1.1節参照)、地震動強さを地表の震度とした場合のハザードカーブを求めている。このカーブから、図5.14に示すように、例えば、震度6弱以上になる確率(図の①)を求めたり、3%の確率で見舞われる震度の値(図の②)を求めたりすることができる。各地点で得られたこれらの値をマップ化したものが震率論的地震動予測地図である。

図5.15の左の図は、地震動の強さを震度6弱以上と固定して、今後30年間での発生確率を示したもので、地震動予測地図の代表例として示される地図である。一方、図5.15の右の図は、30年間での震度を3%と固定して、発生が予想される震度を示したものである。これらの地図は強い揺れが発生する恐れを地震で客観的に表現したものであるが、確率の概念は一般になじみが薄い。そこで、確率が低い地域では大きな揺れが起こらないと断定的に受け止められてしまう恐れもある。

今後30年という期間は一概の社会通念からみると長い期間ではあるが、大地震の発生の繰り返しは百年から数千年以上といった単位であるので、今後30年間で確率が小さくても、近い将来発生しないということではない。例えば、2016年熊本地震を起こした布田川断層帶の30年以内の発生確率は地震前の時点で0~0.9%と大きな差ではない。これは、その活動間隔が数千年ないしそれ以上であり、30年という期間に限ると発生確率は大きなものとはならないためである。そこで、この地震で震度7を観測した益城町や西原村でも今後30年間での震度6弱以上の発生確率は周辺に比べれば大きくなるものの、絶対値としては数%程度と、それほど大きな値とはならない。

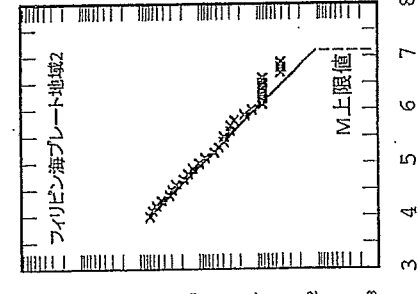


図 5.15 地震動強さの発生確率のモードル (a) 地震動強さの発生確率 (b) 地震動強さの3%超え確率 (地震調査研究推進本部, 2006)

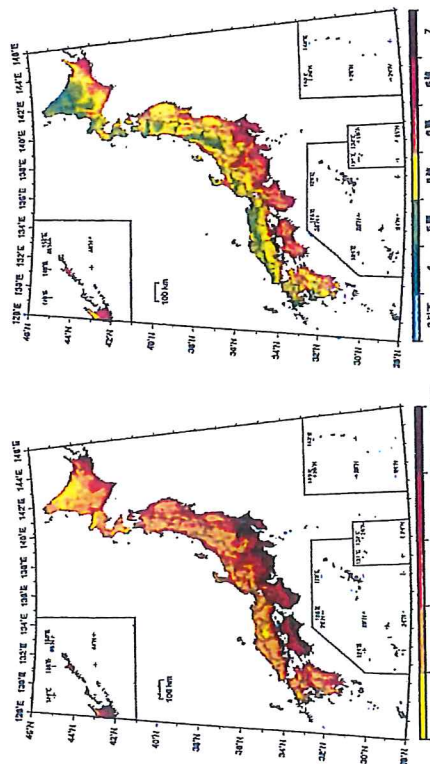


図 5.15 風車輪の強度を受ける確率
今後 30 年間に 3% の超過確率で受ける震度
(地震調査研究推進本部, 2017)

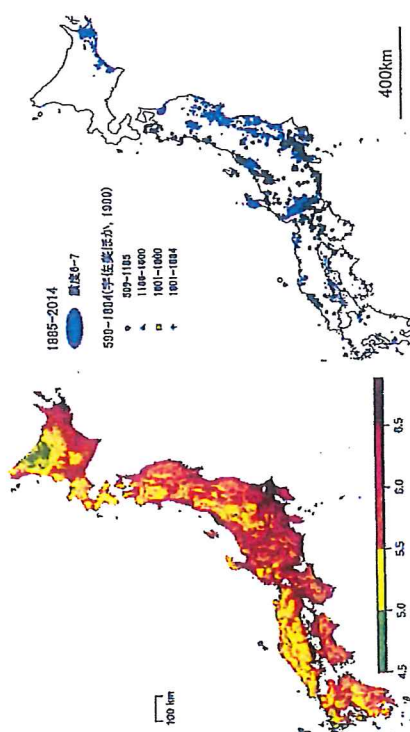


図 5.16 再現期間 500 年相当の震度 (地震調査研究推進本部, 2012)

ある限られた期間での発生確率は小さいものの全国各地で大きな揺れに襲われる可能性があることを示すために、参考として、長期間の予測地図も示されている（地震調査研究推進本部, 2012）。図 5.16 は再現期間 500 年相当の震度を示したものである。地盤が揺れにくいため、主な活断層や海岸型地震に近い地域では震度がさすらに大きくなっている。参考のために、図 5.17 に過去の大震災の史料が少く記録されている期間は、京都周辺三浦、2016) を示す。過去の大震災の史料が少く記録されている期間は、京都周辺

など長いところで千数百年、東京周辺では 5 百年程度、北海道では百年程度であるので、この図は空間的に一様な情報ではないが、過去の地震ハザードの実績値を表すものと考えられる。再現期間 5 千年相当の震度は、おおむね過去の震度の分布を包含していることから、このような長期間の予測地図は過去の実績と対応しているとも言える。

7) 震源断層を特定した地震動予測地図

地震発生の長期評価がなされ、震源断層の特性が明らかにされている地震については、より詳細な強震動評価により、震源断層を特定した地震動予測地図が作成されている。約 100 の断層帯に対する結果が示されている。この予測地図では、ハイブリッド手法により工学的基盤での時刻歴波形が計算され、その最大速度値に表面地盤の增幅率を掛けて地表面での最大速度値および予測震度の分布が求められている。ハイブリッド手法とは、5.1 節で述べたように、短周期領域の波形は半経験的な統計的グリーン関数法で、長周期領域での波形は理論的な三次元差分法で、それそれ計算して両者を足し合わせる手法である（図 5.18 参照）。2 つの手法の結果を足し合わせるのは、それぞれの手法で信頼性が異なるためである。両者を足し合わせるのは、それぞれの手法で接続周期よりも長周期を、後者の波形は短周期をそれぞれカットするフィルターを通しておき、接続周期は 1 秒としている（地震調査研究推進本部, 2009）。

計算では、評価すべき断層帶の地震について、長期評価の結果を基本として、将来最も起こる可能性が高いと考えられるシナリオを選定し、断層全体の形状や規模などの巨視的震源特性、震源断層の不均質性などの微視的震源特性、および破壊様式が設定される。設定のためのレシピも準備されている。しかし、シナリオが 1 つに絞り込めない場合が多く、その場合には、複数のシナリオを想定することとしている。図 5.19 に糸魚川-静岡構造線断層の北部区間の地震の例を示す。破壊開始位置が南側の断層、中央の断層および北側の断層の場合の 3 通りの結果が示されている。

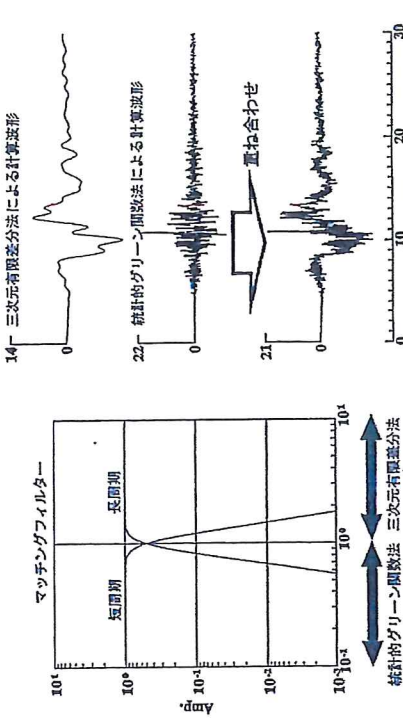


図 5.18 ハイブリッド手法の概念図（地震調査研究推進本部, 2009）

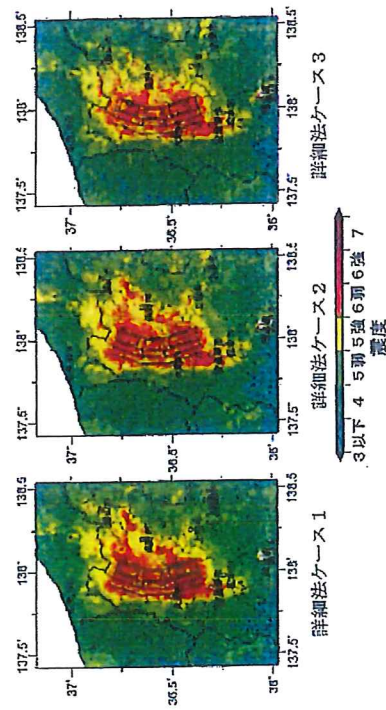


図 5.19 紀伊川一紀伊半島近海沖合部区域の地震の地震動予測地図（地質調査研究推進本部、2016）

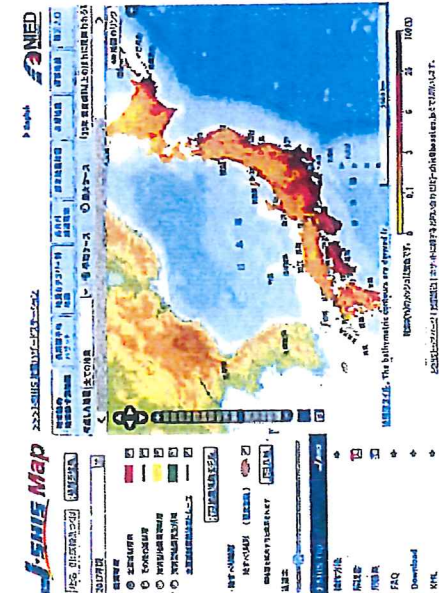


図 5.20 地震ハザードステーションのトップページ

この計算には地下構造のモデル化も必要とされ、上部マントルから地震基盤（S波速度3 km/s相当層）までの地盤構造、地震基盤から工学的基盤（S波速度400 m/s～700 m/s相当層）までの浅部地盤構造、工学的基盤から地表までの浅部地盤構造に分けてモデル化が行われている。ただし、浅部地盤構造は局所的な変化が大きく、膨大なデータ収集が必要となるため、確率論的予測地図の場合と同様に、微地形区分により V_{30} が推定され、簡便に表層地盤の増幅度が評価されている。

地震動予測地図の結果や計算用に用いられたデータはインターネット上で地震ハザードステーション（J-SHIS）により公開されている（藤原、2011）。図 5.20 に J-SHIS のトップページを示す。確率論的予測地図については、様々な形態で表現された地図やハザード曲線の

表 5.2 決定論的結果と確率論的結果の使い分けの例 (McGuire, 2001)

| 防災対策 | 決定論的 | | 確率論的 |
|------|--------|--------|-------|
| | 直後対応計画 | 復興計画 | |
| 地盤環境 | 断層直近 | 断層振幅分布 | 耐震強度 |
| 対象 | 地域危険度 | ライフライン | 特定構造物 |

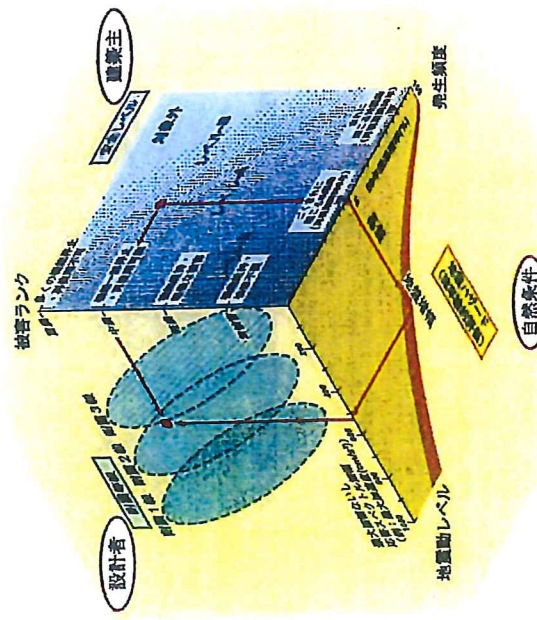
データなどが表示できる。震源断層を特定した地震動予測地図については、地表での震度分布、工学的基本における最大速度振幅分布や各メッシュでの速度波形などが表示できる。これらのデータをはじめ、計算の際に用いられた地震活動モデル、断層パラメータ、表層地盤の增幅分布深部地下構造などのデータはダウンロードできる。

ii) 利用例

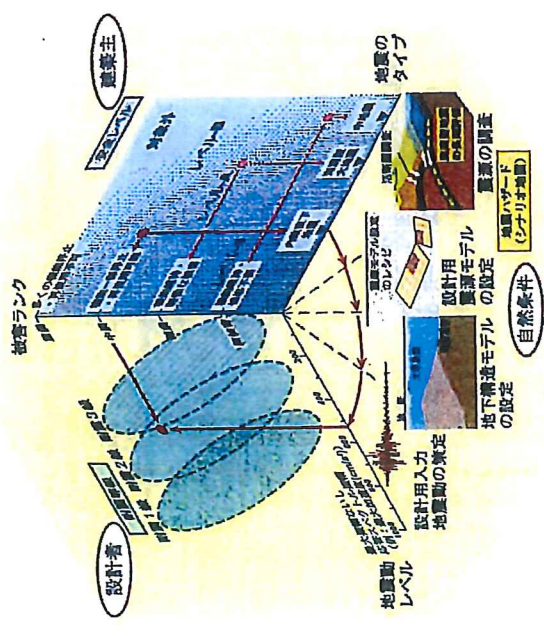
上述の 2 種類の予測地図は目的などに応じて使い分けるべきものである。表 5.2 は使い分けの一案 (McGuire, 2001) を示したものである。震源断層を特定した地震動予測地図は想定する地震を決定論的に評価していることから、決定論的予測地図とも呼ばれ、この表では、決定論的と表現されている。表の上段は防災対策の種類による使い分けを示したものである。直後対応計画にはシナリオ地震による決定論的地震動予測結果が具体的で使いやすく、一方、耐震設計で考慮すべき地震動レベルを決めるには、すべての地震やその発生確率を考慮していることから確率論的地震動予測結果がより適しているとしている。

表の中段は地盤環境による使い分けを示したものである。活断層の直近など地震活動度の高い地域では決定論的地震動予測結果が有効であるとしている。表の下段は対象による使い分けを示したものである。ある特定の地点の地震危険度は一般には複数の地震が寄与しているので、確率論的地震動予測結果が必要とされるが、決定論的地震動予測結果によってチェックすることも適切であるとしている。ある一地点に対するシナリオ地震の影響は低いかもしかれないが、広がりを持つた地域全体に対しては影響が大きいであろうから、地域の地震危険度評価には決定論的地震動予測結果が有効であるとしている。ただし、これらを使い分けは 1 つの案であり、今後、関連の分野で議論や整理を続けるべきであろう。

建築物の性能設計を行う際の利用例として、図 5.21 に示すような耐震ミニューも示されており (日本建築学会、2004)。この耐震ミニューの使い方は、まず初めに、図 5.21(a) の右に位置する建築主が設計者との協議に基づき建物の安全レベルを設定する。この図では、安全レベルは地震動の発生頻度と許容される建物被害程度によって定義されている。地震動の発生頻度を考へているということは、建物の耐用年数中に発生するであろう地震動とか、めったに来ないかもしかれない地震動、という地震動像に基づいて、確率論的な評価で地震動レベルを設定しようとする考え方である。発生頻度が高く相対的に弱い地震動に対しても被害を許容する場合には要求される安全レベルは低く、逆に頻度が低く相対的に強い地震動に対しても小さな被害しか許容しない場合には高い安全レベルを要求していることになる。



(a) 決定論的地震動評価を用いる場合



(b) 決定論的性能設計のための耐震ハザードマップを用いる場合

一方、建築主の要望として、直下地震とか関東地震の再来などのある地震像に対して許容される被害程度が指定される場合もある。この場合には、発生頻度の軸は地震像の軸となり、建築主の考える地震像からシナリオ地震を假定して、決定論的な評価により地震動レベルが設定されることになる。決定論的な評価を用いた場合を図 5.21(b) に示す。

次に、図の下の自然条件の面を使い、計画地における地震ハザードを想定する。図 5.21(a) の概要論的な方法では、安全レベルの設定で決めた地震動レベルを想定する。図 5.21(b) の決定論的な方法では、安全レベルの設定の際に想定した地震の地震像に基づき計画地の地震動レベルを假定する。地震動の評価方法については、設計者が建築主の要件に対応するために最も適切と考えられる方法の選択が必要であるが、地震動予測地図の結果を利用することができる。

最後に、図の左に位置する設計者は、建築主が指定した許容される被害程度を定量化し、定量化された被害ランクと地震ハザードから決められた地震動レベルに応じて、その建物の耐震等級を決定する。定められた耐震等級を建築主に提示し、確認を得た上で設計を行う。このようなプロセスは性能設計の基本であり新しいものではないが、地震動予測地図の結果を利用して、建築主による要求と設計者による設計が自然条件を介して結びつけるという性能設計のプロセスをより明快に説明するものである。ただし、

このように全国地震動予測地図は地震防災対策を進める上で有用なものである。ただし、その名が示すように、地震による危険度が全国でどのように分布し、どの程度のレベルなのかを概観することを主な目的としたもので、ベーシックマップとも位置づけることができる。

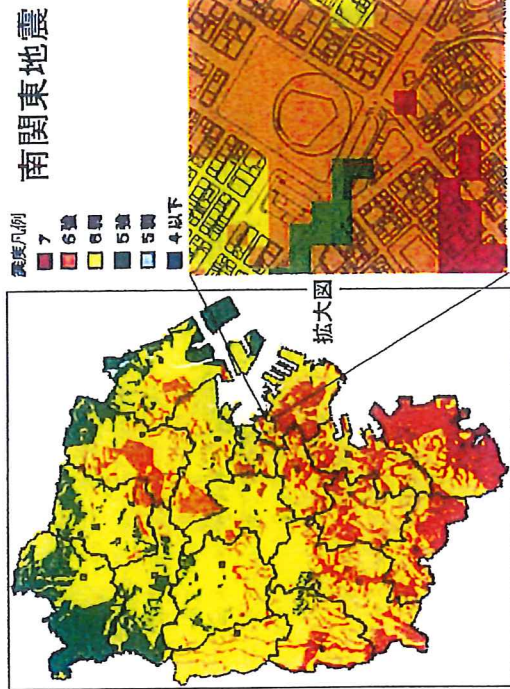


図 5.22 横浜市の概形震度マップ

であり、個々の地点での揺れの大きさを判断するにはメッシュの大きさが組い。そこで、このようないくつかの市民の関心に答えるためには、地域の地盤データを多段保有している各自治体が実際の地盤データに基づいてより詳細な地図（アドバンスドマップ）を作ることが望まれる。横浜市は50 m メッシュの細密な地盤マップを作成し、市民に配布している。図 5.22 に南関東地盤による震度分布図を示す。図の右側が北埼玉で、建物や中央にある野球場の輪郭と比べるとメッシュの細かさが理解できる。このような狭い範囲でも地盤の違いにより予想震度は5強から7と大きく変化している。この震度マップの配布後、市が実施している無料耐震診断制度や耐震補強の助成金制度への応募件数は倍増したという結果もあげている（翠川、2002）。そこで、このよろづな細密なマップを作成するための技術資料が作成され（内閣府、2005）、全国の1,000 以上の市町村で作成されている（国土交通省、2017）。ただし、ほとんどの場合に微地形などに基づいた簡易な評価手法が用いられており、今後は各地域で地盤データを整備した上で、より精密なマップを作成することが望まれる。

文 献 収 録

- 1) 施設庁：全国地震動予測地図の作成とデータ公開システムの開発、日本地質学会会報、No.14, pp.19-21, 2011.
- 2) 地震調査研究推進本部：地震動予測地図報告書、2006.
- 3) 地震調査研究推進本部：全国地震動予測地図技術報告書、2009.
- 4) 地震調査研究推進本部：今後の地震動ハザード評価～2011 年～2012 年における検討結果～、2012.
- 5) 地震調査研究推進本部：全国地震動予測地図 2016 年版、2016.
- 6) 地震調査研究推進本部：全国地震動予測地図 2017 年版、2017.
- 7) 国土交通省：震度放告マップ公表状況地図、国土交通省ハザードマップポータルサイト。
<http://disaportal.gsi.go.jp/bousai/list/index.html?code=1> (2017/2/6 アクセス)。
- 8) McGuire, R.: Deterministic vs. probabilistic earthquake hazards and risks, Soil Dynamics and Earthquake Engineering, Vol.21, pp.377~384, 2001.
- 9) 翠川三郎：地震調査研究推進本部と横浜市の地震マップについて、地盤に関するセミナー—地盤マップの市民防災への活用—講演資料集、pp.3-10, 2002.
- 10) 翠川三郎・三浦洋之：定期的に震度データからみた地盤ハザード、地盤安全学会年次大会、No.38, pp.163-166, 2016.
- 11) 内閣府：地震防災マップ作成技術資料、143pp., 2005.
- 12) 日本建築学会：危険度・耐震安全性評価小委員会「南関メンュー 2004」報告書、53pp., 2004.

5.4 建築物の動的解析で用いられる設計用入力地震動

ある。

1963 年の建築基準法の改正により、31 m の高さ制限が撤廃され、高層建築物の建設が可能となつた。この動きと並行して、日本建築学会では、高層建築技術委員会の作成を進め、高層建築技術指針をとりまとめた（日本建築学会、1964）。この中で入力地震動については、「高層建築物をモデル化した振動系に加えるべき地震動の想定は、建物のモデル化と共に極めて重要な問題であるが、これは設計者の判断にまかされてはいる。将来各部の支特地盤条件に応じた標準地震動のきめられることは期待されるが、いずれにしても支持地盤の震動特性が考慮されるべきであろう。現在解析に使用されることが考えられる地盤波には、過去に得られた強震及び中層の記録が又はその振幅、周期特性を修正したものがあり、或いは又特定の人为的な地盤波の選択もある。解析には考へられるいくつかの地盤波を想定し、ある巾を考えて検討することが必要であろう。」とあり、入力地震動の選択方法や不確定性の考慮など現在でも議論されている問題が指摘されている。

1964 年に建設省（当時）に、高層建築物標準規格が設置され、高層建築物の検査を個々に行つて許可を与えることとなつた（武藤、1977）。1968 年に完成したわが国で初めての超高层ビルである鏡ヶ美ビル（36 階建て）の耐震設計では、当時、地震動に関する知見が限られている状況の中で、入力地震動として 1940 年のエルセントロの観測記録（3.1 節参照）そのものや東京 101（2.1 節参照）および仙台 501（1962 年宮城県北部の地震 Mj6.5）の観測記録をエルセントロの最大加速度と同じ 330 gal に基準化したもののが使われた（日本建築標準技術者協会、2003）。その後、1966 年に日本建築センターに高層建築物標準規格検査会（後の高層建築物構造検査委員会）が設置され、ここで審査が行われるようにになった。この検査では、中地盤動（レベル 1）に対する拘束しないこと、および大地震動（レベル 2）に対して既設しないことが要求され、中地盤動および大地震動の相場としてそれぞれ最大加速度で 250 gal および 500 gal が次第に用いられるようになつた（石山、2004）。1970 年代からスルアーベル化した震動の提携もみられ、例えば、日本で観測された地盤記録の平均スペクトルをモデル化したものを満足するもの（平沢・他、1972）や幾地で観測された常時微動のスペクトルや位相を用いたもの（周東・他、1992）等が提案されているが、実際の案件で用いられた事例は限られていた（井上、1987）。

地震動の最大加速度が同じでも地盤ごとに地盤波の応答は大きく異なり、高層建築物の応答から地震動の強さを評価する場合には最大速度で標準化する方が適切であることが指摘された（小林・長崎、1973）。1980 年頃には、この意見が評定委員会で次第に主流となり、中地盤動および大地震動のレベルとして、東海地方より東では、それぞれ最大速度 25 cm/s および 50 cm/s が、関西以西では、それぞれ最大速度 20 cm/s および 40 cm/s が、用いられるようになった（奈藤、2004）。また、地震動波形の種類としては、標準的な地盤動合計 3 波以上を用いることが推奨されるようになつた（日本建築センター・高層建築物構造検査委員会、1986）。ここで、標準的な地震動波形、地盤特性を表すような地盤動波形、および長周期成分等を含む地震動波形、および震周期成分等を含む地盤動波形等を含めて用いられるようになつた（奈藤、2004）。この結果、標準的な地震動波形、地盤特性を表すような地盤動波形、および震周期成分等を含む地震動波形、および震周期成分等を含む地盤動波形等を含めて用いられるようになつた（奈藤、2004）。この結果、標準的な地震動波形、地盤特性を表すような地盤動波形、地盤動波形の例として、それぞれ 1940 年のエルセントロの記録や 1952 年のダフトの記録、東京 101 や大阪・仙台での記録、および 1968 年の八戸港沖の記録（3.1 節参照）があげられている。その結果、ほぼすべての案件で用いられた 1940 年のエルセントロの記録（NIS 成分）と 1952 年のダフトの記録（EW 成分）に加えて、1975～1981 年の案件で

は、東京 101 の記録が約 6 割の案件で、1968 年の八戸港湾の記録は約 4 割の案件で用いられたのが、1982～1994 年の案件では、東京 101 の記録が約 5 割の案件で、1968 年の八戸港湾の記録が約 8 割の案件で用いられるようになり、両者の割合が逆転した（斎藤、2004）。しかし、これら特定の測定記録だけを用いると、それらの記録のピーク周期を避けような設計が行われるといった問題点があることから、より標準的な地盤動についての検討が 1980 年代末から始まり（松島、2004）、1992 年に工学的基盤での設計用入力地盤動が提案された（建設省建築研究所・日本建築研究所・日本建築センター、1992）。この検討では、歴史地震等に基づく確率論的地震動評価から、東京までの 50 年期待値および 200～400 年期待値が計算され、この期待値に対応する則底の振幅と震源距離がそれぞれ M7, 40 km オおよび M8, 60～70 km と得られた。これらの M と距離を用いて、複数の距離減衰式から応答スペクトルを求め、これらを平地化してレベル 1 オおよび 2 に対する工学的基盤での地震動スペクトルが設定された。レベル 2 の設定では、種類のクリーン周波数法からの計算結果や震源地震の復元記録も参考にされている。この地震動スペクトルは、短周期で加速度応答スペクトルがほぼ一定、長周期で速度応答スペクトルが一定で、後述の告示スペクトルと形状はほぼ同一であるが、レベル 2 に対する振幅レベルは告示スペクトルより 2 領域程度大きく、周期 0.6～1.0 秒の速度応答値（ $h = 0.05$ ）は 100 cm/s² となっている。このスペクトルに適合する地盤動震源波形を与えており、検討主体のひとつが日本建築センター（The Building Center of Japan）であったことから、BCJ 波とも呼ばれる。なお、水平動に対する上下動のスペクトル比も提案され、これを用いて上下動の設計用スペクトルも得ることができる。このスペクトル比は、周期 0.2 秒以上で 0.5、周期 0.1 秒以下で 0.8 前後の値となっており、震源近傍の記録を含む近年の強震データベースによる検討結果（Bozorgnia and Campbell, 2017）とも整合している。

w) 2000 年建築基準法改正に伴う告示スペクトル

2000 年の建築基準法改正では、延設省告示第 1461 号により規定された工学的基盤は、地下深所にあって十分な剛性と弾性を有し、せん断波速速で約 400 m/s 以上の地盤と定義されている。この表で、 ζ は地域系数で、東京、名古屋、大阪などで 1.0、札幌、新潟などで 0.9、福岡、長崎などで 0.8、沖縄で 0.7 の値となる。レベル 2 の地震動は、レベル 1 の地震動の 5 倍で、その加速速度応答値は、周期 0.16～0.64 秒で 800 cm/s²、周期 0.64 秒以上では周期の逆数に比例して減少する。すなわち、周期 0.64 秒以上では速度応答値は 81.5 cm/s² で一定の値となる。このレベルの設定根拠は、1981 年に改正された建築基準法での振動特性係数であり、さらには関東地震での東京下町の震度 0.3 にさかのぼることができる（加藤、2002；

長橋、2004）。

地表での入力地盤動を算定するため、まず、工学的基盤でのスペクトルに適合する振幅地盤動波形がランダム位相や観測波の位相を用いて作成される。工学的基盤での最大加速度および最大速度は、用いた位相にもよるが、それぞれ 350～400 cm/s² 程度および 40～50 cm/s 程度の値を示す場合が多い。地表での地震動は工学的基盤での地震動に表面地盤の增幅を考慮して設定される。工学的基盤以浅の表面地盤の增幅率を考慮する際の地盤応答解析手法としては、等価線形解析がよく用いられる。しかし、地盤のひずみレベルが 10⁻³ 程度以上になると、等価線形解析の適用範囲を超えることから、逐次非線形解析が用いられる場合が多い。

告示で定められた極めて稀に発生する地震動の工学的基盤での延設速度応答スペクトル（地震係数 1.0 の場合）を図 5.23 の太い実線で示す。前述のように、短周期では速度応答値は周期とともに単調増加し、周期 0.64 秒以上で速度応答値は 81.5 cm/s² で一定となる。これに表面地盤の増幅を考慮すると、一般的にはスペクトルは 1.5～2 倍程度になり、地震での入力地震動は震度 6 弱と 6 強の間の強さに相当するものとなる。一方、図の細線で示す兵庫県南部地震の震度 7 の記録（阪神）や東北地方太平洋沖地震の震度 6 強の記録（仙台市七郷中、栗原市船越、川崎町）はピーク周期では 200～400 cm/s² の速度応答値を示す。これらに比べれば、告示でのレベル 2 の地震動はそれほど大きなものではない。

高層建築物の非共振は、2000 年の延設基準法改正とほぼ同時に、日本建築センターのみならず他の指定性能評価機関でも行われるようになつた。実際の非共振では、各機関の性能評価のための業務方法書に従つて行われ、告示スペクトルに適合する規範地震動波形（告示波）を 3 波以上用いること、サイト波を適切に合成した場合には告示波に替えて用いることができることに加えて、これら作成された地震波が適切なものであることを確かめるために適切に選択された震源波を 3 波以上用いることが求められている。規範地震動波はその最大速度振幅を 25 cm/s、50 cm/s としたものをそれぞれ稀に発生する地震動、極めて稀に発生する地震動とし、この値に地域系数 ζ を乗じた値とすることができるようされている。したがって、地盤動とし、この値に地域系数 ζ を乗じた値とすることができるようになっている。したがって、

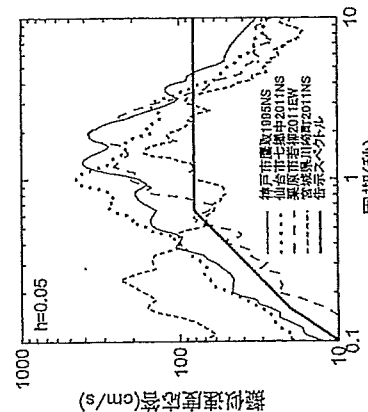


図 5.23 極めて稀に発生する地震動の工学的基盤での告示スペクトルと既往の地震記録の比較

| 表 5.3 延設省告示第 1461 号に規定された工学的基盤での加速度応答スペクトル | | |
|--|-----------------------|-----------------|
| 周期 T (秒) | 加速度応答スペクトル (レベル 1) | メートル毎秒移動角 (度/秒) |
| T<0.16 | (0.64/T) ² | 3(2.91T) Z |
| 0.16≤T<0.64 | 1.6Z | 1.02(1.02/T) Z |
| 0.64≤T | | 5(1.27/T) Z |

T: 延設物の 1 次固有周期 (単位: 秒), Z: 地震地盤系数

2000 年の建築基準法改正以降も入力地震動として想定地震動が併用されている。

x) サイト波

建設地点に大きな影響を及ぼす地震はそれぞれ場所ごとに異なる。そこで、前述の 2000 年の建設省告示第 1461 号の中でも、告示波という一律の入力地震動だけでなく、「敷地周辺における断層、震源からの距離その他の地震動に対する影響及び建物への効果を適切に考慮して定められた地震動（サイト波）を用いることができる」と記載され、被災的な表現ではないものの、サイト波の採用が推奨されている。サイト波の必要性は以前から指摘されていた（例えば、小林、1974；田治見、1983；青柳・寺本、1983）。1990 年代に入ると、複数の手法により地震動の予測を行って、それに基づく設計用入力地震動の設定に向けた検討もなされた（日本建築学会、1992）。また、東京臨海部や横浜での大規模建築群の建設計画に伴い、サイト波の検討が組織的になされた（日本建築防災協会、1992；横浜市建設局、1991）。東京臨海部の場合には、1923 年関東大震災や 1854 年安政戸戸口震災の再来および東海地震を想定し、震源断層の拡張りを考慮した経験的方法や理論的方法による計算結果と実地震記録を比較し、南関東地震での平準化したスペクトルを工学的基本盤での基礎地盤側面スペクトルとしている。その速度応答値 ($h = 0.05$) は周期 0.6~2 秒で 100 cm/s である。横浜の場合も、M8 級の南関東地震、M7 級の東洋および横浜直下地震および東海地震を想定し、震源断層の拡張りを考慮した経験的方法や理論的方法による計算結果を比較し、南関東地震での平準化したスペクトルを工学的基本盤での基礎地盤側面スペクトルとしている。その速度応答値は周期 0.6~3 秒で 120 cm/s である。

1995 年には兵庫県南部地震で直下地震による断層側の洗浄を受け、サイト波の重要性が強く認識された。この地震後、大阪市では、耐震設計の指針として、検討用地震動が策定された（大阪市、1997）。この地震動の策定では、上町断層帯などの活断層による地震と南海トラフのブレート境界地震が想定され、ハイブリッド手法と表層地盤の等価形解析により大阪市域の各地点での地震動が計算された。上町断層帯の地震による計算結果から東側ゾーンと西側ゾーンに対して設計用応答スペクトルが策定された。東側ゾーンでは、予測地震動が従来の震度計で用いられているものに比べて過大なために予測結果の 1/2 程度に振幅調整（林、2015）、その速度応答値 ($h = 0.05$) は 2 種地盤で周期 1~1.3 秒で 138 cm/s、周期 1.6 秒以上で 150 cm/s である。

名古屋市でも、三の丸地区で、国土交通省中部地方整備局、愛知県、名古屋市の 3 者が各府合の免震構造化を含む耐震改修をほぼ同時期に計画し、そのために入力地震動用入力地震動の検討が行われた（宮越・他、2004）。東海側・東洋側とも活断層による地震など複数の想定地震に対して経験的グリーン側面法により地震動が計算された。東南海・東洋側に対する地震動は、周期 3 秒付近で速度応答値が 200 cm/s を超える大きな振幅のもので、三の丸波とも呼ばれ、建築物の耐震設計での最弱抑入力地震動の先駆のひとつとなつた。

上述のサイト波の検討は行政主導によるものであるが、民間レベルでも組織的にサイト波を検討する動きは進んでいる。愛知県設計用入力地震動研究協議会では、建設会社や設計事務所等から会員を募り、1999 年より名古屋市を対象とした設計用地震動の策定を始めた（福和・他、2001）。2002 年に東海側・東洋側震源や活断層による地震を想定して、ハイブリッド手法により名古屋市内 9 地点での地震動を計算し、2004 年には計算地点を市内 121 地点およ

び周辺の 37 地点に拡大している。さらに、南海トラフ巨大地震を想定した複数の断層シナリオに対して、経験的グリーン側面法により、名古屋市のみならず三重県海市や静岡県浜松市を含む広い地域でのサイト波を評価している（児玉・他、2014）。

同様の論みとして、2009 年に日本建築構造技術者協会関西支部が取扱研究となり「大阪府域内断下地震に対する建築設計用地震動および設計法に関する研究会（大阪研究）」を立ち上げた。この研究会では、大阪市を南北に走る上町断層による地震のサイト波とそれに対する設計法を提案している（多賀・他、2011）。上町断層帯による地震について、35 ケースの断層側面シナリオを設定した断層モデルから地盤条件を計算している。これらの内で、平均的な地震動レベルのもの、全体の 70%程度を含んだ地震動レベル（平均値 + 標準偏差）のものを、それとのもの、および全体の 85%程度を含んだ地震動レベル（平均値 + 標準偏差）のものを、それぞれレベル 3A、3B、および 3C と定義している。断層からの距離や地盤条件に応じて大阪府を 32 ゾーンに分割し、各ゾーンについて 3 つのレベルごとに、スペクトルが比較的平坦なフラットタイプ地震動とある特定の周期スペクトルが卓越するバ尔斯タイプ地震動を設定している。断層に近い軟弱地盤上の A4 ゾーンでのフラッシュタイプ地震動の速度応答値（周期 0.7~5 秒）は、レベル 3A、3B、および 3C で、それぞれ 130 cm/s、170 cm/s および 220 cm/s と大きくなっている。このような地震動は海岸型地震に比べて発生確率が低いことから、これらの地震動に対して高層建築物等に対する一般的な耐震性能目標よりも踏み込んだ状態に至ることを留意して設計することも提案している。

上述の東京臨海部、横浜市、愛知県、大阪府での事例は、組織的に地域のサイト波を算定する試みであるが、設計条件ごとにサイト波が検討される事例も 2000 年以降増えている。これは、2000 年の建設省告示第 1461 号でサイト波の採用が記載されたことや強震剪の予測手法の進歩に加えて、地震調査研究推進本部等から、大地震の断層データ、地下構造データ、K-NET による地震データなどの地震ハザード情報が積極的に発信され、サイト波作成のための基礎データが整備されてきたことにもよる。2001~2003 年の高層建築物耐震評定委員会での高層建築物および免震建築物では 40% の設計例で（長崎、2004）、2009~2012 年の免震建築物では 50% 以上の設計例で（堀川、2014）、サイト波が採用されている。サイト波作成の際に想定された地震としては、東京周辺では関東地震、名古屋周辺では東海地震、大阪周辺では東南海・南関東地震や上町断層による地震が考慮されている場合が多い（翠川、2014）。

サイト波の策定の一例を図 5.24 に示す。まず、活断層データや過去に被害を及ぼした地震、現在の地震活動などを調査し、震源の規模や位置、発生頻度などを考慮して、建設地点に大きな影響を及ぼす可能性のある地震を選択する。選択された地震に対して建設地での地震動の強さを距離減衰式などの簡便な方法で概略的に計算し、耐震設計上考慮する必要があるかどうかを判断する。判断の基準として、告示スペクトルとの比歟がある。考慮する必要があると判断された地震について、断層モデルによる地震動を計算する。計算手法としては、5.1 節で述べた半經驗的方法やハイブリッド手法などがある。

これら断層モデルによる計算では假定すべきペラメータが多く、これらのペラメータの設定によって計算結果は大きく変動する。そこで、計算結果が過去の震源別実測と整合的であることを確認しておくことも必要である。そのため、観測記録に基づいて作成された距離減衰式等により評価された地震動との比較が行われる場合が多い。計算結果が大きく外れる

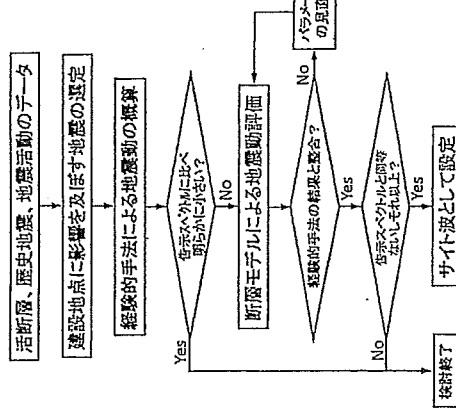


図 5.24 サイト波の算定フローの例

ようであれば、その原因を吟味し、必要となればパラメータを見直して再計算することになる。地盤調査研究推進本部では、前述のように、ハイブリッド手法により主要な活断層による地盤動を工学的基盤で評価し、これらの波形を地震ヘザードステーション JSHIS で公開している。サイト波作成フローで選択された地盤がこれらの中斷層によるものであれば、この結果を利用することができる。なお、サイト波算定の詳細については、日本建築学会(2009)や日本免震構造協会(2014)のガイドブックを参照されたい。

y) 長周期地盤動

前述のサイト波は原則的には設計者の判断により入力地盤動として検討されるが、2017年4月より長周期地盤動については特定の地域では耐震設計の際に検討することが国交省によつて指示され、鏡則波と同様な位置付けで、初めて種に発生する地盤動として長周期地盤動を1波以上用いることとされた(国土交通省、2016)。

長周期地盤動の問題は、2003年十勝沖地震で大型石油タンクがスロッシングによる火災を生じたことから、巨大地震により堆積盆地上で発生する長周期地盤動が超高层ビルなどの長周期地盤動に及ぼす影響が懸念されたことが契機である。これを受けて、土木学会と日本建築学会の共同により巨大地盤動対応共同研究連絡会が2004年に設立された。内閣府からの研究委託を受け、この連絡会の掛合部会では、長周期地盤動の特徴、計算手法や計算による予測地盤動が提示され、計算結果の不確定性についても検討された(岩田、2006)。

これらの成果を受けて、2006年に土木学会と日本建築学会から共同提唱がなされた(土木学会・日本建築学会、2006)、長周期地盤動については、震源およびサイトによる特徴的な卓越周波と長い震則能続時間を持つという特徴を考慮した入力地盤動を用いるべきこと、地盤動の推定には震源モデルおよび伝播経路・サイトのモデルパラメータの不確定性によるベラツキが含まれ、このベラツキを考慮した評価が必要であること等が指摘された。2007年度から

2010年度にかけて、内閣府からの研究委託を受け、日本建築学会で長周期地盤動の検討がさらに進められ、破壊開始点や破壊伝播速度を変化させた計算を行い、得られたスペクトルを台形形状のスペクトルで近似した結果も示された(吉村、2013)。地盤調査研究推進本部も、2007年度から理論的手法による長周期地盤動の予測に着手し、2009年および2012年には、想定東海地震、東南海地震、宮城県沖地震および南海地震を想定した長周期地盤動予測地図試作版を、2016年には粗謬トガ巨大地震の長周期地盤動評価結果をそれぞれ公表している(地盤調査研究推進本部、2009; 同、2012; 同、2016)。

一方、国土交通省では、2008年より、建築基準整備促進事業を活用し、長周期地盤動を考慮した設計用地盤動の作成手法の検討を開始した(大川・他、2010)。前述の土木学会と日本建築学会の検討で用いられた理論的手法や半經驗的手法では多くのパラメータ設定が必要である。そこで、経験的手法では簡便に予測可能で、実務に用いるという観点から有用と考えられることから、応答スペクトルと位相スペクトルの経験式に基づいて長周期地盤動を作成する方法が提案された。また、この手法で計算された想定巨大地震に対する予測波が理論的手法による既往の予測波と整合していることも確認された(佐藤・他、2010)。

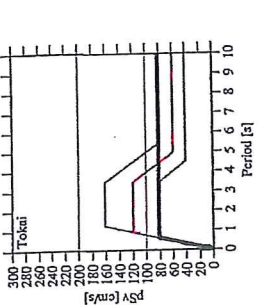
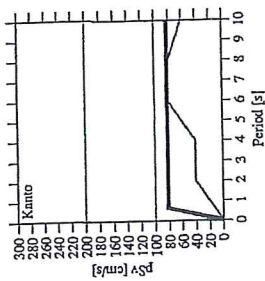
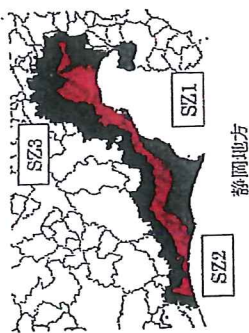
この検討を踏まえて、2010年に国土交通省から超高层建築物等における長周期地盤動への対策試案が示された(国土交通省、2010)。これは、想定東海地震、東南海地震、宮城県沖地震の3地震による長周期地盤動を考慮した設計用地盤動による構造計算を求めるとともに、家具等の振倒防止対策に対する設計上の措置について説明を求めるものである。その後、2011年に東北地方太平洋沖地震や東南海地震を想定した見直しがなされることがとなった。南海トラフ巨大地震の震源モデルやそれを用いた長周期地盤動の検討が内閣府に設置された検討会で行われた(南海トラフの巨大地震モデル検討会、2015)。また、経験式に基づく長周期地盤動作成手法の改良も行われた(佐藤・他、2012)。

これらを踏まえて、国土交通省(2016)は、南海トラフ沿いで約100~150年の間隔で発生しているとされるM8~9クラスの地震を対象として、前述の経験式に基づく改良法により長周期地盤動を計算した。計算されたスペクトルを建築物の設計用に平準化を行って、長周期地盤動を考慮すべき対象区間や長周期地盤動の大きさを決定した。対象区域は関東地方、静岡地方、中部地方、近畿地方に分布し、これらの対象区域での超高层建築物等に対して長周期地盤動による検討を求め、2017年4月から適用されている。各地域での設計用長周期地盤動の応答スペクトルと地盤波が与えられているが、適切と認められる方法で作成された長周期地盤動を用いることもできるとしている。

図5.25に設計用長周期地盤動の区域と設計用応答スペクトルを示す。この設計用応答スペクトルは安政東海地震モードル($M_w 8.6$)および宝永地震モードル($M_w 8.9$)に対して計算されたスペクトルを平準化したものである。青色の区域が、設計時に震造計算に用いた地盤動の大さきさを上回る可能性が非常に高い区域で、赤の区域が可能性の高い区域、緑の区域が可能性のある区域である。図下部に示したスペクトルのうち、黒線が從来の告示スペクトルであり、青線で示した他の区域の設計用長周期地盤動のスペクトルは周期によっては告示スペクトルの2倍となっている。

2) 設計用入力地盤動の変遷

以上述べてきた高層建築物等に用いられる設計用入力地盤動の変遷を図5.26にまとめて示



5.4 道路の動的解析で用いられる設計用入力地震動

す。当初は観測記録を用いるのが主流で、例えば、1968年に完成した篠ヶ谷ビルの耐震設計ではエルセントロの観測記録がそのまま用いられていた。その後、最大速度で振幅調整した観測記録が用いられた。1980年代以降は、最大速度での観測波が主流になり、1980年代後半には最大速度で振幅調整された3波以上の観測波を用いることが推奨された。観測波だけでなく、より一般的な特性を持つ複数地震動も用いられる場合があったが、その事例は限られていた。1990年代に標準波の提案として、建設省建築研究所と日本建築センターから工学的基盤での設計用地震動応答スペクトルが示され、これに適合する地震波(BCJ波)が用いられる場合もみられた。2000年には建築基準法告示で標準的な入力地震動(告示波)が定められた。

サイト波に関しては、1990年代に東京臨海部や横浜市、大阪市を対象とした地震波の検討が経験的手法や半経験的手法により行われ、計算結果を平準化したスペクトルが設計用として提案された。2000年建築基準法改正以降は個別の案件で検討される事例が増えた。また、平準化したスペクトルに適合する地震波ではなく、地震動予測手法により計算された地震動波形そのものが入力地震動として用いられるようになつた。2011年東北地方太平洋沖地震等の影響により、想定地震の断層パラメータの設定には不確定性が大きいことが強く認識され、枚数の断層シナリオに想定した計算が行われ、予測地震動のバッチキを考慮する場合もみられるようになつた。2017年からは特定の地域では巨大地震による長周期地震動を考慮するこれが求められるようになつた。

このように、高層建築物の設計用入力地震動としては、観測記録だけでなく、強震動の予測結果を平準化したスペクトルに適合する複数地震動が使われるようになり、さらに、計算された複数そのものが使われるようになり、強震動予測手法の進展とともに、地震動予測の結果がより直接的に設計用入力地震動の設定に利用されるようになってきている。

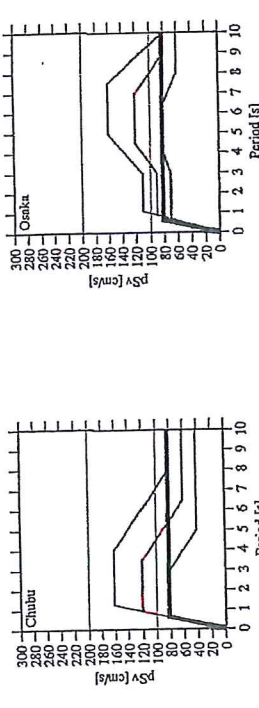
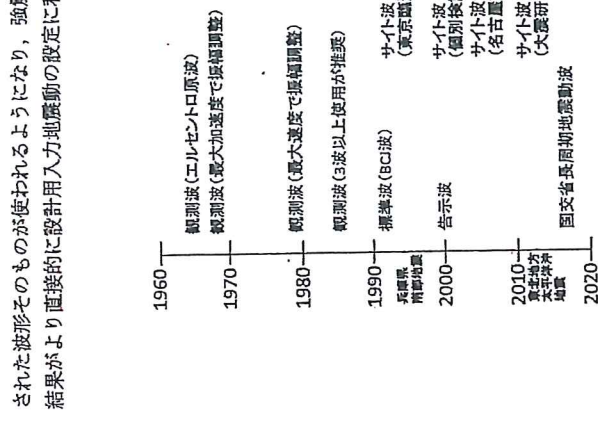
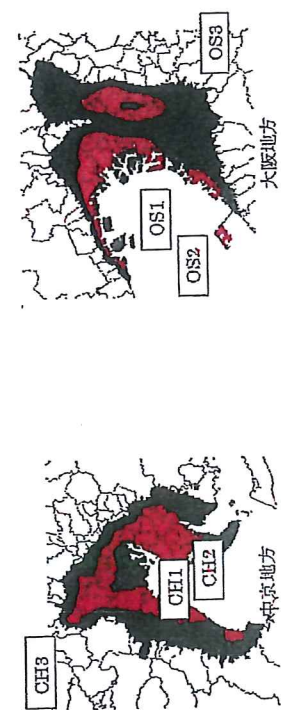


図 5.25 設計用初期地震動の区分分けとスペクトル (国土交通省, 2016)

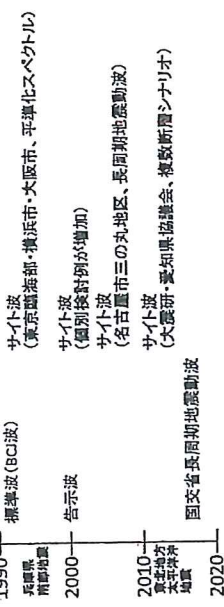


図 5.26 高層建築物の設計用入力地震動の変遷

5. 強震動の予測 文 献

5.4 地盤物の動的解析で用いられる設計用入力地盤動

- 1) 片桐 司・寺本益幸：地震時選択計の分野から、第 11 回地震防災シンポジウム資料集、pp.49-56, 1983.
- 2) Borozgaria, Y. and K. Campbell: NGA-West2 Ground Motion Model for V/H Response Spectra, Proc. 16th World Conference on Earthquake, Paper No. 4228, 2017.
- 3) 土木学会・日本地震学会：地震型巨大地震に対する選択設計用地盤動と上木・延繩物造物の耐震性向上に関する共同提言、51 pp., 2006.
- 4) 福永伸一・他：愛知県名古屋市を対象とした設計用地盤動の策定その 1 全体計画概要、日本地震学会大会学術講演集、Vol.B2, pp.81-82, 2001.
- 5) 林 康裕：上町斯留特地盤に対する選択設計用地盤動、日本地震学会大会学術講演集、No.24, pp.8-11, 2015.
- 6) 平沢忠恭・鈴木利夫・鈴木 哲・牧尾 了：震源論的的手法による入力地盤動、日本地震学会大会学術講演集、Vol.B, pp.557-558, 1972.
- 7) 犀上 駿：動的解析を用いた耐震設計の具体例 高層建築物、地震防災—その現状と将来の展望、pp.354-378, 1987.
- 8) 石山祐二：高輪盤計と入力地盤動の考え方の比較、地震防災、2004.12, pp.2-6, 2004.
- 9) 岩田知季：地盤動研究会活動報告、地盤動巨大地震を考える—広帯域強震動の予測 2—シンボシウム 論文集、p.3, 2006.
- 10) 地震防災研究推進本部：「長周期地盤動予測地図」2009 年度版(予測版、http://www.jishin.go.jp/evaluation/seismic-hazard-map/lipshn/09_choshukhi/, 2009. (2017/2/6 アクセス)
- 11) 地震防災研究推進本部：「長周期地盤動予測地図」2012 年度版(予測版、http://www.jishin.go.jp/evaluation/seismic-hazard-map/lipshn/12_choshukhi/, 2012. (2017/2/6 アクセス)
- 12) 地震防災研究推進本部：「長周期地盤動予測地図」2016 年度版(予測版、http://www.jishin.go.jp/evaluation/seismic-hazard-map/lipshn/16_choshukhi/, 2016. (2017/2/6 アクセス)
- 13) 加藤研一：改正地震基準法に至る地盤外力の考え方—設計適用の観点から見た現状と課題ー、第 30 回 地盤震動シンポジウム資料集、pp.13-23, 2002.
- 14) 河角 広・鈴 悅三：標榜強震動について、地震工学国内シンポジウム(1982) 集録版, pp.13-20, 1982.
- 15) 知根省造研究所・日本建築センター：設計用入力地盤動作成手法技術指針(案)本文解説編、73pp., 1992.
- 16) 小林啓業：設計震度の決め方と問題点、建築論誌、No.1062, pp.593-596, 1974.
- 17) 小林啓業・長崎純男：危険地盤物の面積設計を対象とした地盤動の強さを評価する簡便な尺度としての 地盤動強大震源、日本建築学会論文報告集、第 210 号、pp.11-22, 1973.
- 18) 小川文香・他：近海地震に対する設計用入力地盤動トランザクション方式による設計用入力地盤動の検討 その 1 球形波 計用入力地盤動研究協議会大会討論概要書取扱会議録、Vol.B2, pp.331-332, 2014.
- 19) 國土交通省：超深層地盤動等における長周期地盤動への対策検討について、2010.
- 20) 國土交通省：超深層地盤動等における南海トラフ沿いの巨大地震による長周期地盤動対策について、www.mlit.go.jp/common/001136168.pdf, 2016. (2017/2/6 アクセス)
- 21) 松島 豊：日本建築センターの根拠地盤動、No.2004.12, pp.7-10, 2004.
- 22) 磐城三郎：入力地盤動、性能評価、地盤構造の設計と実験、pp.197-221, 2014.
- 23) 富澤洋一・他：名古屋市三の丸地区における耐震改修用の超深層地盤動の作成、日本地震学会・大会一般講演集、pp.197, 2004.
- 24) 武藤 浩：日本における耐震設計のあゆみ、構造物の剛性設計、pp.1-5, 1977.
- 25) 長崎純男：地盤荷重の変遷と震災 その 7：延葉船橋物 葵後半世紀における震災海嘯の震度、震災防護、No.197, pp.20-26, 2004.
- 26) 南海トラフの巨大地震モード会議会：南海トラフ沿いの巨大地震による長周期地盤動に関する報告、39pp., 2015.
- 27) 日本建築防災協会：震源地ににおける大規模複数群の総合的な構造安全性に関する調査・検討 別冊 第 1 回 入力地盤動の設定に関する技術報告書、187pp., 1992.
- 28) 日本建築学会：高層建築技術指針、37pp., 1964.
- 29) 日本建築学会・地盤荷重一地盤動の予測と対策技術の応答、240pp., 1992.
- 30) 日本建築防災協会：最新の地盤強度の研究を活かした強震動の作成方法、163pp., 2009.
- 31) 日本建築構造技術委員会：震ヶ原ビルディング、日本の構造技術をえた建築 100 選、pp.100-103, 2003.
- 32) 日本建築センター高層建築物構造評定委員会：高層建築物の動的解析用地盤動について、ビルディング

英字

BCJ 網 98, 105
K-NET 19, 23, 26, 28, 78, 101
KIK-net 19, 20, 28
S 波速度 30, 32, 37, 47, 60, 69-71, 85, 92

ち 行

アナログ式強震計 22

岩手・宮城内陸地震 (2008 年) 48, 55
インド・アッサム地震 (1897 年) 11, 12
インペリアルパレー地震 (1940 年) 31
インペリアルパレー地震 (1979 年) 39, 63

上町断層帯 101
上越妙果 68, 82, 84

エルセントロ 18, 31, 39, 97, 105

応答スペクトル 3, 61, 98, 99, 103

か 行

改正マルカリ震度階 1, 2
地震論的地震動予測地図 87, 89, 92, 93
関東地震 (1923 年) 11, 98, 100, 101

気象庁震度階 1, 2
北丹波地震 (1927 年) 12

強震アレイ 39
強震観測 18, 19, 27, 78
強震記録 18, 23, 27, 30-54, 77, 78, 82
強震計 18, 19, 22-26, 46
強震動予測 76

距離減衰式 40, 73-82, 85, 86, 89
距離減衰式のペラシキ 81, 82, 86

熊本地震 (2016 年) 52, 58

経験的手法 76, 77, 86

絶縁時間
計測精度 2

工学的基礎 60, 89, 92, 98-100
高層建物 97
告示法 98, 99, 105

さ 行

サイスモスコープ 22, 34
最大初期速度 2, 3, 11, 18, 30-34, 37, 39, 45-58

最大速度 3, 30, 40-44, 47, 50, 52, 54, 57-59, 80,
81, 89, 97, 105
最大位移 3
最大速度 31
サイト波 96, 99-102, 105
サンフエルナンド地震 (1971 年) 18, 37

地震基盤 60, 92
地震規模 54, 57-59, 61, 62, 78, 79, 82, 83, 87
地震の成因 63, 64
地震剪断の非線形性 84

地震特性 60, 66, 71, 82
地震の階級度 69-71, 89, 92
地震の平均 S 波速度 69-71
簇頃断層を特定した地殻動子測地図 87, 91, 93

震源特性 60, 82
震災の兆 7, 43
震度階 1, 2
震度計 20
震度 7 6, 7, 9, 10, 16, 43, 47, 52
震度分布 7

数値化 25-27, 38, 39
性能設計 93, 95
全国地殻動子測地図 87, 95

た 行

大加速度記録 54, 59
大速度記録 54, 59
台湾強震地図 (1999 年) 44, 58

| | |
|---|--|
| 車載測地 67, 71 | 引 淡尾地震 (1891 年) 12 ノースリッジ地震 (1994 年) 41, 63 |
| 断層地盤伝播効果 63, 82, 83 | |
| 断層面限短距離 64, 79 | |
| 断層モデル 34, 40, 61, 101 | |
| 单体の倒壊 10, 11 | は 行 ハイブリッド手法 77, 91, 100-102 ハイブリッド地震 (1996 年) 34 ハイブリッド地震 (2004 年) 45 |
| 長周期地盤動 72, 74, 102, 103, 105 | |
| 距離現象 14, 16 | |
| デイレクトディジタル デジタル式強震計 23, 26 | |
| 伝播特性 60, 63, 82 | パーコイマダム 37, 42 八戸港湾 35, 37, 97, 98 半絶縁的手法 76, 77, 101, 102 |
| 東北地方太平洋沖地震 (2011 年) 十勝沖地震 (1968 年) 十勝沖地震 (2003 年) | 兵庫県南部地震 (1995 年) 5, 12, 19, 43, 63, 99 表層地盤 66, 69 表面波 72-74 |
| 福井地震 (1948 年) 4, 19 | |
| な 行 長野県西部地震 (1984 年) 12 | ら 行 距離的手法 76, 77, 86, 102 |
| 南阪トラフ巨大地震 101, 103 | |
| 新潟原中越地震 (2004 年) 12, 47 | |
| 新潟地震 (1964 年) 19 | ロングビーチ地震 (1933 年) 18, 30 |
| 入力地盤動 95-99, 103 | |

著者略歴

翠川三郎 (みどりかわ・さぶろう)

1953 年 地震部に生まれる

1980 年 水政工学大学院社会理工学院防災工学科修士課程修了・卒業

現在 在籍工学博士

強震動
—観測記録とその特性—

志野は式紙にて表示

2018 年 2 月 20 日 初版第 1刷

翠 川 三 郎
朝 倉 誠 造発行者 緑川書店
東京都新宿区新小川町 6-29郵便番号 162-8707
電 話 03 (3260) 0141FAX 03 (3260) 0180
<http://www.makura.co.jp>

〔捺印省略〕

©2018 『強震動・転倒を防ぐ』 印刷・製本 デジタルペーリングサービス

<注>出版社は強制的にこの部分を削除して販売されています。お手数をおかけいたしますが、ご了承ください。

そのつど以前に、(株)出版吉澤情報開拓機構 (丸善 03-3613-6966, FAX 03-3613-6979, emall:info@copy-on.jp) の販路を仰ください。

[COPY]

ISBN 978-4-254-26643-1 C 3052 Printed in Japan

